

# 第九章 气体动力循环



西安交通大学  
XI'AN JIAOTONG UNIVERSITY

9-1 分析动力循环的一般方法

9-2 活塞式内燃机实际循环的简化

9-3 活塞式内燃机的理想循环

9-4 活塞式内燃机各种理想循环的热力学比较

9-5 燃气轮机装置循环

9-6 燃气轮机装置的定压加热实际循环

# 热能和机械能转换



西安交通大学  
XI'AN JIAOTONG UNIVERSITY

## 基本概念

系统

状态参数

准静态过程

可逆过程

热力循环

## 基本定律

第一定律

第二定律

## 工质性质

理想气体

蒸气

混合物及湿空气

一般关系式

## 热力过程

基本热力过程

多变过程

压气机

气体和蒸汽流动

热力循环

工程热力学

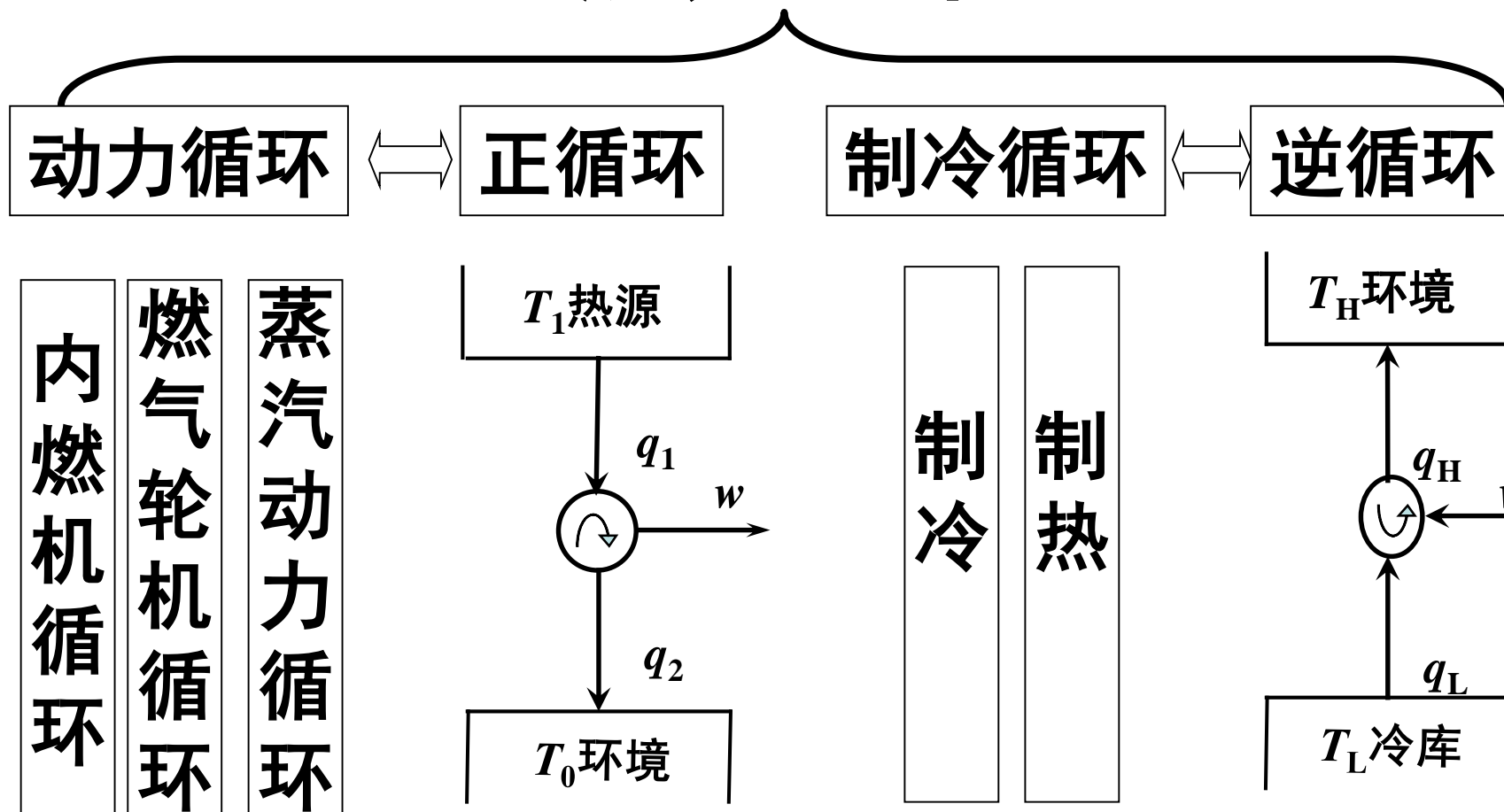
要实现**连续的热功转换**，必须构成**循环**。

**定义：**

工质从某一初态出发经历一系列热力状态变化后又回到原来初态的热力过程，即**封闭的热力过程**，叫**热力循环**。



# 热力循环





# 动力循环分类

按工质

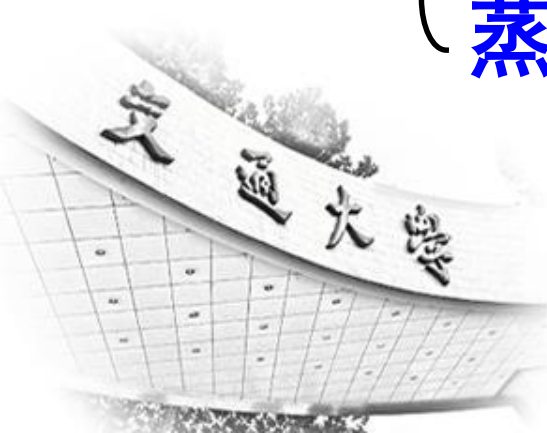
**气体动力循环**：内燃机、燃气轮机

空气为主的燃气

按**理想**气体处理

**蒸汽动力循环**：汽轮机

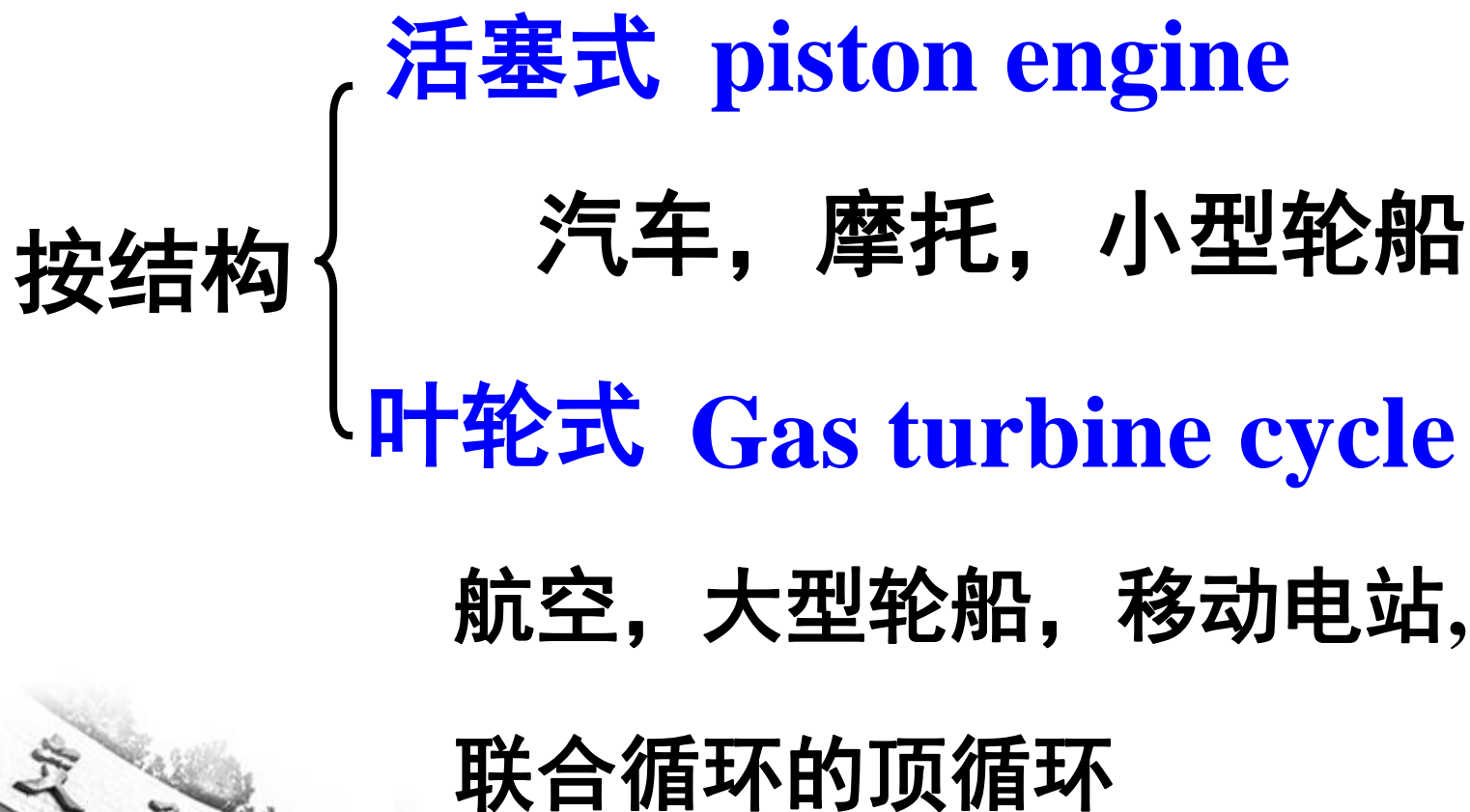
水蒸气等 **实际**气体



# 气体动力循环分类



西安交通大学  
XI'AN JIAOTONG UNIVERSITY



# 气体动力循环分类



西安交通大学  
XI'AN JIAOTONG UNIVERSITY

按燃料

**汽油机 petrol (gasoline) engine**

小型汽车，摩托

**柴油机 diesel engine**

中、大型汽车，火车，

轮船，移动电站

**煤油机 kerosene oil engine**

航空



# 气体动力循环分类



按点燃方式：**点燃式**      **汽油机**

吸入燃料和空气混合物，压缩后，由电火花点燃。

**压燃式**      **柴油机**

吸入空气，压缩后，空气的温度上升到燃料自燃的温度，再喷入燃料燃烧。

按冲程数：**二冲程**

**四冲程**

进气、压缩、燃烧、膨胀和排气，完成一个工作循环所需要的冲程数量。





# 循环类章节的教学要求



西安交通大学  
XI'AN JIAOTONG UNIVERSITY

1. 掌握循环的构成及循环坐标图；
2. 掌握循环性能比较的方法；
3. 掌握循环热量、功量及热效率的计算；
4. 能分析影响循环热效率的主要因素；
5. 掌握提高循环经济性的方法和途径。



## 一、分析动力循环的目的

在热力学基本定律的基础上，分析循环能量转化的经济性，寻求提高经济性的方向及途径。

## 二、分析动力循环的一般步骤

1. 实际循环（复杂不可逆） 抽象、简化 → 可逆理论循环

分析可逆循环

————→ 影响经济性的主要因素和可能改进途径

指导改善

————→ 实际循环

2. 分析实际循环与理论循环的偏离程度，找出实际损失的部位、大小、原因及改进办法

### 三、分析动力循环的方法



#### 1. 第一定律分析法

—— 以第一定律为基础，以能量的数量守恒为立足点，以热效率为经济性指标。

#### 2. 第二定律分析法

—— 以第一定律和第二定律为依据，从能量的数量和质量两个方面进行综合分析。

熵分析法

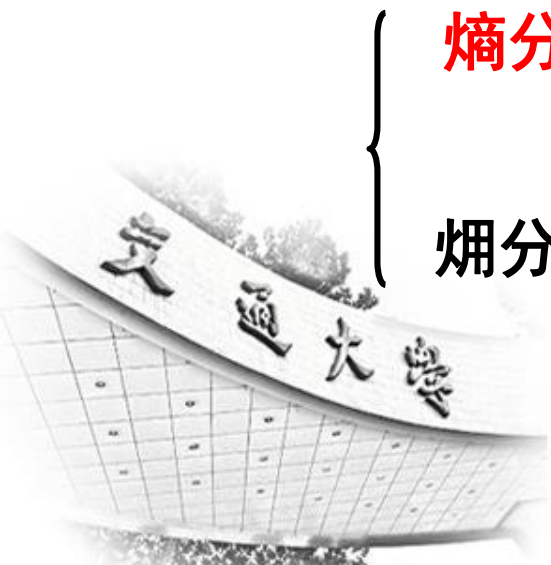
—— 熵产

—— 作功能力损失

烔分析法

—— 烔损

—— 烔效率





## 四、内部热效率 $\eta_i$ (internal thermal efficiency)

——不可逆过程中实际作功量和循环加热量之比

$$\eta_i = \frac{w_{\text{net,act}}}{q_1} = \frac{\eta_T w_{\text{net}}}{q_1} = \eta_T \eta_t$$

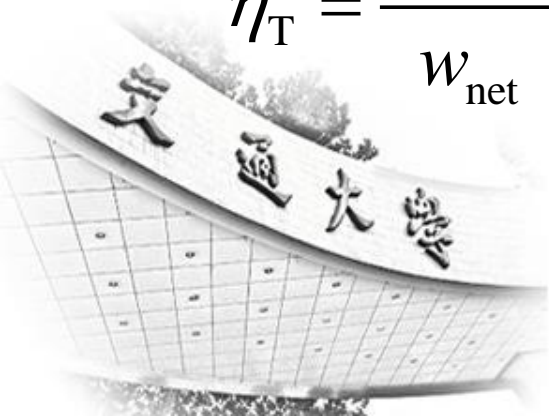
其中

$$\eta_t = \frac{w_{\text{net}}}{q_1}$$

与实际循环相当的内可逆循环的热效率  
(忽略摩擦)

$$\eta_T = \frac{w_{\text{net,act}}}{w_{\text{net}}}$$

相对内部效率，反映内部摩擦引起的损失



# 9-2 活塞式内燃机实际循环的简化

## 一、活塞式内燃机简介

**定义：**将燃料产生的热能转变为机械能的热力发动机，燃料燃烧产生热能及热能转变为机械能的过程都是在气缸内进行，故称内燃机。

### 1. 分类：

按燃料：煤气机(gas engine)

汽油机(gasoline engine; petrol engine)

柴油机(diesel engine)

按点火方式：点燃式(spark ignition engine)

压燃式(compression ignition engine)

按冲程：二冲程(two-stroke )

四冲程(four-stroke )

## 2、内燃机基本构造

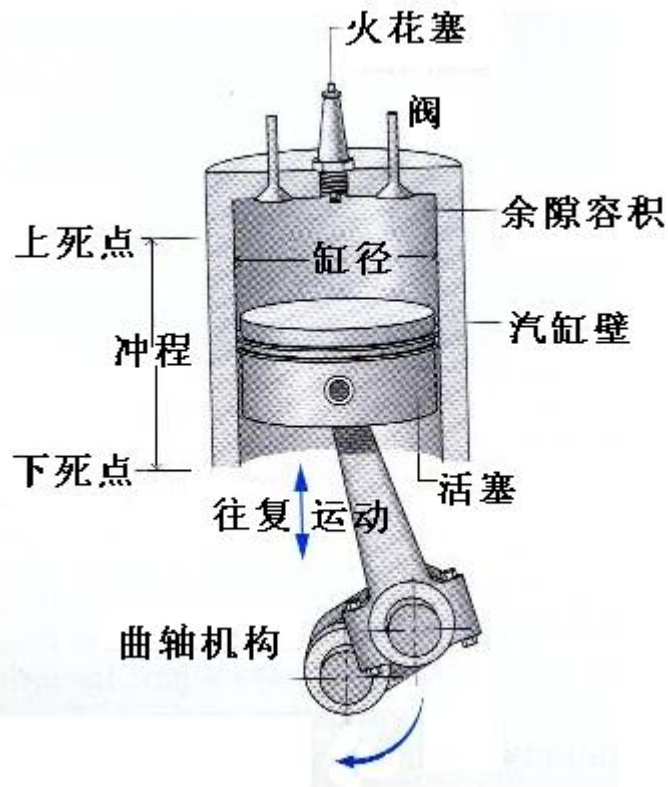


**气缸体**——内燃机的主体，安装其他零件、部件和附件的支撑骨架。

**活塞连杆组件**——内燃机的重要部件，实现压缩气体及膨胀输出推动力

**曲轴飞轮组件**——将连杆传来的作用力转变为扭矩输出。

**配气机构**——包括进、排气阀和凸轮轴。

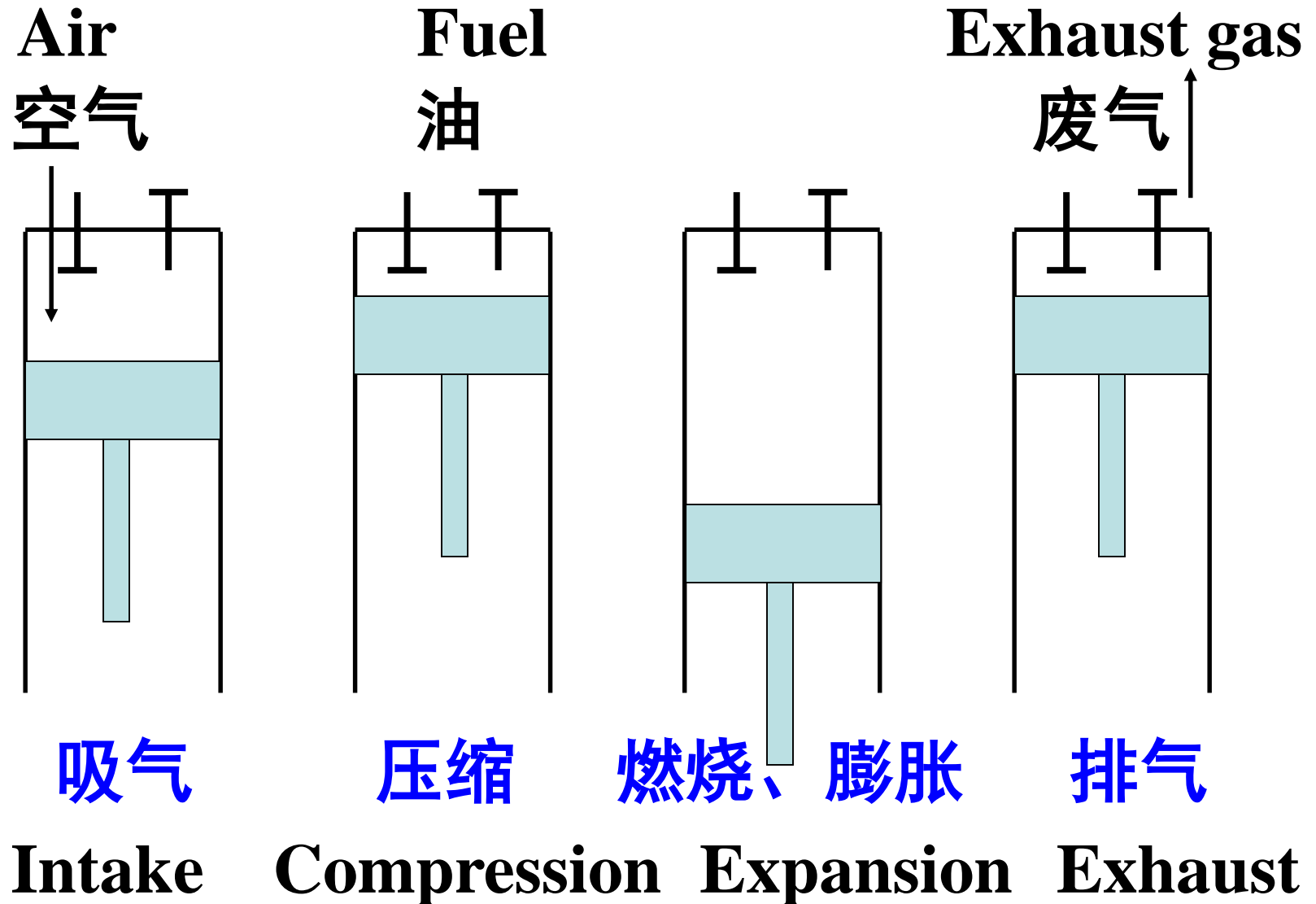


**冲程**——活塞在气缸内从一个止点位置移动到另一个止点位置。

# 四冲程柴油机工作原理



西安交通大学  
XI'AN JIAOTONG UNIVERSITY



# 四冲程柴油机工作过程



0—1 吸空气

1—2' 多变压缩

一般  $n=1.34\sim1.37$

$p_2'=3.5\sim5\text{MPa}$   $t_2'=600\sim800^\circ\text{C}$

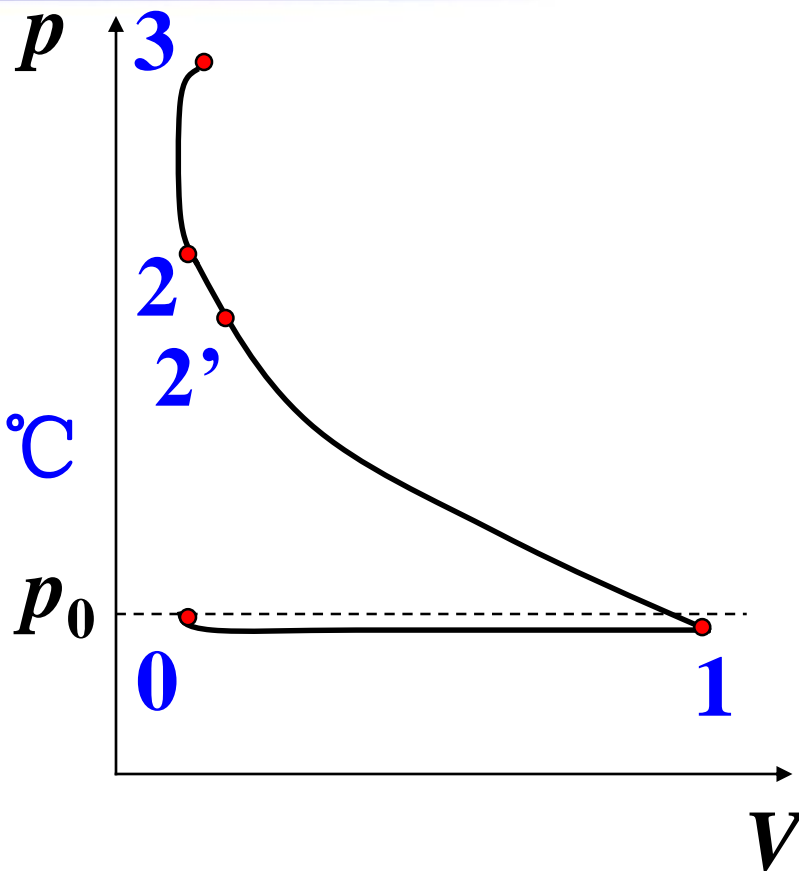
柴油自燃  $t=335^\circ\text{C}$

2' 喷柴油

2 开始燃烧

2—3 迅速燃烧, 近似  $(V)$

$p\uparrow 5\sim9\text{MPa}$





# 四冲程柴油机工作过程



3—4 边喷油，边膨胀

近似  $(p)$  膨胀

$t_4$  可达  $1700\sim 1800^\circ\text{C}$

4 停止喷柴油

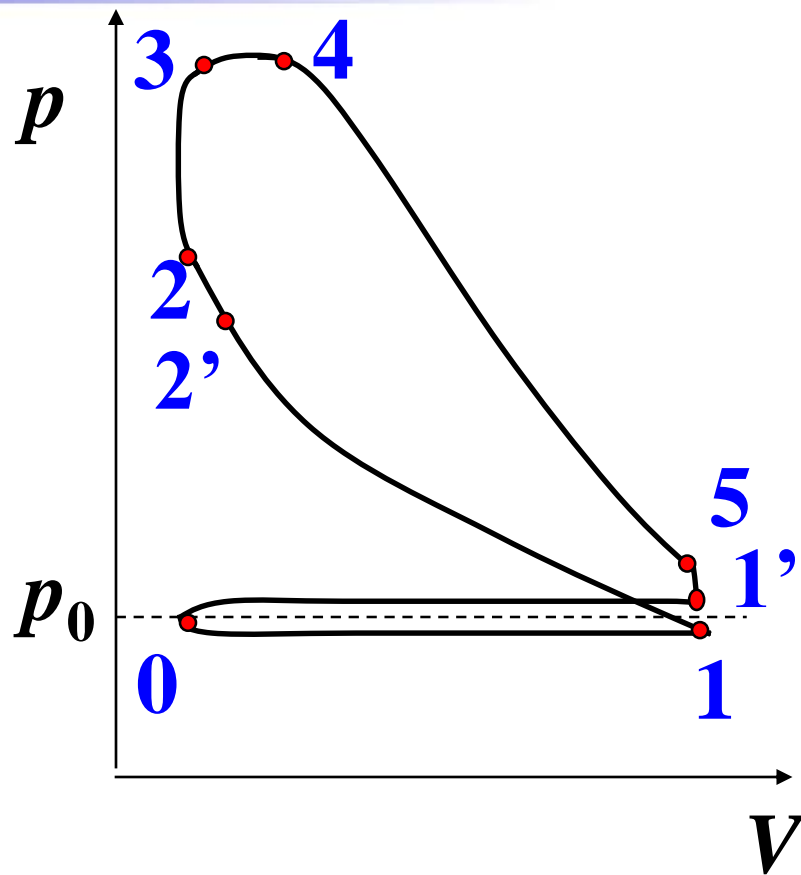
4—5 多变膨胀

$p_5 = 0.3\sim 0.5\text{MPa}$

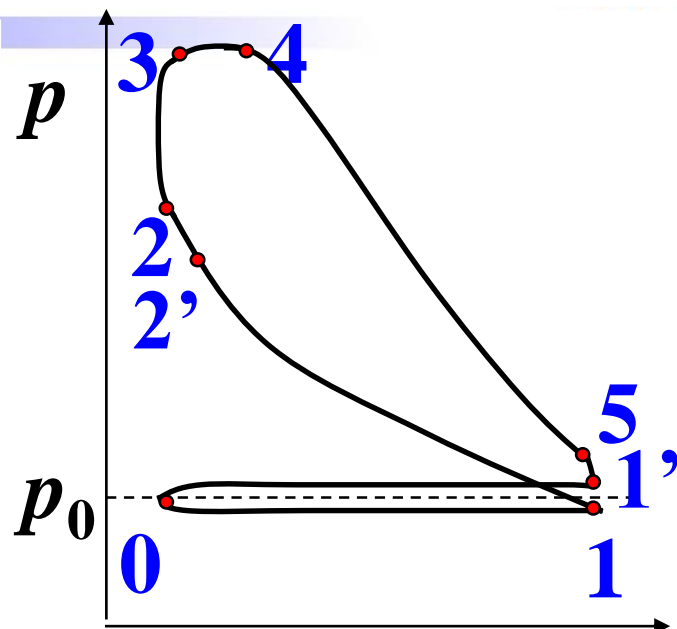
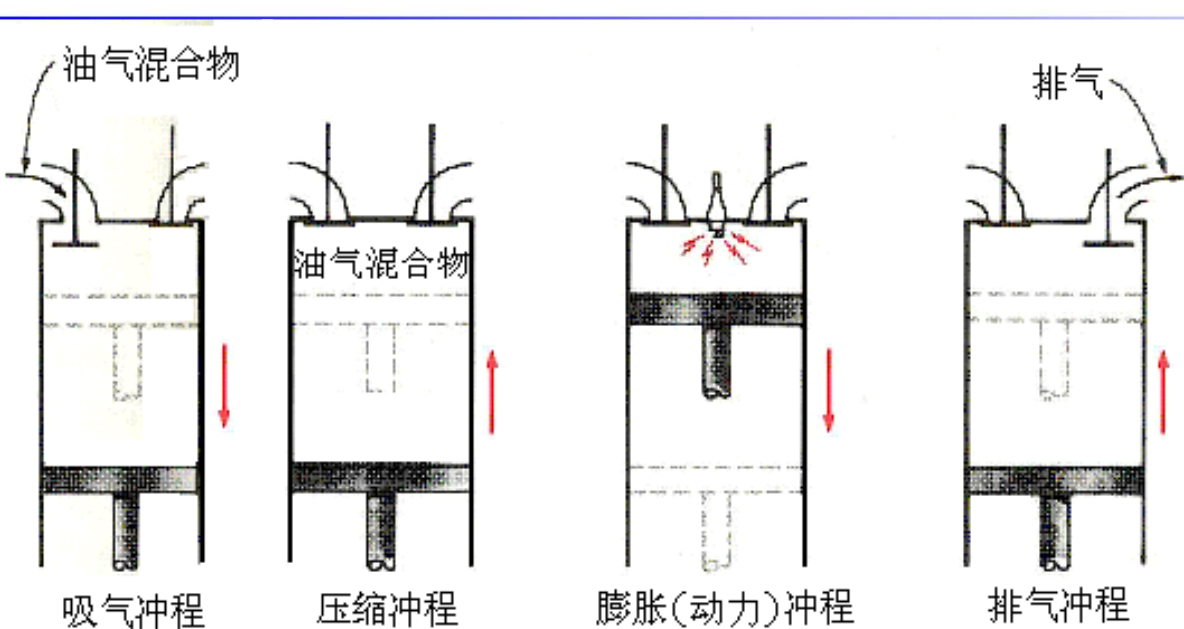
$t_5 \approx 500^\circ\text{C}$

5—1' 开阀排气， $(V)$  降压

1'—0 活塞推排气，完成循环



## 二、活塞式内燃机循环的简化



引入**空气标准假设**对该实际气体循环进行抽象、概括：

- 1) 把实际工质简化为**空气**，且作**理想气体**处理，**比热容取定值**；
- 2) **压缩和膨胀**过程中忽略气体与汽缸壁之间的热交换，简化为**可逆绝热过程**；
- 3) **燃料定容、定压加热过程**，简化为工质从高温热源**可逆吸热升温、升压**的过程；
- 4) 把**排气过程**简化成向低温热源**可逆定容放热**过程；
- 5) 忽略实际过程的摩擦阻力及进、排气阀的节流损失，进排气压力相等，推动功相互抵消，因此，**进排气过程相互重合抵消，循环变成闭式循环**。

# 1. 工质

定比热理想气体，空气

工质数量不变

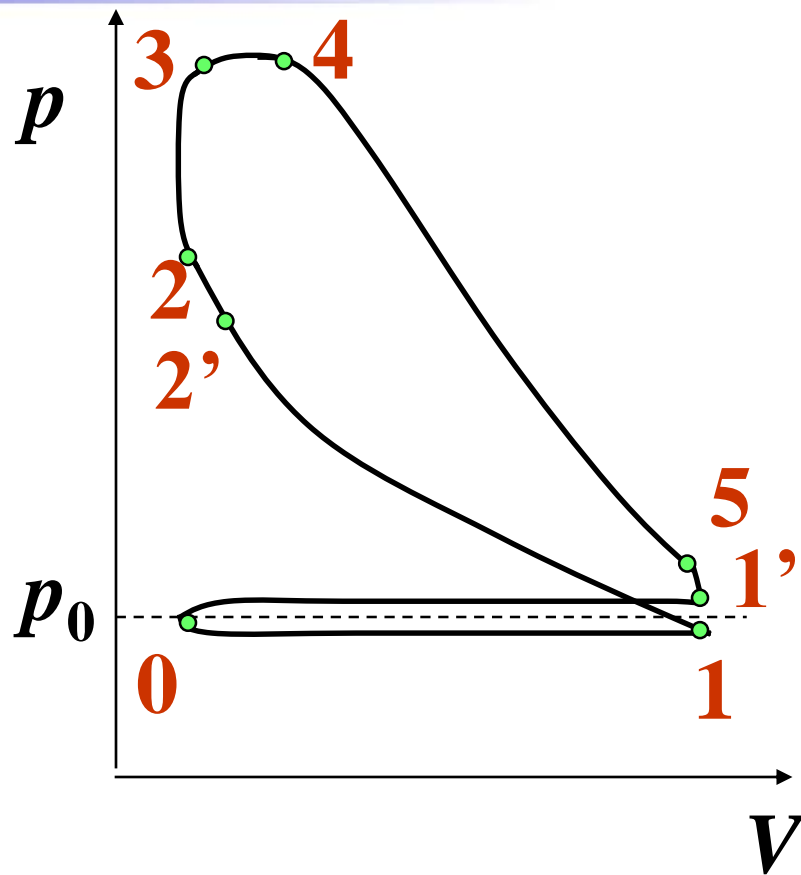
# 2. 0-1和1'-0抵消

开口→闭口循环

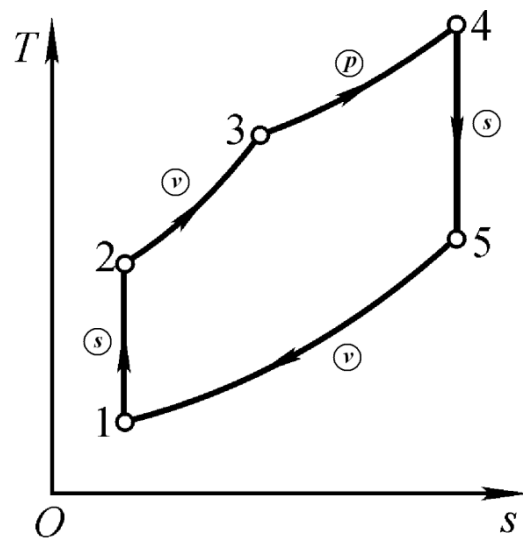
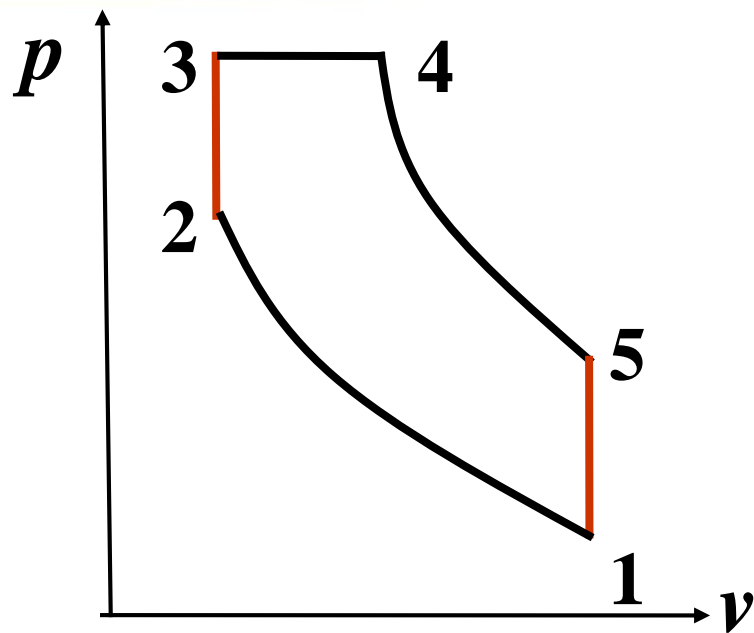
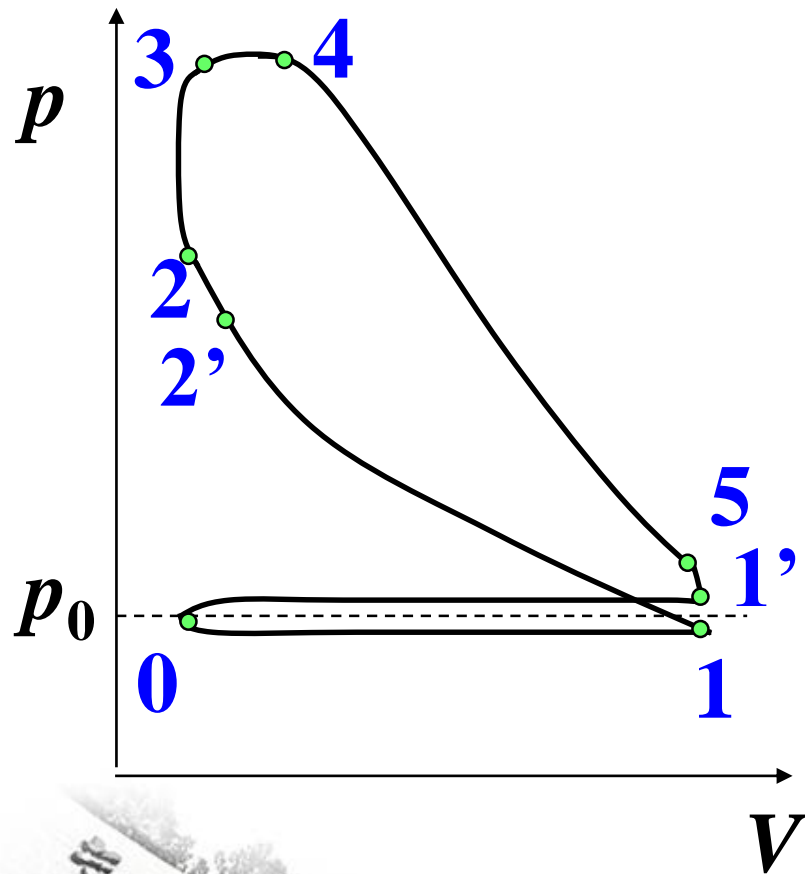
3. 燃烧→外界加热  
排气→向外界放热

4. 多变→绝热

不可逆→可逆

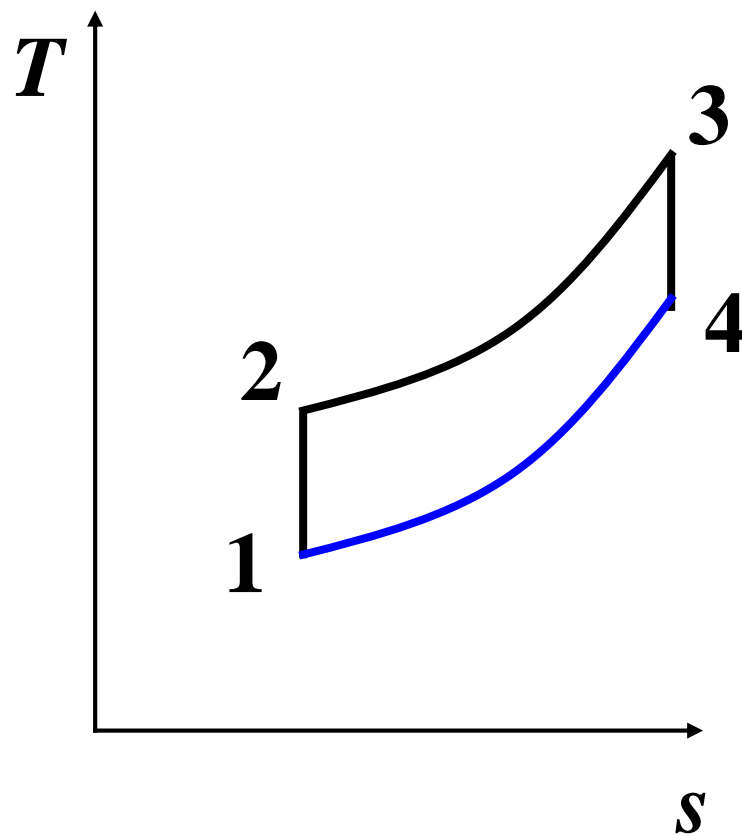
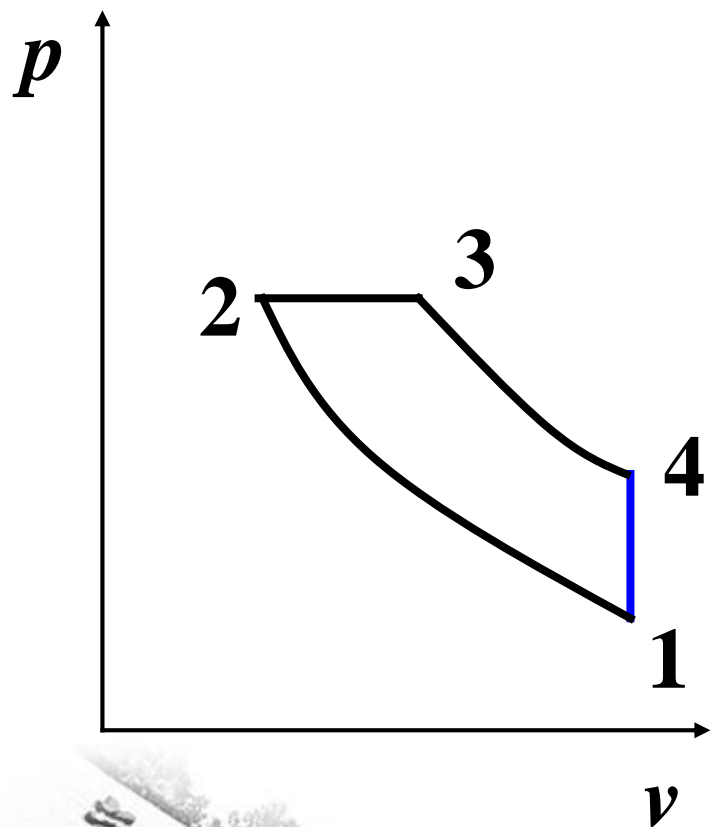


# 混合加热理想循环（萨巴德循环）



目前柴油机装置，大多采用混合加热循环

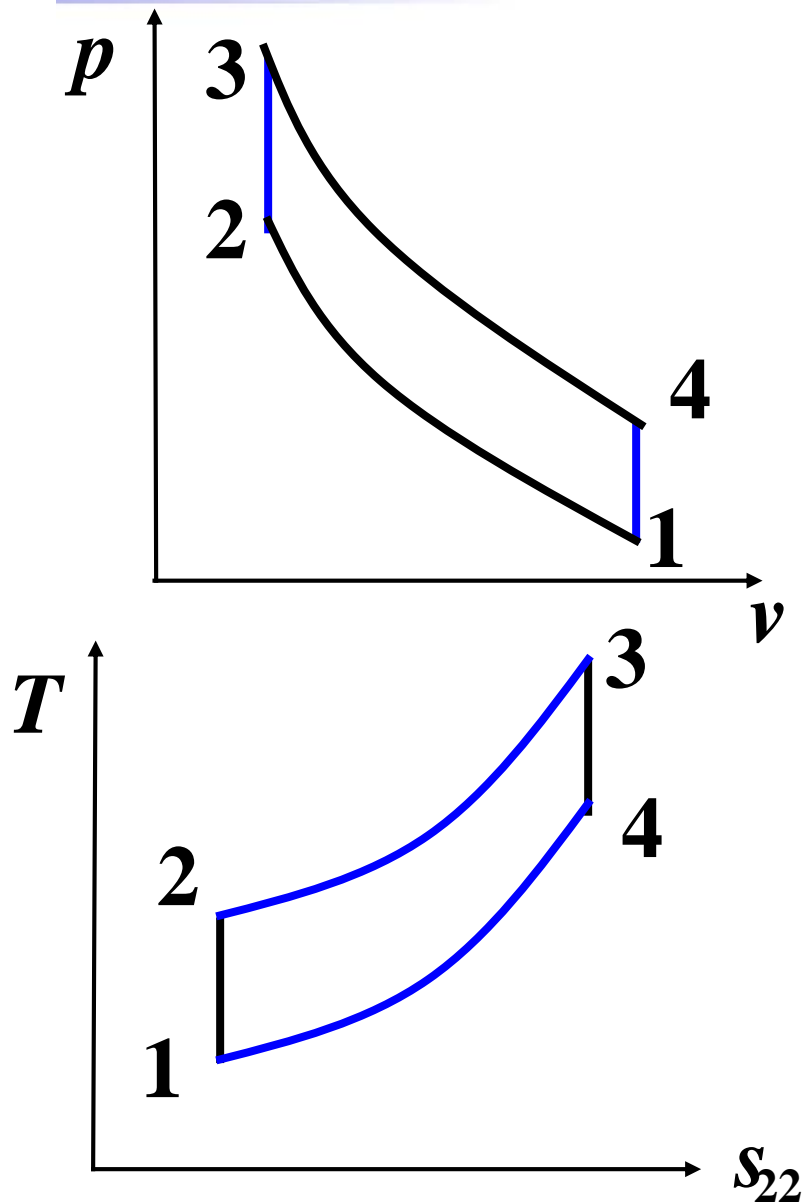
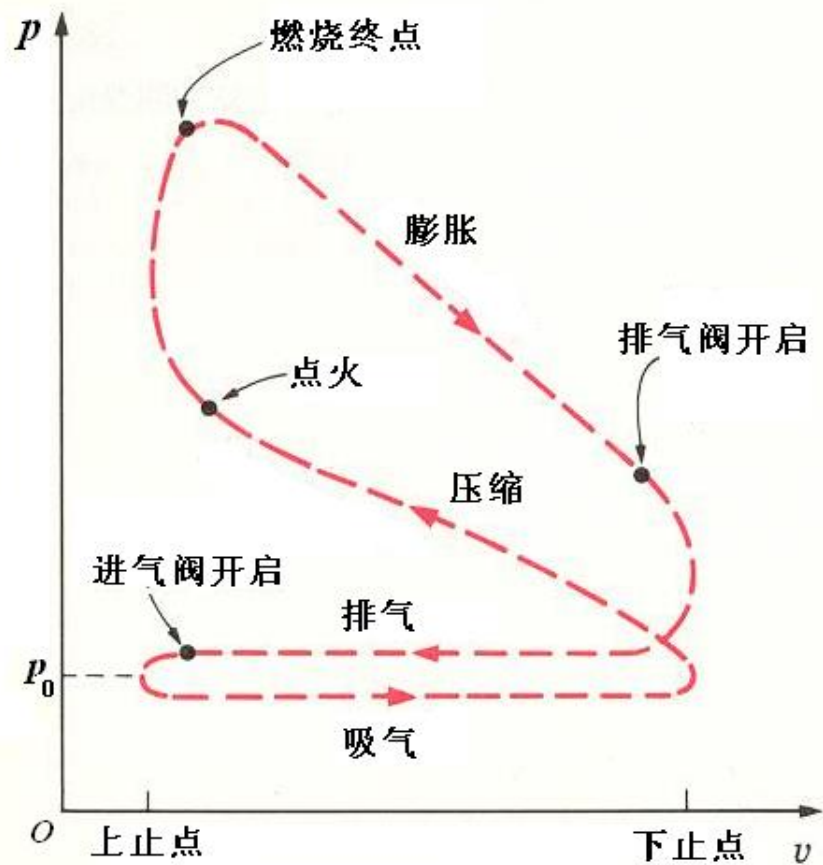
# 定压加热循环（狄塞尔Diesel循环）



早期的柴油机装置，大多采用定压加热循环，目前部分在用

# 定容加热循环（奥托OTTO循环）

早期的内燃机装置，大多采用定容加热循环，目前的小型汽车、摩托车

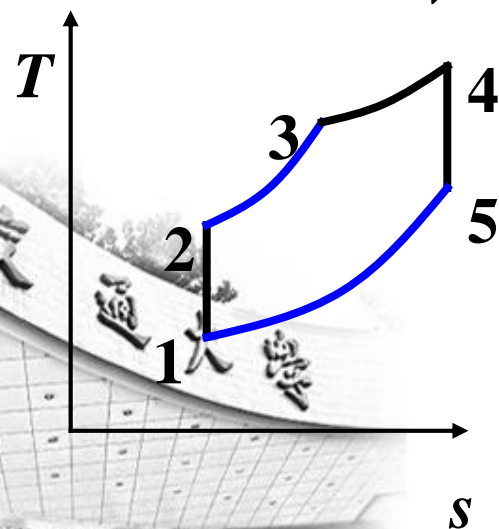
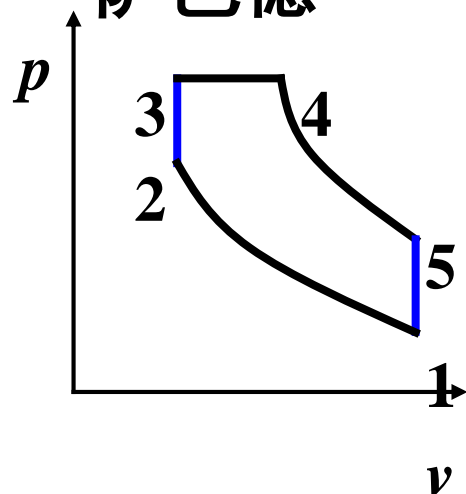


# 活塞式内燃机的三种理想循环

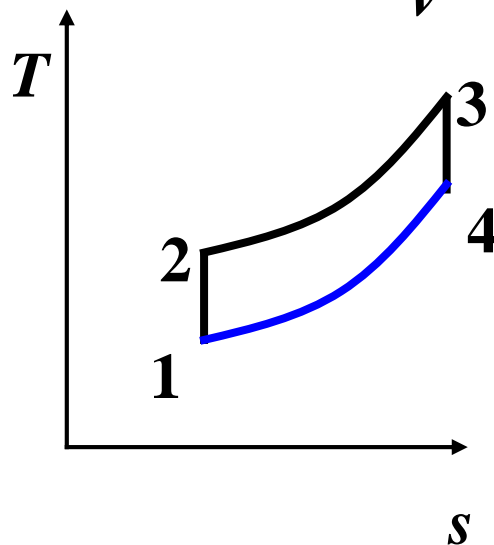
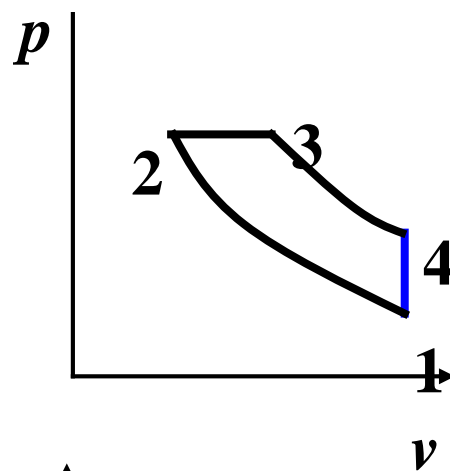


西安交通大学  
XI'AN JIAOTONG UNIVERSITY

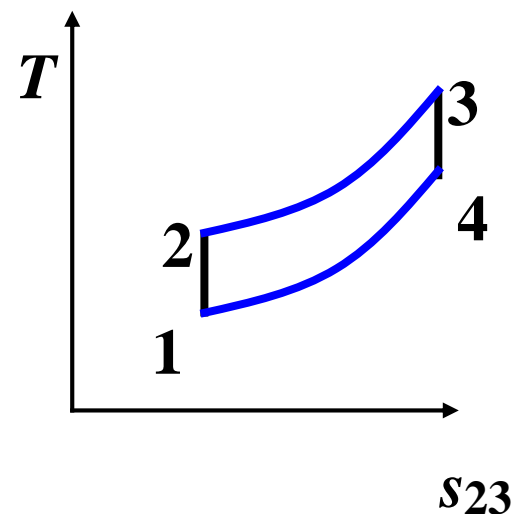
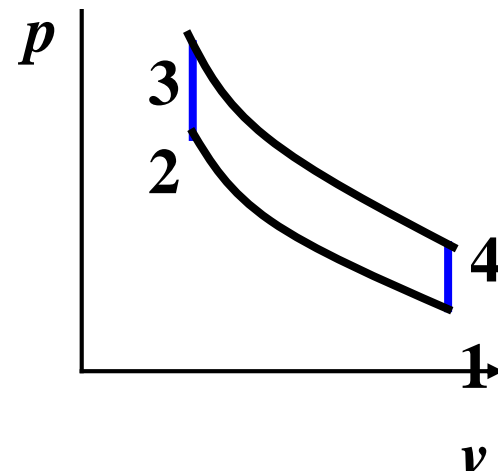
混合加热循环  
萨巴德



定压加热循环  
狄塞尔



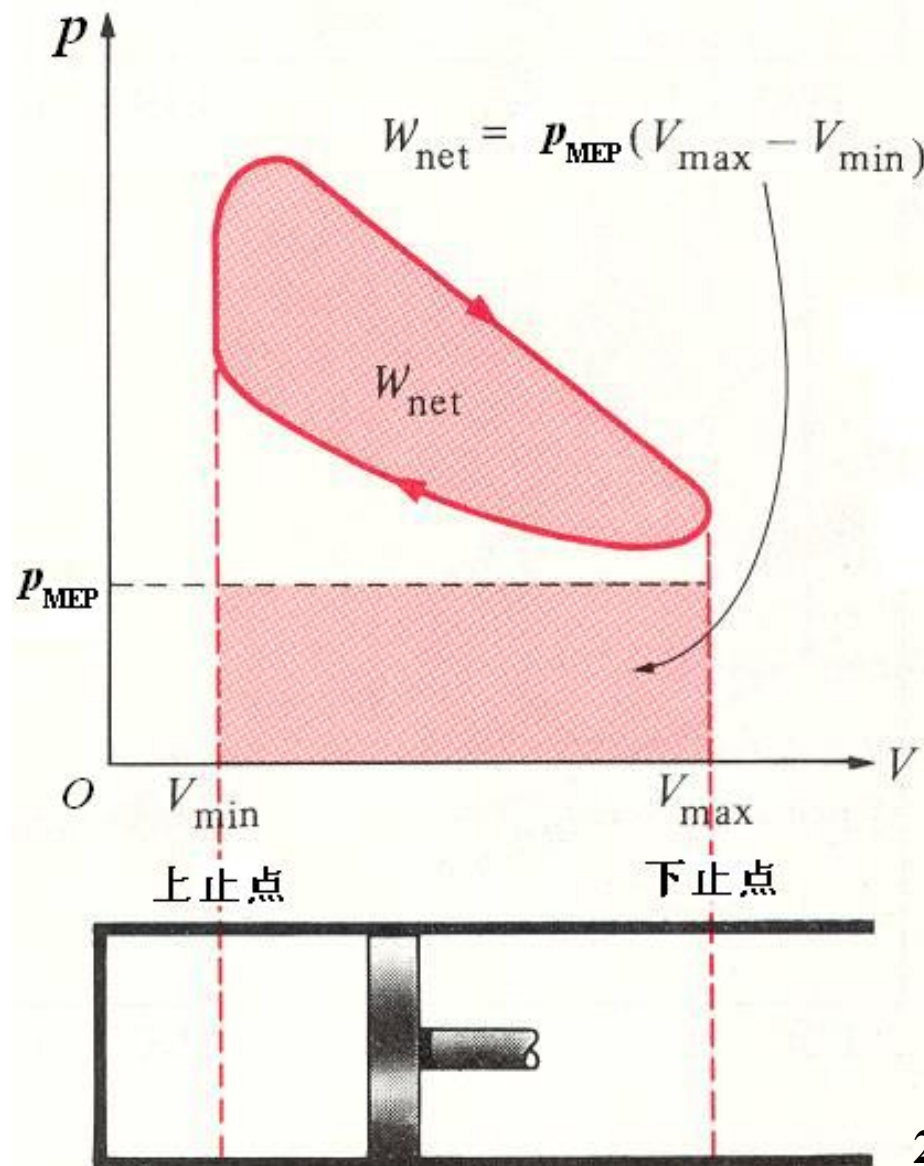
定容加热循环  
奥托



### 三、平均有效压力(mean effective pressure)

工程上为了简化往复式发动机的净功计算，并提供一种性能比较手段，工程界引入了平均有效压力的概念：

$$p_{\text{MEP}} = \frac{\text{循环净功}}{\text{活塞排量}} = \frac{W_{\text{net}}}{V_h}$$





根据不同内燃机燃烧过程的特点，可以分为三类：

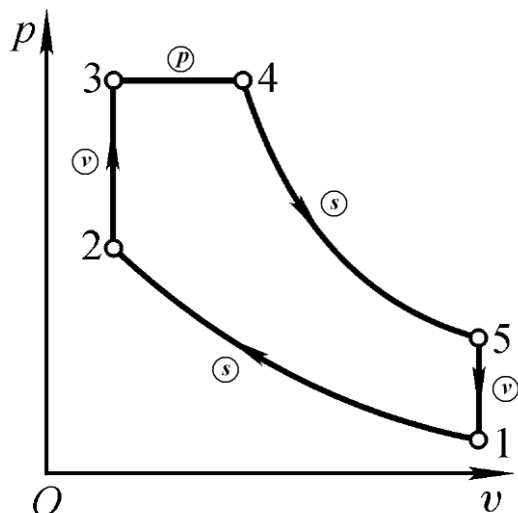
- 1、混合加热理想循环——把燃料燃烧过程分解成可逆定容加热和可逆定压加热两个过程的循环，又称萨巴德循环；
- 2、定压加热理想循环——把燃料燃烧过程简化为可逆定压加热过程的循环，又称狄塞尔循环；
- 3、定容加热理想循环——把燃料燃烧过程简化为可逆定容加热过程的循环，又称奥托循环。

分析循环吸热量，放热量，热效率和功量

# 一、混合加热理想循环



## 1. $p$ - $v$ 图及 $T$ - $s$ 图



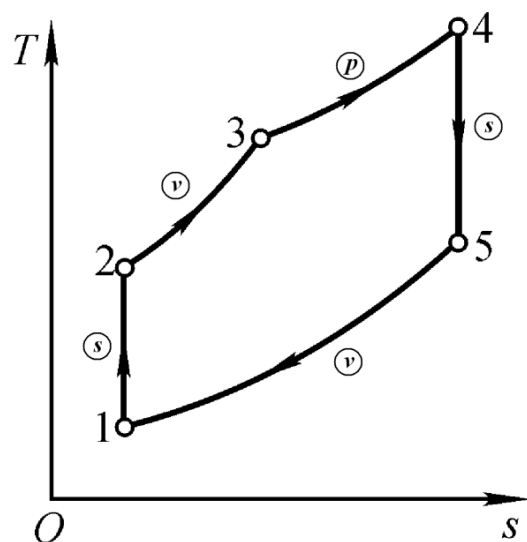
1→2 等熵压缩； 2→3 等容吸热；  
3→4 定压吸热； 4→5 等熵膨胀；  
5→1 定容放热

混合加热理想循环的特性参数：

**压缩比** (compression ratio)  $\varepsilon = \frac{v_1}{v_2}$

**定容增压比** (pressure ratio)  $\lambda = \frac{p_3}{p_2}$

**定压预胀比** (cutoff ratio)  $\rho = \frac{v_4}{v_3}$



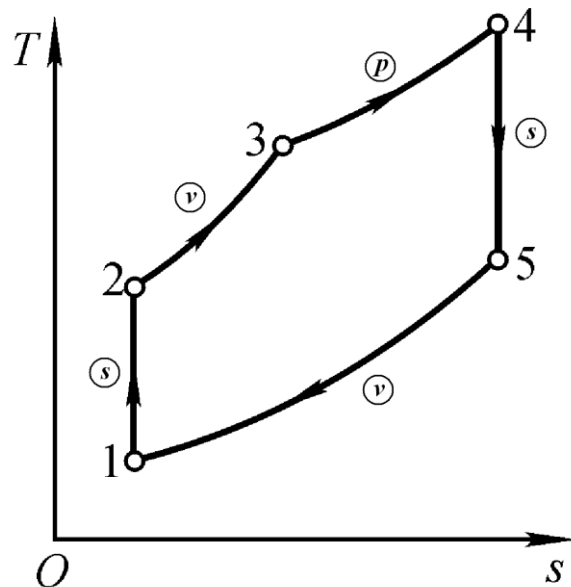
## 2. 循环吸热量、放热量、做功和热效率

### 吸热量

$$q_1 = q_{2-3} + q_{3-4} = c_V(T_3 - T_2) + c_p(T_4 - T_3)$$

### 放热量(取绝对值)

$$q_2 = q_{5-1} = c_V(T_5 - T_1)$$



循环净功量:  $\oint \delta q = \oint \delta w$        $w_{\text{net}} = q_{\text{net}} = q_1 - q_2$

或  $w_{\text{net}} = w_{1-2} + w_{2-3} + w_{3-4} + w_{4-5} + w_{5-1}$       **技术功还是体积变化功？**

$$= w_{1-2} + w_{3-4} + w_{4-5}$$

$$= \frac{R_g}{\kappa - 1} T_1 \left[ 1 - \left( \frac{p_2}{p_1} \right)^{\frac{\kappa-1}{\kappa}} \right] + p_3 (v_4 - v_3) + \frac{R_g}{\kappa - 1} T_4 \left[ 1 - \left( \frac{p_5}{p_4} \right)^{\frac{\kappa-1}{\kappa}} \right]$$



$$\eta_t = \frac{w_{\text{net}}}{q_1} = 1 - \frac{q_2}{q_1} = 1 - \frac{T_5 - T_1}{(T_3 - T_2) + \kappa(T_4 - T_3)}$$

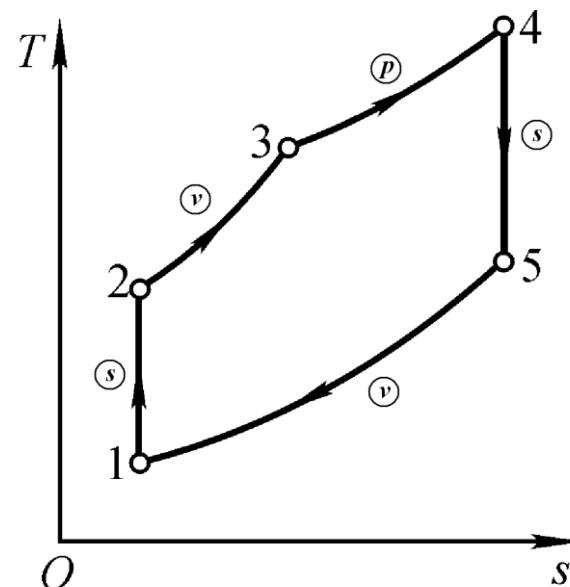
利用  $\varepsilon$ 、 $\lambda$ 、 $\rho$  表示  $\eta_t$

$$1 \rightarrow 2 \quad T_2 = T_1 \left( \frac{v_1}{v_2} \right)^{\kappa-1} = T_1 \varepsilon^{\kappa-1}$$

$$2 \rightarrow 3 \quad T_3 = T_2 \frac{p_3}{p_2} = T_1 \lambda \varepsilon^{\kappa-1}$$

$$3 \rightarrow 4 \quad T_4 = T_3 \frac{v_4}{v_3} = T_1 \rho \lambda \varepsilon^{\kappa-1}$$

$$5 \rightarrow 1 \quad T_5 = T_1 \frac{p_5}{p_1}$$



求  $\frac{p_5}{p_1}$



$$p_1 v_1^\kappa = p_2 v_2^\kappa; \quad p_5 v_5^\kappa = p_4 v_4^\kappa$$

两式相除，考虑到  $p_4 = p_3$   $v_1 = v_5$   $v_2 = v_3$

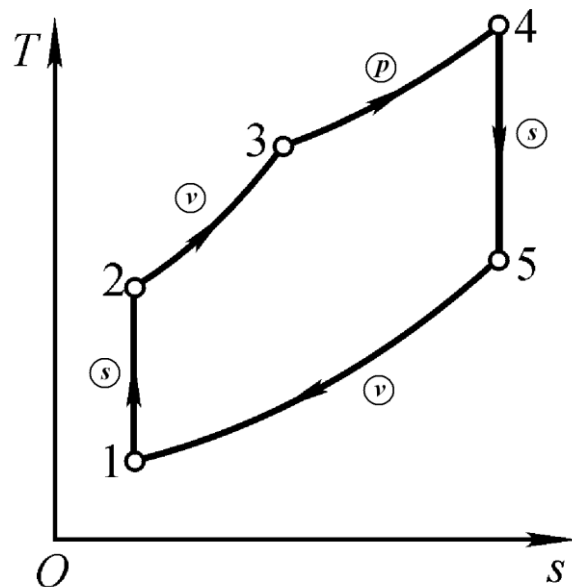
$$\frac{p_5}{p_1} = \frac{p_4}{p_2} \left( \frac{v_4}{v_3} \right)^\kappa = \frac{p_3}{p_2} \left( \frac{v_4}{v_3} \right)^\kappa = \lambda \rho^\kappa$$

$$T_5 = T_1 \frac{p_5}{p_1} \Rightarrow T_5 = T_1 \lambda \rho^\kappa$$

把  $T_2$ 、 $T_3$ 、 $T_4$  和  $T_5$  代入

$$\eta_t = 1 - \frac{T_5 - T_1}{(T_3 - T_2) + \kappa(T_4 - T_3)}$$

$$\eta_t = 1 - \frac{\lambda \rho^\kappa - 1}{\varepsilon^{\kappa-1} [(\lambda - 1) + \kappa \lambda (\rho - 1)]}$$



# 循环热效率定性比较常用方法



多热源可逆热机与相同温度界限的卡诺热机相比，

热效率如何？

$$Q_{1C} > Q_{1R多}$$

$$Q_{2C} < Q_{2R多}$$

$$\eta_t = 1 - \frac{Q_2}{Q_1}$$

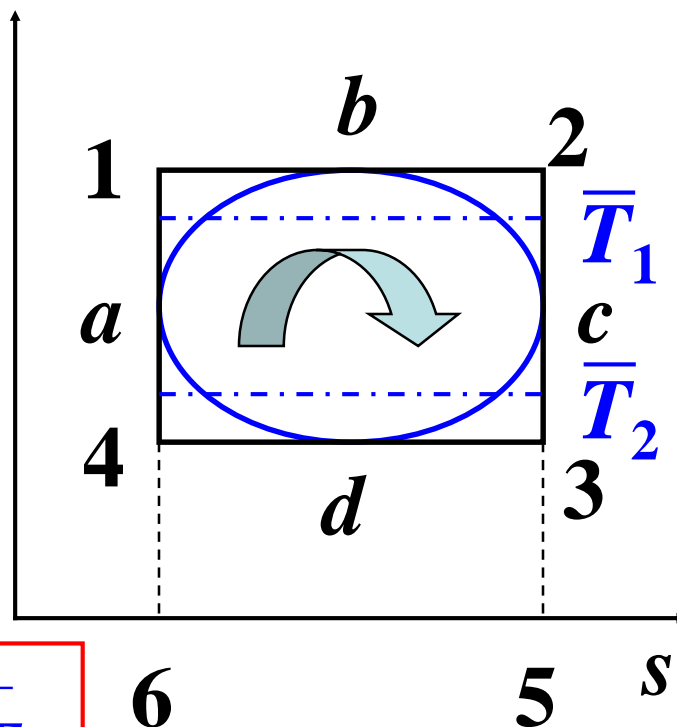
$$\therefore \eta_{tC} > \eta_{tR多}$$

平均温度法：

$$Q_{1R多} = \bar{T}_1(s_c - s_a)$$

$$Q_{2R多} = \bar{T}_2(s_c - s_a)$$

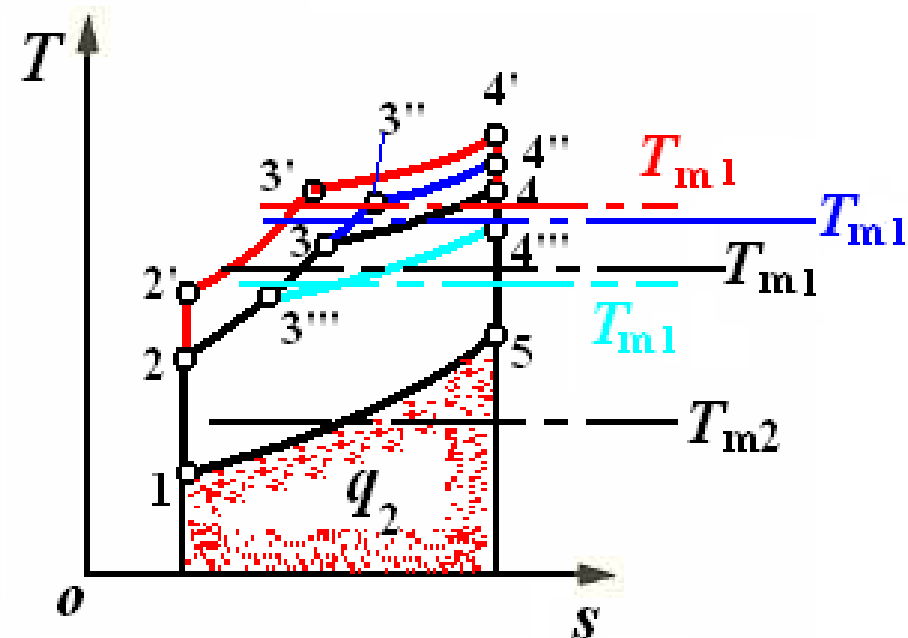
$$\eta_{tR多} = 1 - \frac{\bar{T}_2}{\bar{T}_1}$$



讨论：

$$\eta_t = 1 - \frac{\lambda \rho^\kappa - 1}{\varepsilon^{\kappa-1} [(\lambda - 1) + \kappa \lambda (\rho - 1)]}$$

$$\eta_{tR多} = 1 - \frac{\bar{T}_2}{\bar{T}_1}$$



a)  $\varepsilon \uparrow \quad \eta_t \uparrow$

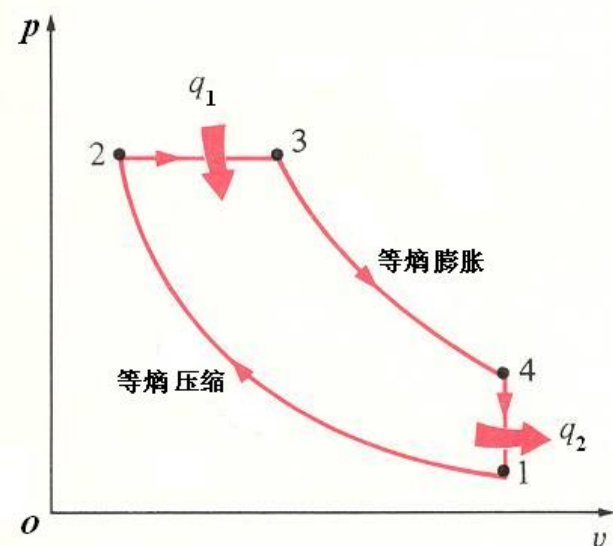
b)  $\lambda \uparrow \quad \eta_t \uparrow$

c)  $\rho \uparrow \quad \eta_t \downarrow$

归纳：

1. 吸热前压缩气体，提高平均吸热温度是提高热效率的重要措施，是卡诺循环，第二定律对实际循环的指导。
2. 利用  $T-s$  图分析循环较方便。
3. 同时考虑  $q_1$  和  $q_2$  或  $T_{1m}$  和  $T_{2m}$  平均，定性比较热效率高低。

## 二、定压加热理想循环(Diesel cycle)



**吸热量**  $q_1 = c_p(T_3 - T_2)$

**放热量(取绝对值)**

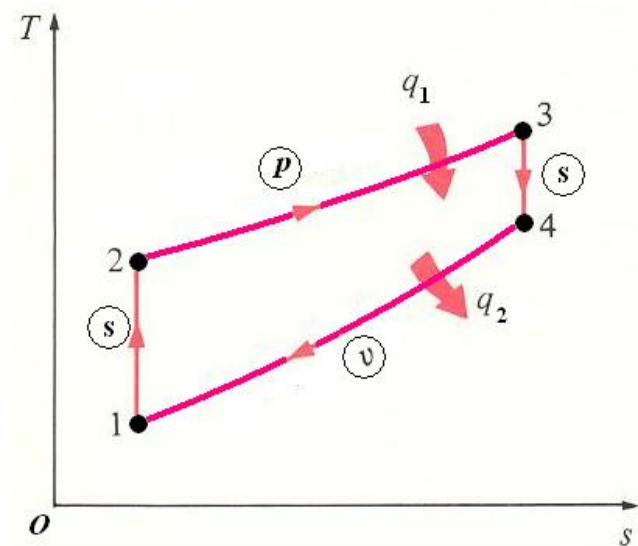
$$q_2 = c_v(T_4 - T_1)$$

**热效率**  $\eta_t = 1 - \frac{q_2}{q_1} = 1 - \frac{T_4 - T_1}{\kappa(T_3 - T_2)}$

$$\varepsilon = \frac{v_1}{v_2}$$

$$\rho = \frac{v_3}{v_2}$$

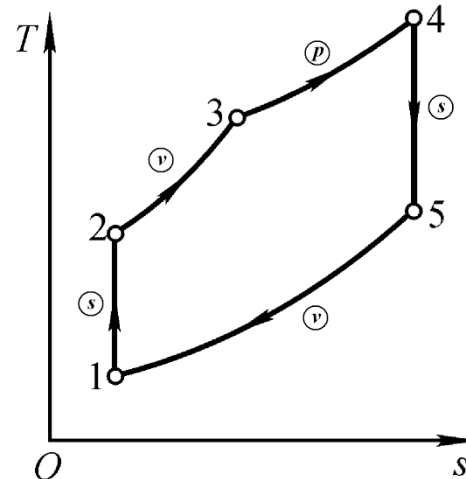
$$\eta_t = 1 - \frac{\rho^\kappa - 1}{\kappa \varepsilon^{\kappa-1} (\rho - 1)}$$



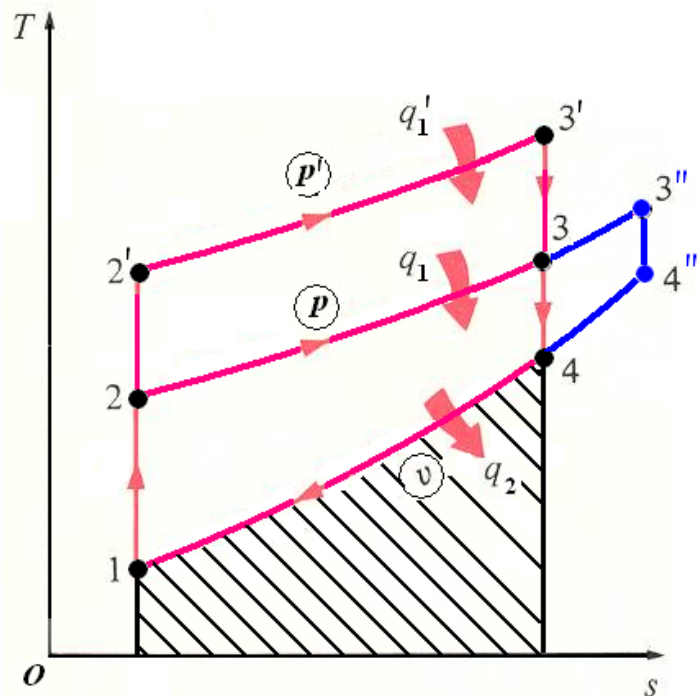


$$\eta_t = 1 - \frac{\lambda \rho^\kappa - 1}{\varepsilon^{\kappa-1} [(\lambda - 1) + \kappa \lambda (\rho - 1)]}$$

$$\lambda = 1 \Rightarrow \eta_t = 1 - \frac{\rho^\kappa - 1}{\kappa \varepsilon^{\kappa-1} (\rho - 1)}$$



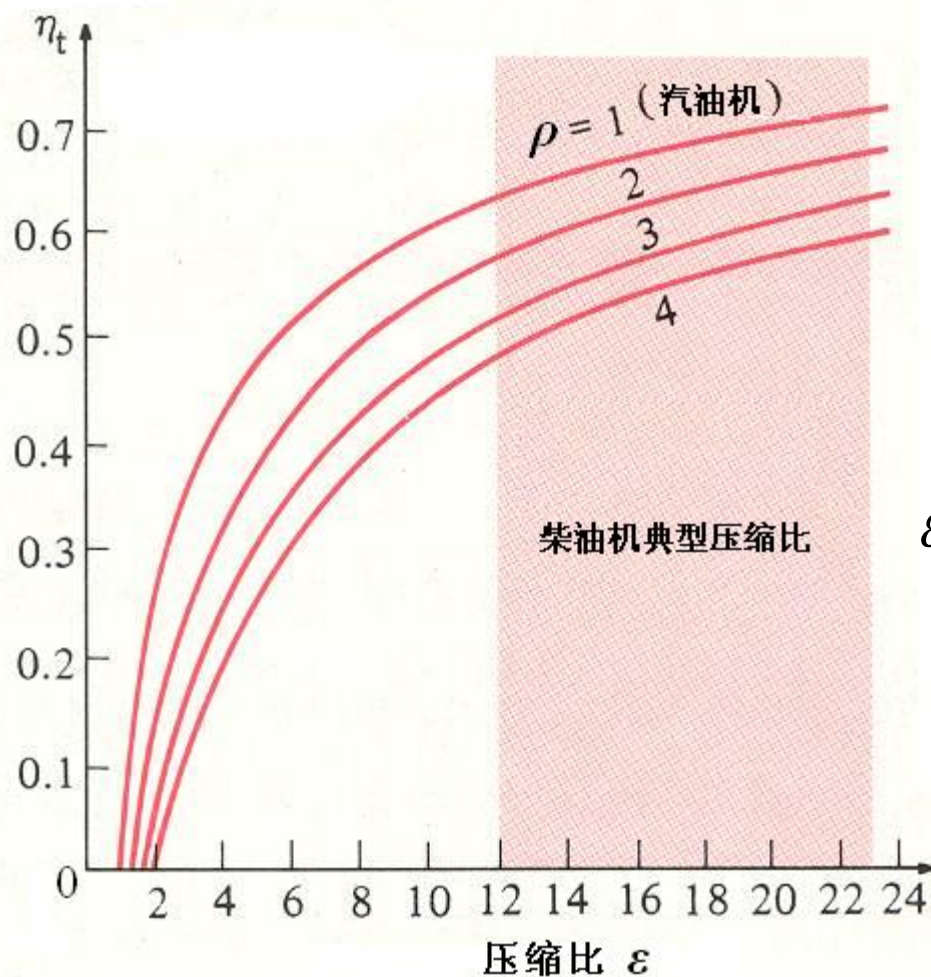
讨论:



a)  $\varepsilon \uparrow \quad \eta_t \uparrow \quad w_{\text{net}} \uparrow$

b)  $\rho \uparrow \quad \eta_t \downarrow \quad w_{\text{net}} \uparrow$

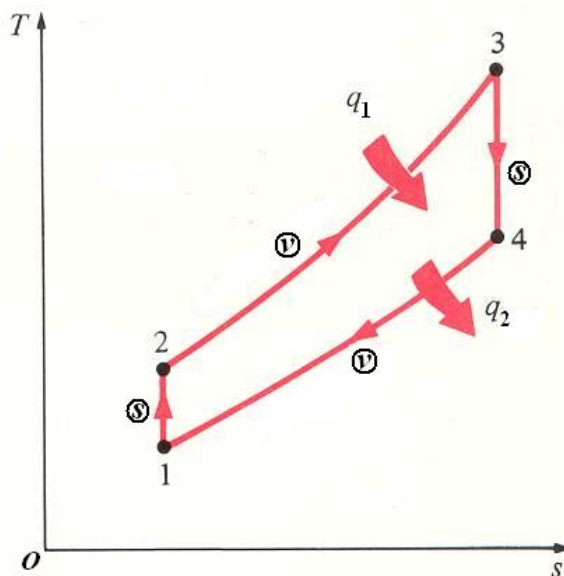
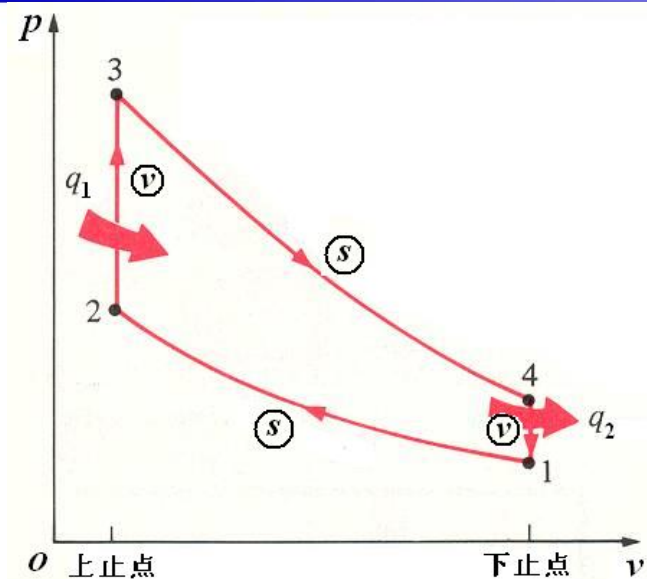
c) 重负荷 ( $\rho \uparrow, q_1 \uparrow$ ) 时内部热效率下降, 除  $\rho \uparrow$  外还有因温度上升而使  $\kappa \downarrow$ , 造成热效率下降



$$\varepsilon_{\text{柴油机}} = 12 - 23$$



### 三、定容加热理想循环(Otto cycle)



$$\varepsilon = \frac{v_1}{v_2}$$

$$\lambda = \frac{p_3}{p_2}$$

吸热量

$$q_1 = c_V(T_3 - T_2)$$

放热量

$$q_2 = c_V(T_4 - T_1)$$

热效率

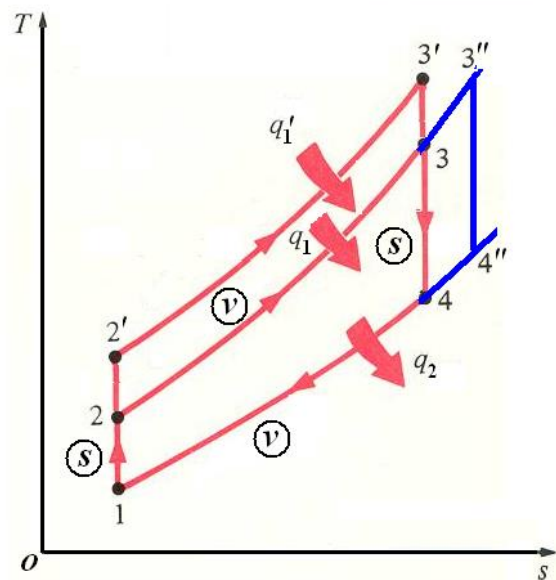
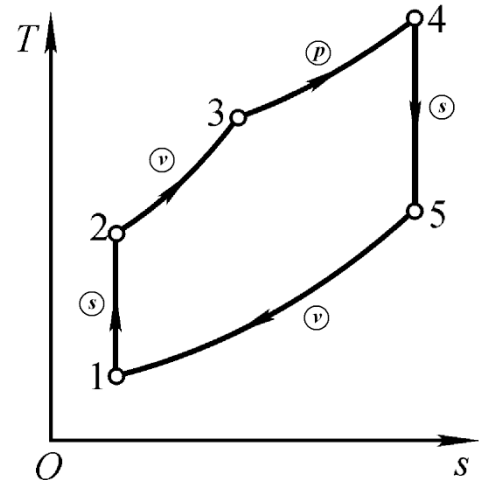
$$\eta_t = 1 - \frac{q_2}{q_1} = 1 - \frac{T_4 - T_1}{T_3 - T_2}$$

$$\eta_t = 1 - \frac{1}{\varepsilon^{\kappa-1}}$$

$$\eta_t = 1 - \frac{\lambda \rho^\kappa - 1}{\varepsilon^{\kappa-1} [(\lambda - 1) + \kappa \lambda (\rho - 1)]}$$

$$\rho = 1 \Rightarrow \eta_t = 1 - \frac{1}{\varepsilon^{\kappa-1}}$$

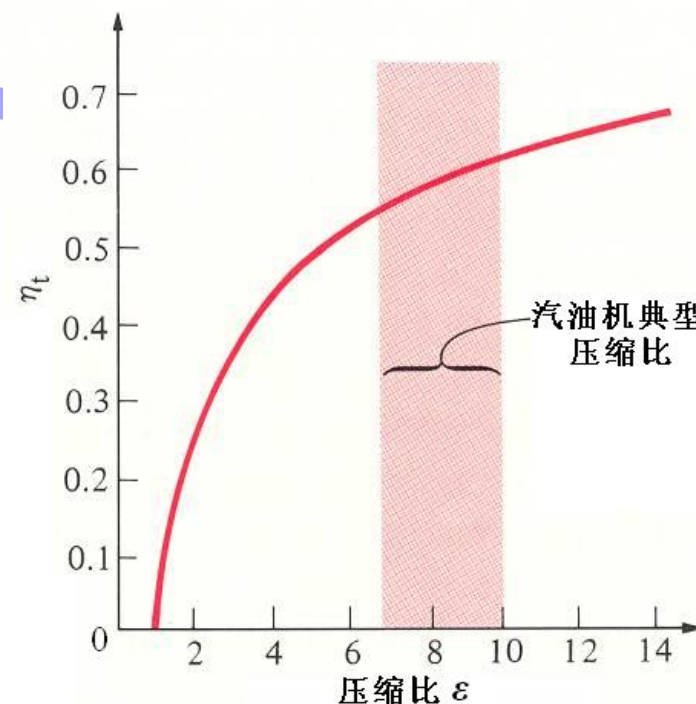
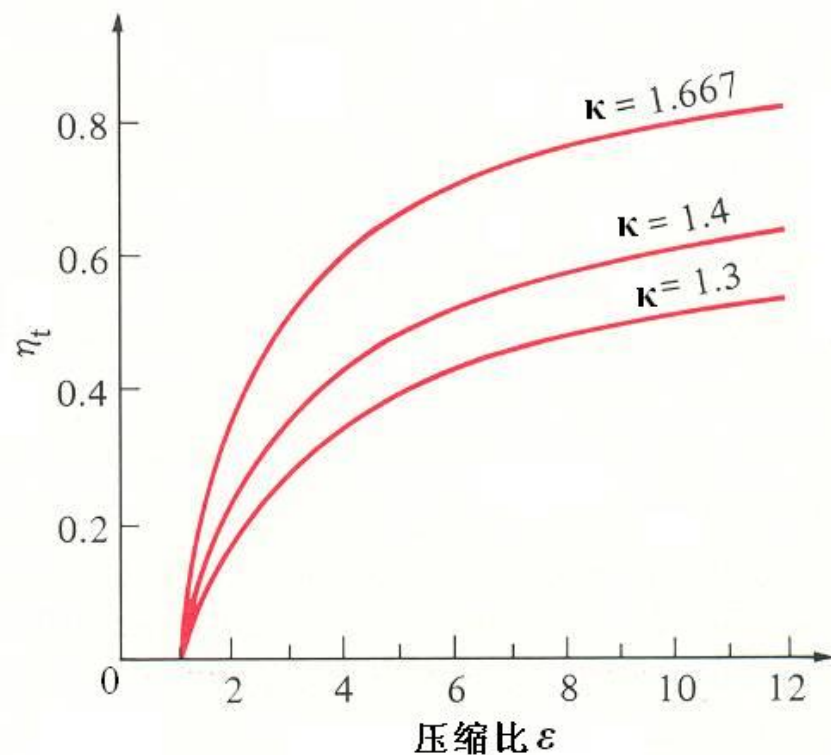
讨论:



a)  $\varepsilon \uparrow \quad \eta_t \uparrow$

b)  $\lambda \uparrow$ ;  $\eta_t$  不变, 但  $w_{\text{net}} \uparrow$

c) 重负荷 ( $q_1 \uparrow$ ) 时内部热效率下降, 因温度上升使  $\kappa \downarrow$ , 造成热效率下降



汽油易爆燃

一般汽油机

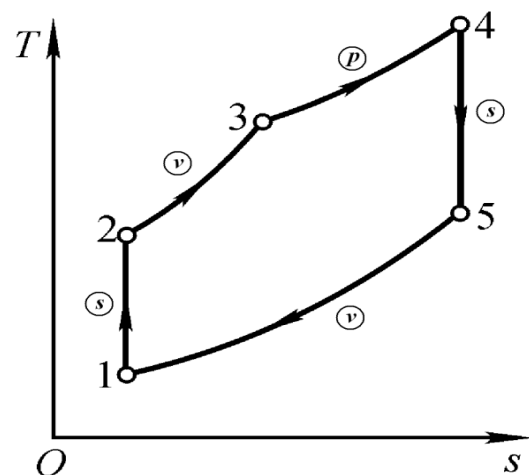
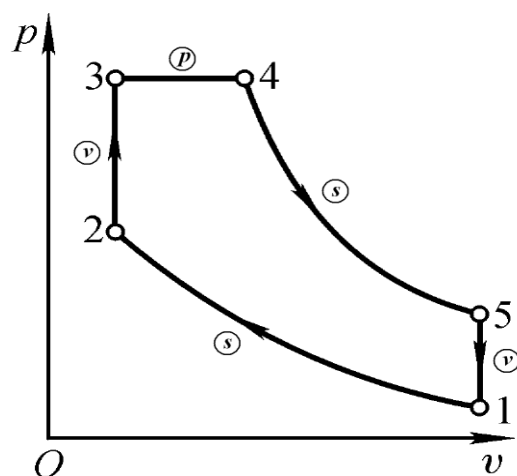
$$\varepsilon = 7 \rightarrow 10$$

$$\varepsilon_{\text{柴油机}} = 12 - 23$$

一般柴油机效率高于汽油机，但汽油机小巧。

## 一、混合加热理想循环

### 1. $p-v$ 图及 $T-s$ 图



1→2 等熵压缩；2→3 等容吸热；

3→4 定压吸热；4→5 等熵膨胀；

5→1 定容放热

混合加热理想循环的特性参数：

压缩比 (compression ratio)  $\varepsilon = \frac{v_1}{v_2}$

定容增压比 (pressure ratio)  $\lambda = \frac{p_3}{p_2}$

定压预胀比 (cutoff ratio)  $\rho = \frac{v_4}{v_3}$

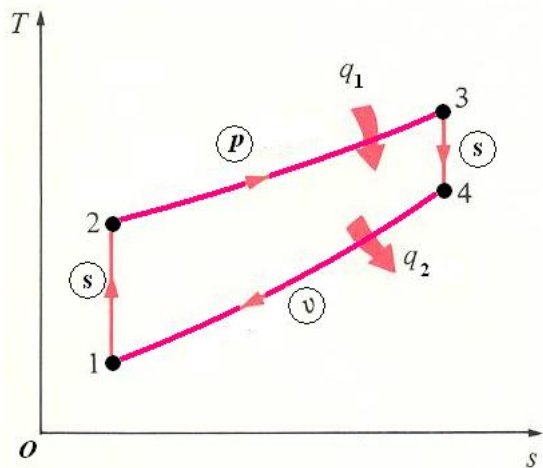
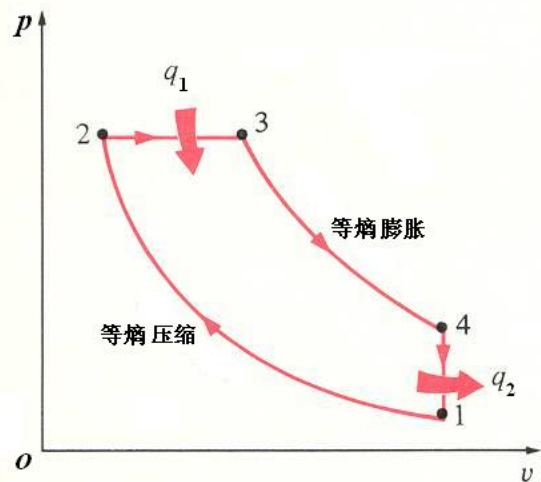




## 二、定压加热理想循环(Diesel cycle)



### 1. $p-v$ 图及 $T-s$ 图



1→2 等熵压缩； 2→3 定压吸热；  
3→4 等熵膨胀； 5→1 定容放热

$$\varepsilon = \frac{v_1}{v_2}$$

$$\rho = \frac{v_3}{v_2}$$

### 2. 循环吸热量、放热量、做功和热效率

**吸热量**  $q_1 = c_p(T_3 - T_2)$

**放热量(取绝对值)**  $q_2 = c_v(T_4 - T_1)$

**热效率**  $\eta_t = 1 - \frac{q_2}{q_1} = 1 - \frac{T_4 - T_1}{\kappa(T_3 - T_2)}$

$$\eta_t = 1 - \frac{\rho^\kappa - 1}{\kappa \varepsilon^{\kappa-1}(\rho - 1)}$$

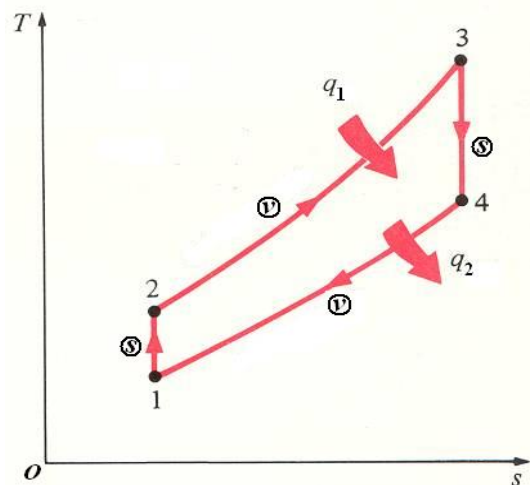
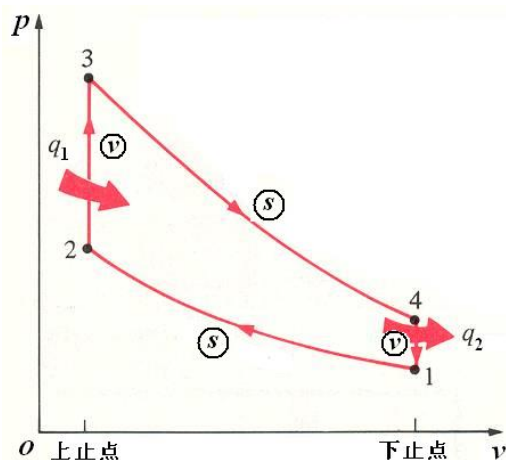
**特性参数对热效率  
及净功量的影响**



### 三、定容加热理想循环(Otto cycle)



#### 1. $p-v$ 图及 $T-s$ 图



1→2 等熵压缩; 2→3 定容吸热;  
3→4 等熵膨胀; 5→1 定容放热

$$\varepsilon = \frac{v_1}{v_2}$$

$$\lambda = \frac{p_3}{p_2}$$

#### 2. 循环吸热量、放热量、做功和热效率

吸热量  $q_1 = c_v(T_3 - T_2)$

放热量  $q_2 = c_v(T_4 - T_1)$

热效率  $\eta_t = 1 - \frac{q_2}{q_1} = 1 - \frac{T_4 - T_1}{T_3 - T_2}$

$$\eta_t = 1 - \frac{1}{\varepsilon^{\kappa-1}}$$

特性参数对热效率  
及净功量的影响

## 9-4 活塞式內燃機各種理想循環的熱力學比較

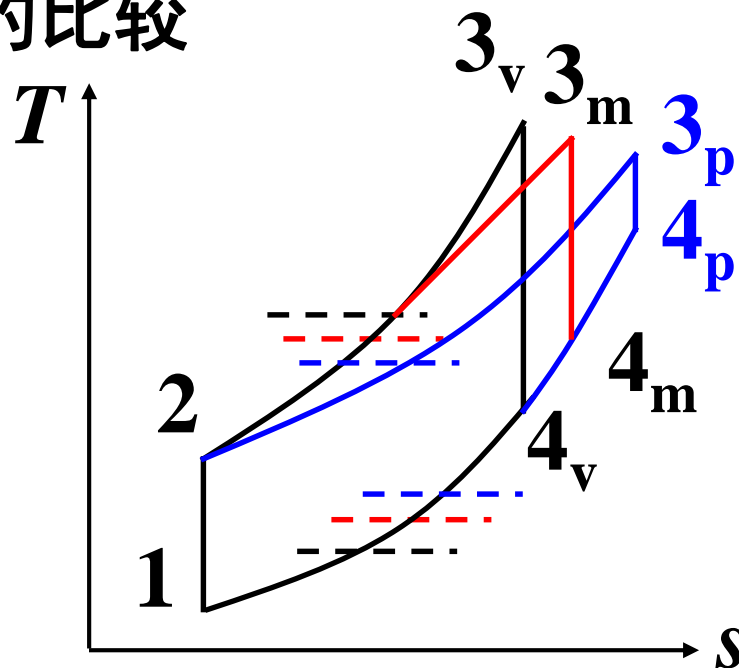
### 一、壓縮比相同，吸熱量相同時的比較

面積法（吸/放熱量）  $\eta_t = 1 - \frac{q_2}{q_1}$

$$\left. \begin{array}{l} q_{2v} < q_{2m} < q_{2p} \\ q_{1v} = q_{1m} = q_{1p} \end{array} \right\} \Rightarrow \eta_{tv} > \eta_{tm} > \eta_{tp}$$

平均溫度法  $\eta_t = 1 - \frac{\bar{T}_2}{\bar{T}_1}$

$$\left. \begin{array}{l} \bar{T}_{2v} < \bar{T}_{2m} < \bar{T}_{2p} \\ \bar{T}_{1v} > \bar{T}_{1m} > \bar{T}_{1p} \end{array} \right\} \Rightarrow \eta_{tv} > \eta_{tm} > \eta_{tp}$$





## 二、循环 $p_{\max}$ 、 $T_{\max}$ 相同时的比较

面积法（吸/放热量）  $\eta_t = 1 - \frac{q_2}{q_1}$

$$q_{1p} > q_{1m} > q_{1v}$$

$$q_{2p} = q_{2m} = q_{2v}$$

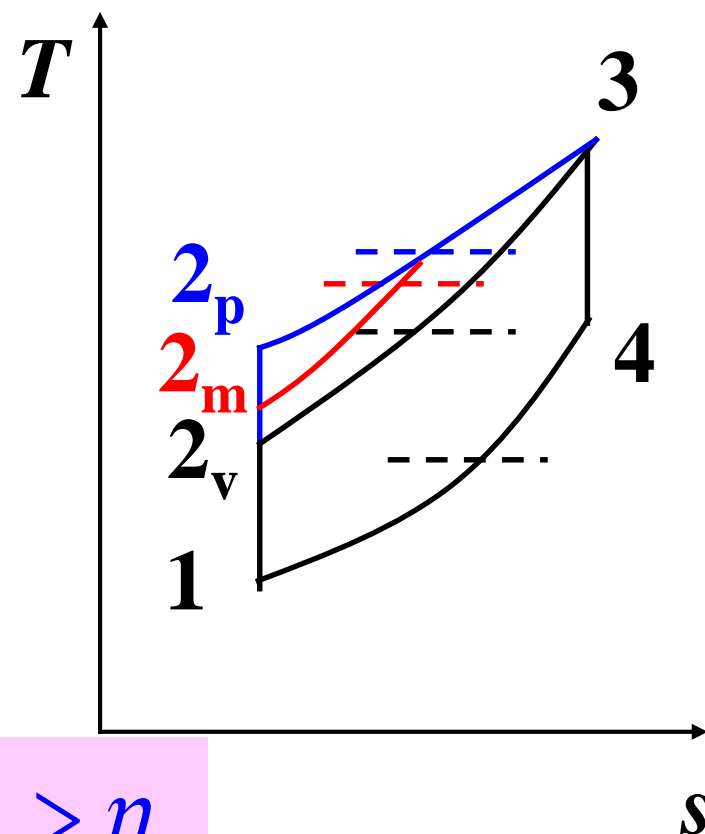
$$\eta_{tp} > \eta_{tm} > \eta_{tv}$$

平均温度法  $\eta_t = 1 - \frac{\overline{T}_2}{\overline{T}_1}$

$$\overline{T}_{2p} = \overline{T}_{2m} = \overline{T}_{2v}$$

$$\overline{T}_{1p} > \overline{T}_{1m} > \overline{T}_{1v}$$

$$\eta_{tp} > \eta_{tm} > \eta_{tv}$$



**例题1:** 已知柴油机混合加热理想循环 $p_1=0.17$  MPa、 $t_1=60^\circ\text{C}$ ，**压缩比 $\varepsilon=14.5$** ，**气缸中气体最大压力10.3 MPa**，循环加热量 $q_1=900$  kJ/kg。设工质为空气，比热容为定值并取 $c_p=1004$  J/(kg K)， $c_v=718$  J/(kg K)， $\kappa=1.4$ ；环境温度 $t_0=20^\circ\text{C}$ ，压力 $p_0=0.1$  MPa。试分析该循环并求循环热效率及炯效率。

解：

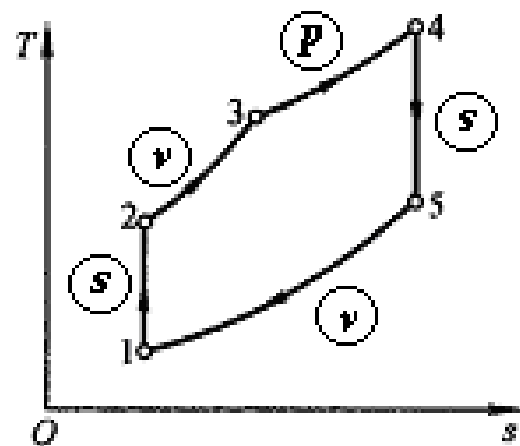
(1) 画出循环坐标图

(2) 由已知条件及过程特点确定状态参数

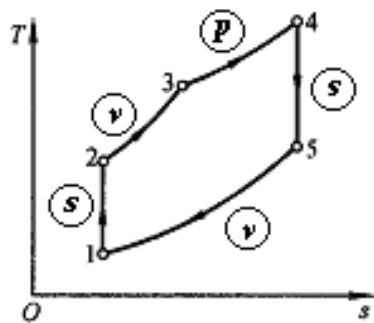
点1:  $p_1=0.17$  kPa、 $T_1=333.15$  K

$$v_1 = \frac{R_g T_1}{p_1} = \frac{287 \text{ J/(kg} \cdot \text{K)} \times 333.15 \text{ K}}{0.17 \times 10^6 \text{ Pa}} = 0.562 \text{ m}^3/\text{kg}$$

点2:  $v_2 = \frac{v_1}{\varepsilon} = \frac{0.562 \text{ m}^3/\text{kg}}{14.5} = 0.0387 \text{ m}^3/\text{kg}$



## 1-2是定熵过程，有



$$p_2 = p_1 \left( \frac{v_1}{v_2} \right)^\kappa = p_1 \varepsilon^\kappa = 0.17 \text{ MPa} \times 14.5^{1.4} = 7.18 \text{ MPa}$$

$$T_2 = \frac{p_2 v_2}{R_g} = \frac{7.18 \times 10^6 \text{ Pa} \times 0.0387 \text{ m}^3/\text{kg}}{287 \text{ J}/(\text{kg} \cdot \text{K})} = 968 \text{ K}$$

点3:  $p_3 = 10.3 \text{ MPa}$     $v_3 = v_2 = 0.0387 \text{ m}^3/\text{kg}$

$$T_3 = \frac{p_3 v_3}{R_g} = \frac{10.3 \times 10^6 \text{ Pa} \times 0.0387 \text{ m}^3/\text{kg}}{287 \text{ J}/(\text{kg} \cdot \text{K})} = 1389 \text{ K}$$

$$\lambda = \frac{p_3}{p_2} = \frac{10.3 \text{ MPa}}{7.18 \text{ MPa}} = 1.43$$

点4:  $p_4 = p_3 = 10.3 \text{ MPa},$     $q_1 = q_{2-3,V} + q_{3-4,p}$

$$q_{2-3,V} = c_v (T_3 - T_2) = 0.718 \text{ kJ}/(\text{kg} \cdot \text{K}) \times (1389 - 968) \text{ K} = 302 \text{ kJ/kg}$$

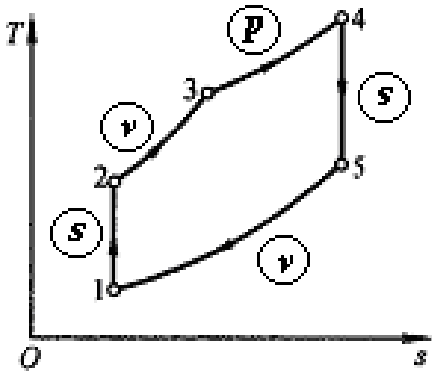
$$q_{3-4,p} = q_1 - q_{2-3,V} = 900 \text{ kJ/kg} - 302 \text{ kJ/kg} = 598 \text{ kJ/kg}$$

$$q_{3-4,p} = c_p (T_4 - T_3)$$

所以

$$T_4 = T_3 + \frac{q_{3-4,p}}{c_p} = 1389 \text{ K} + \frac{598 \text{ kJ/kg}}{1.004 \text{ kJ/(kg} \cdot \text{K)}} = 1985 \text{ K}$$

$$v_4 = \frac{R_g T_4}{p_4} = \frac{287 \text{ J/(kg} \cdot \text{K)} \times 1985 \text{ K}}{10.3 \times 10^6 \text{ Pa}} = 0.055 \text{ m}^3/\text{kg}$$



点5:  $v_5 = v_1 = 0.562 \text{ m}^3/\text{kg}$

$$p_5 = p_4 \left( \frac{v_4}{v_5} \right)^\kappa = 10.3 \text{ MPa} \times \left( \frac{0.055 \text{ m}^3/\text{kg}}{0.562 \text{ m}^3/\text{kg}} \right)^{1.4} = 0.398 \text{ MPa}$$

$$T_5 = \frac{p_5 v_5}{R_g} = \frac{0.398 \times 10^6 \text{ Pa} \times 0.562 \text{ m}^3/\text{kg}}{287 \text{ J/(kg} \cdot \text{K)}} = 779 \text{ K}$$



$$q_2 = c_v (T_5 - T_1) = 0.718 \text{ kJ}/(\text{kg} \cdot \text{K}) \times (779 - 333) \text{ K} = 320 \text{ kJ/kg}$$

$$w_{\text{net}} = q_1 - q_2 = 900 \text{ kJ/kg} - 320 \text{ kJ/kg} = 580 \text{ kJ/kg}$$

$$\eta_t = \frac{w_{\text{net}}}{q_1} = \frac{580 \text{ kJ/kg}}{900 \text{ kJ/kg}} = 0.644$$

## (2) 循环的炯效率

$$\eta_{e_x} = \frac{\text{收益火用}}{\text{代价火用}} = \frac{w_{\text{net}}}{e_{x,Q}}$$

关键是确定吸热量的热量炯

$$e_{x,Q} = e_{x,Q_{2-3}} + e_{x,Q_{3-4}} = \int_2^3 \left(1 - \frac{T_0}{T}\right) c_v dT + \int_3^4 \left(1 - \frac{T_0}{T}\right) c_p dT$$

## 循环吸热量中的焓:



$$\begin{aligned} e_{x,Q} &= e_{x,Q_{2-3}} + e_{x,Q_{3-4}} = \int_2^3 \left(1 - \frac{T_0}{T}\right) c_v dT + \int_3^4 \left(1 - \frac{T_0}{T}\right) c_p dT \\ &= c_v (T_3 - T_2) - c_v T_0 \ln \frac{T_3}{T_2} + c_p (T_4 - T_3) - c_p T_0 \ln \frac{T_4}{T_3} \\ &= 302 - 0.718 \times 293 \times \ln \frac{1389}{968} + 598 - 1.004 \times 293 \times \ln \frac{1985}{1389} \\ &= 719.0 \text{ kJ/kg} \end{aligned}$$

## 循环焓效率

$$\eta_{e_x} = \frac{w_{\text{net}}}{e_{x,Q}} = \frac{580.0 \text{ kJ/kg}}{719.0 \text{ kJ/kg}} = 0.807$$



# 总结循环分析的步骤

1、画出循环过程图 $T-s$ 图、 $p-v$ 图、 $\log p-h$ 图。

2、根据过程特点，确定各状态点的状态参数

**注意区分：工质的性质**

理想气体：过程方程+状态方程

实际气体：查图或查表的方法

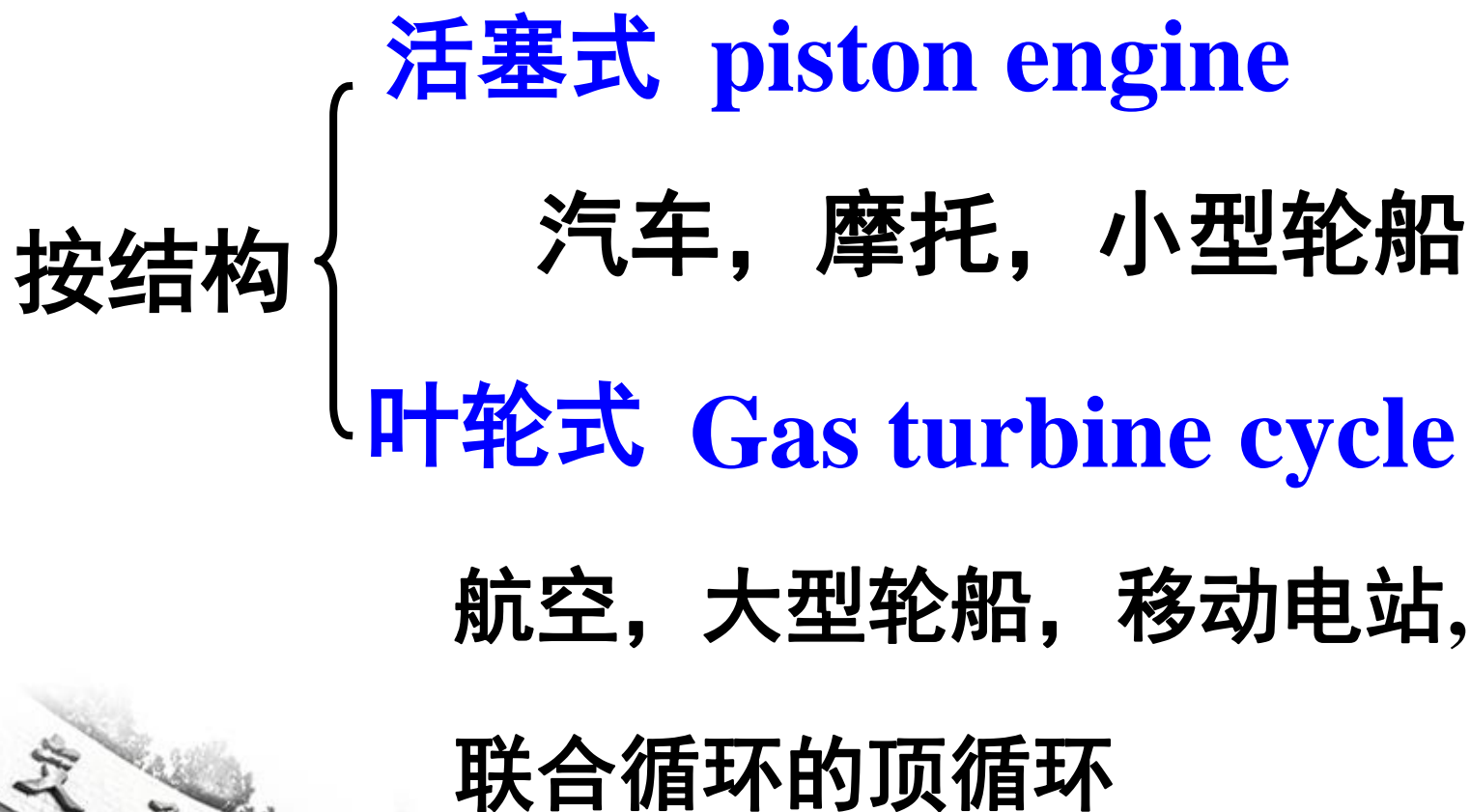
3、计算循环中的热量、功量、效率及实际过程的有效能损失



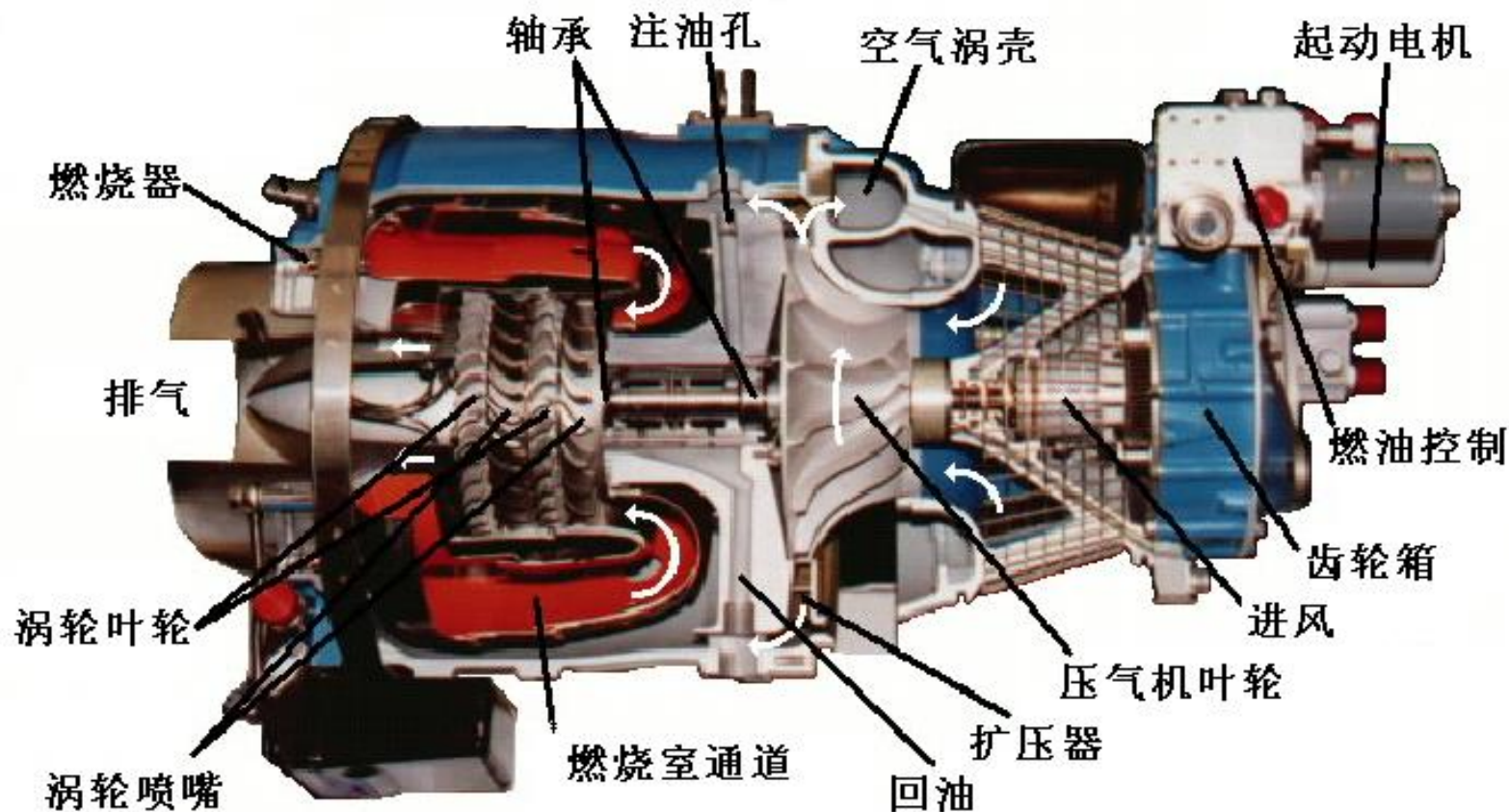
# 气体动力循环分类



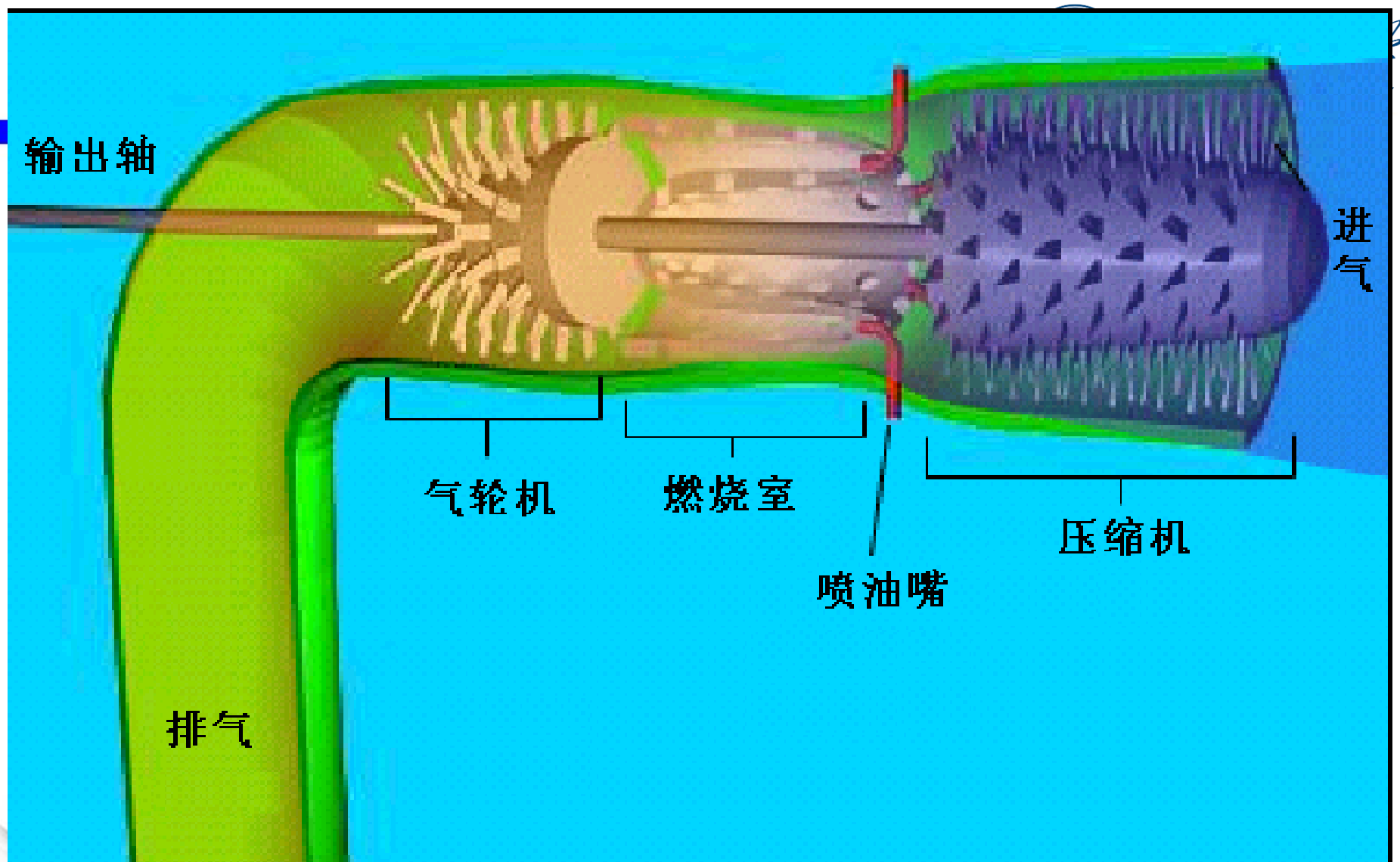
西安交通大学  
XI'AN JIAOTONG UNIVERSITY



## 一、燃气轮机(gas turbine)装置简介

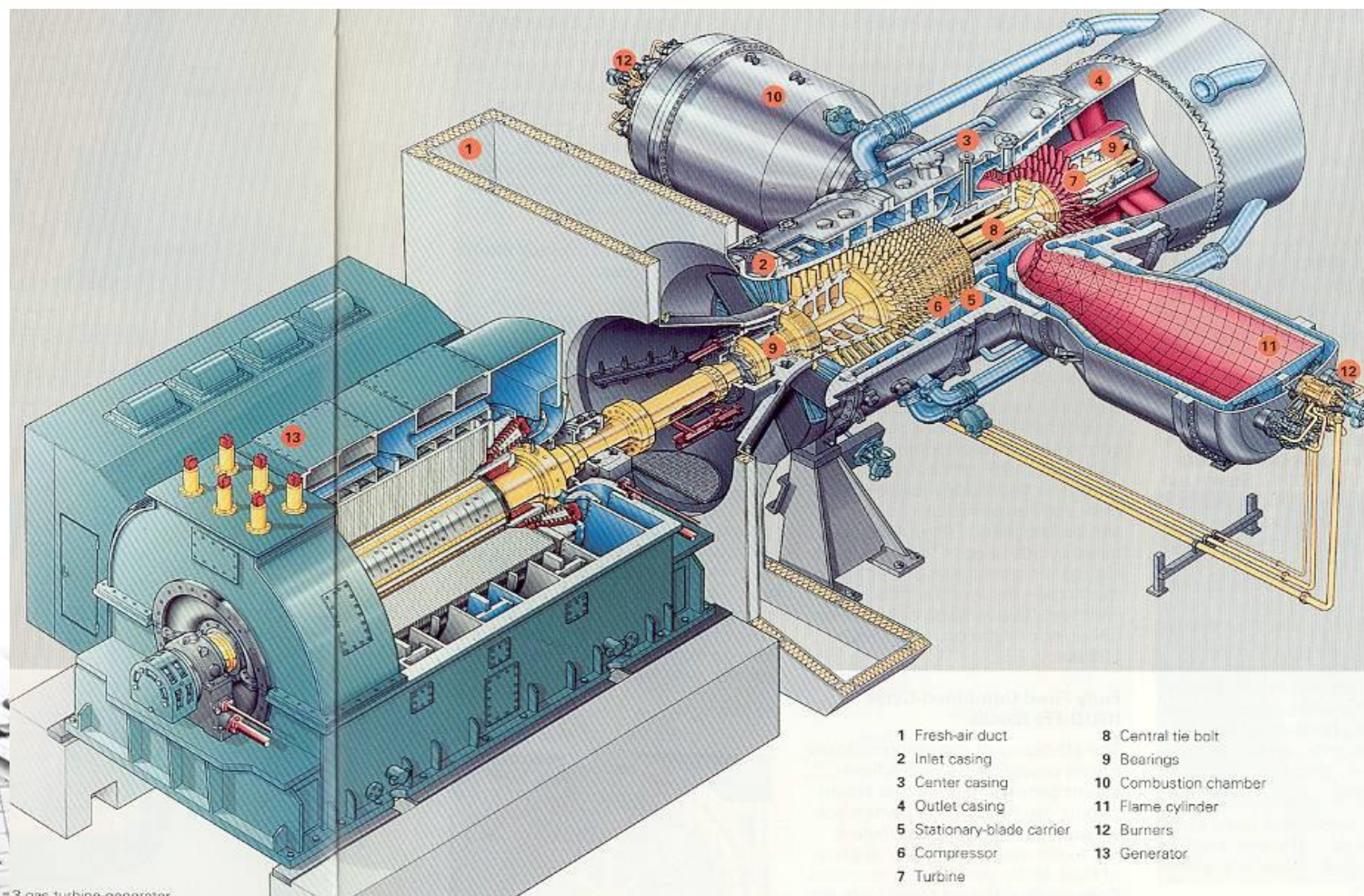


小型燃气轮机



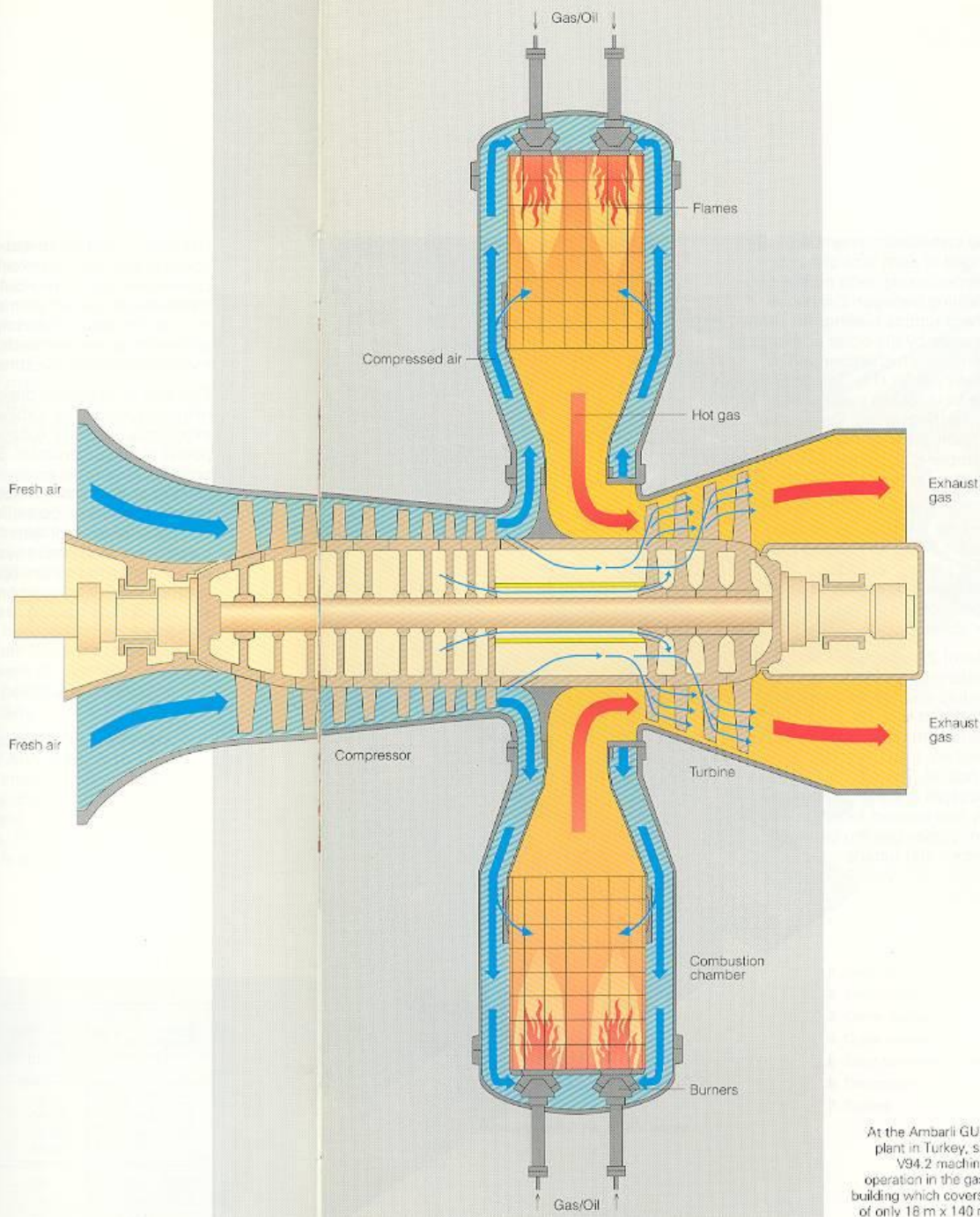
轴流式燃气轮机





Gas turbine-generator





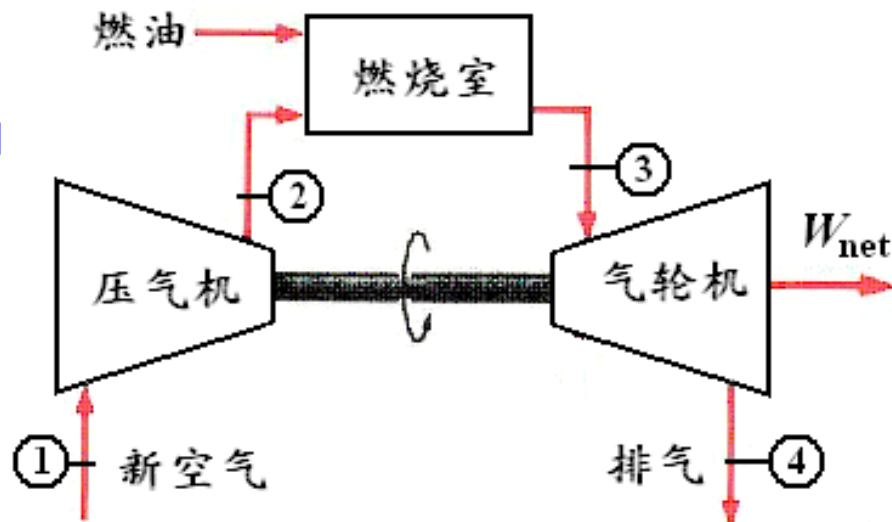
At the Ambarli GUC plant in Turkey, six V94.2 machine operation in the gas building which covers of only 18 m x 140 m

# 构成

压气机(compressor)

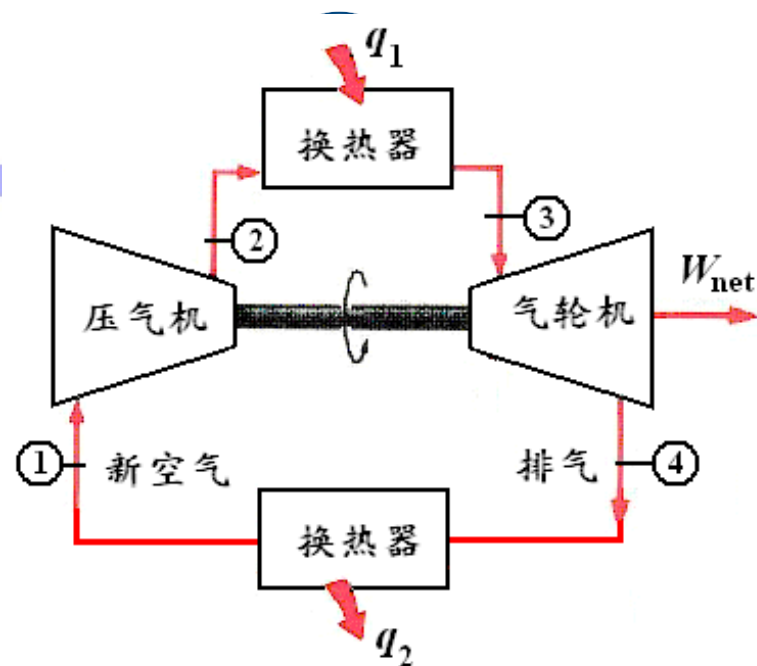
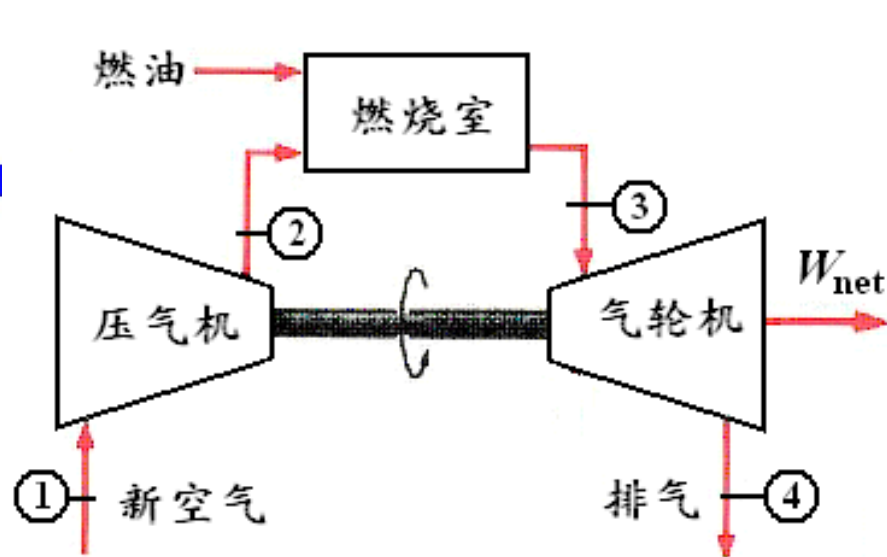
燃烧室(combustion chamber)

燃气轮机(gas turbine)



## 特点

1. 开式循环(open cycle), 工质流入和流出;
2. 运转平稳, 连续输出功 (叶轮式机械的共同特点) ;
3. 启动快, 达满负荷快;
4. 燃气轮机产生的功率大部分被压气机消耗, 但由于设备简单、重量轻, 重量功率比仍较大。



引入**空气标准假设**进行抽象、概括：

- 1) 把实际工质简化为空气，且作理想气体处理，比热容取定值；
- 2) 压缩和膨胀过程中忽略换热和摩擦损失，简化为可逆绝热过程；
- 3) 燃料燃烧加热过程，简化为工质从高温热源可逆等压吸热过程；
- 4) 把排气过程简化成向低温热源可逆定压放热过程；
- 5) 进排气过程相互重合抵消，循环变成闭式循环。



## 二、定压加热理想循环

1-2 等熵压缩（压气机内）

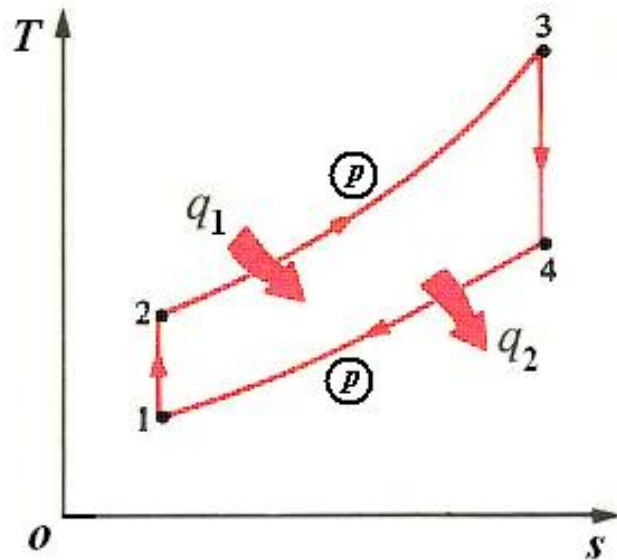
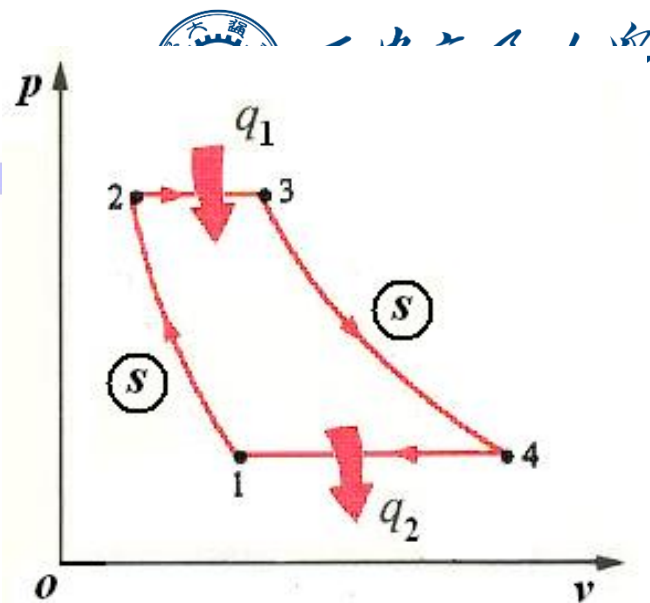
循环增压比  
(pressure ratio)  $\pi = \frac{p_2}{p_1}$

2-3 定压吸热（燃烧室内）

循环增温比  
(temperature ratio)  $\tau = \frac{T_3}{T_1}$

3-4 等熵膨胀（燃气轮机内）

4-1 定压放热（排气，假想换热器）



### 三、定压加热理想循环分析



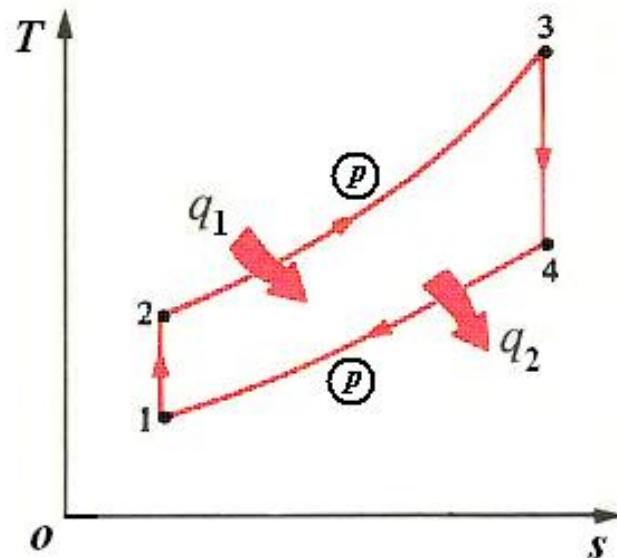
#### 1. 热效率 $\eta_t$

$$q_1 = h_3 - h_2 = c_{pm} \Big|_{t_2}^{t_3} (T_3 - T_2) = c_p (T_3 - T_2)$$

$$q_2 = h_4 - h_1 = c_{pm} \Big|_{t_1}^{t_4} (T_4 - T_1) = c_p (T_4 - T_1)$$

$$\eta_t = 1 - \frac{q_2}{q_1} = 1 - \frac{T_4 - T_1}{T_3 - T_2}$$

$$\left. \begin{aligned} \because T_4 &= T_3 \left( \frac{p_4}{p_3} \right)^{\frac{\kappa-1}{\kappa}} \\ T_1 &= T_2 \left( \frac{p_1}{p_2} \right)^{\frac{\kappa-1}{\kappa}} \end{aligned} \right\} \begin{aligned} p_4 &= p_1 \\ p_3 &= p_2 \end{aligned} \Rightarrow \frac{T_4}{T_3} = \frac{T_1}{T_2} \Rightarrow \frac{T_4 - T_1}{T_3 - T_2} = \frac{T_1}{T_2}$$



$$\therefore \eta_t = 1 - \frac{T_1}{T_2} = 1 - \frac{1}{\pi^{\frac{\kappa}{\kappa-1}}}$$

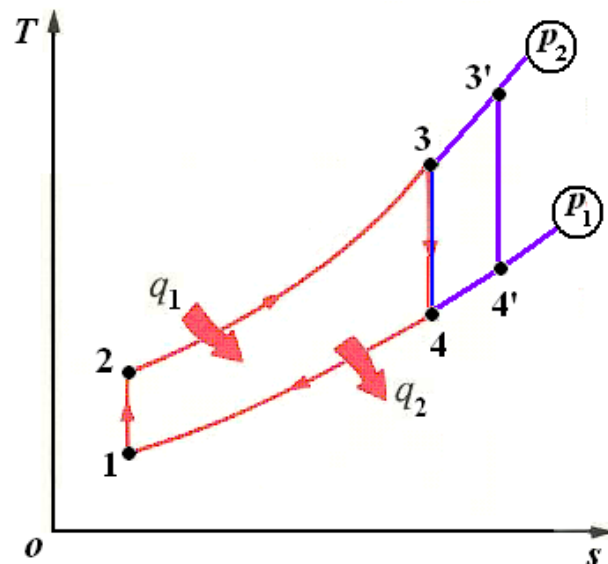
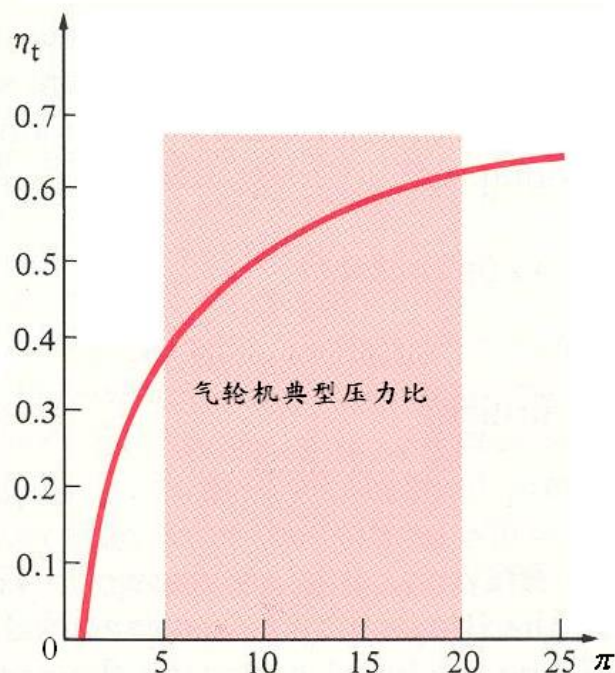
注意：式中 $T_1$ 、 $T_2$ 并非指高温热源，低温热源。

## 2.分析

$$\eta_t = 1 - \frac{T_1}{T_2} = 1 - \frac{1}{\pi^{\frac{\kappa}{\kappa-1}}} \quad \eta_t = 1 - \frac{T_2}{T_1}$$

a)  $\pi \uparrow \quad \eta_t \uparrow \quad \eta_t$ 与 $T_3$ 无关

b)  $\pi$ 一定  $\tau \uparrow \quad q_1 \uparrow \quad w_{\text{net}} \uparrow \quad \eta_t$ 不变



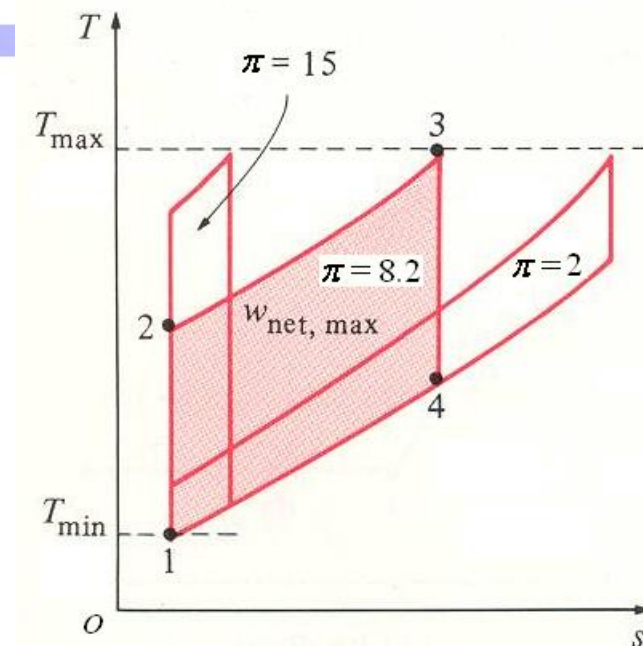
c)  $\tau$ 一定,  $\pi$ 取某值  $w_{\text{net}} \rightarrow w_{\text{max}}$

$$w_{\text{net}} = q_1 - q_2$$

$$= c_p [(T_3 - T_2) - (T_4 - T_1)]$$

$$= c_p T_1 \left[ \frac{\tau \left( \pi^{\frac{\kappa-1}{\kappa}} - 1 \right)}{\pi^{\frac{\kappa-1}{\kappa}}} - \left( \pi^{\frac{\kappa-1}{\kappa}} - 1 \right) \right]$$

$$\frac{\delta w_{\text{net}}}{d\pi} = 0 \xrightarrow{\text{red arrow}} \pi = \tau^{\frac{\kappa}{2(\kappa-1)}} \xrightarrow{\text{red arrow}} w_{\text{net}} \rightarrow w_{\text{net,max}}$$



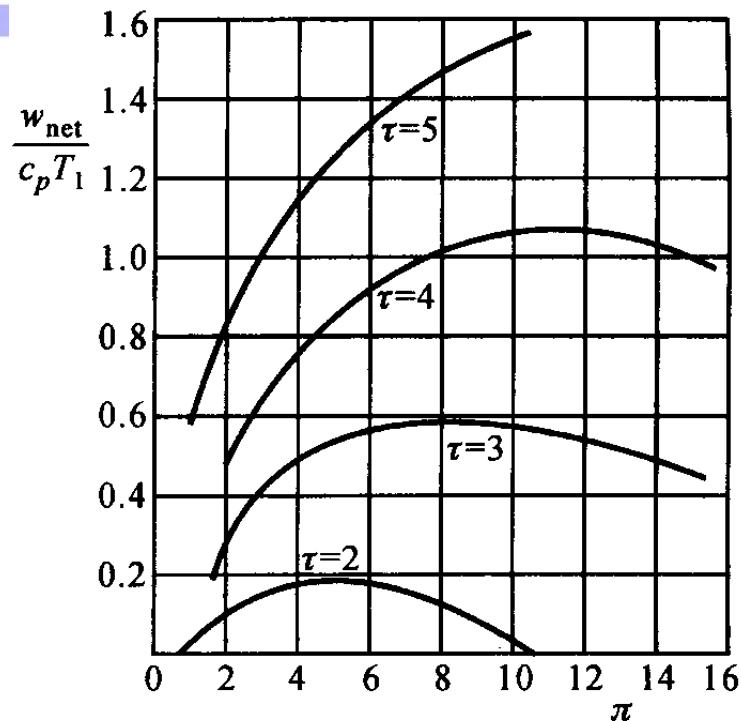


## d) $w_{\text{net}}$ 与 $\tau$ 及 $\pi$ 的关系

$$\text{由 c) } w_{\text{net}} = c_p T_1 \left( \pi^{\frac{\kappa-1}{\kappa}} - 1 \right) \left( \frac{\tau}{\pi^{\frac{\kappa-1}{\kappa}}} - 1 \right)$$

可见：

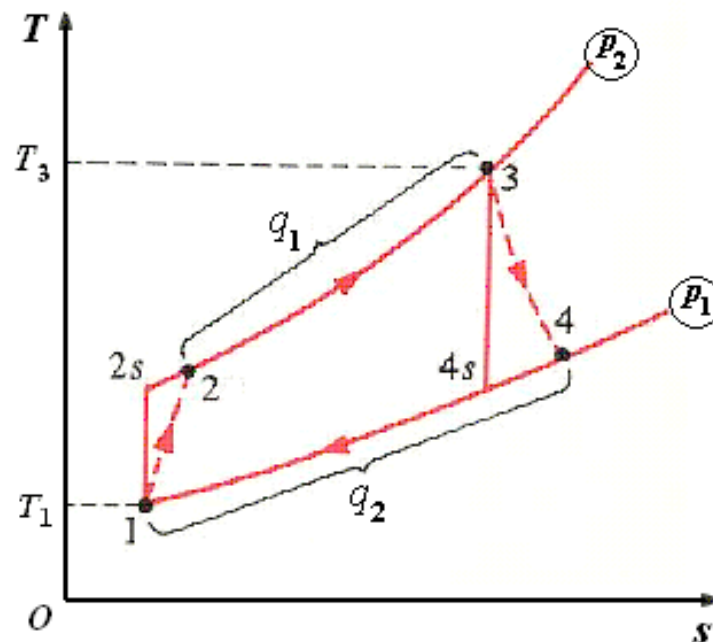
- 1) 对于任一  $\tau$ ，均有  $\pi$ ，使  $w \rightarrow w_{\text{net,max}}$
- 2)  $\tau$  上升，即  $T_3$  上升，使取得  $w_{\text{net,max}}$  的  $\pi$  上升， $\eta_t$  上升，所以提高  $T_3$  能带动  $w_{\text{net,max}}$  及  $\eta_t$  同时升高（ $\pi_{\text{opt}}$ ）。



在材料强度许可的前提下，尽可能提高  $T_3$ ，有利于提高燃气轮机的比功率。

## 一、定压加热的实际循环

- 1-2 不可逆绝热压缩，熵增；
- 2-3 定压吸热；
- 3-4 不可逆绝热膨胀，熵增；
- 4-1 定压放热。



## 二、压气机绝热效率和燃气轮机相对内效率

压气机绝热效率:  $\eta_{C,s} = \frac{w_{C,s}}{w'_C} = \frac{h_{2s} - h_1}{h_2 - h_1}$

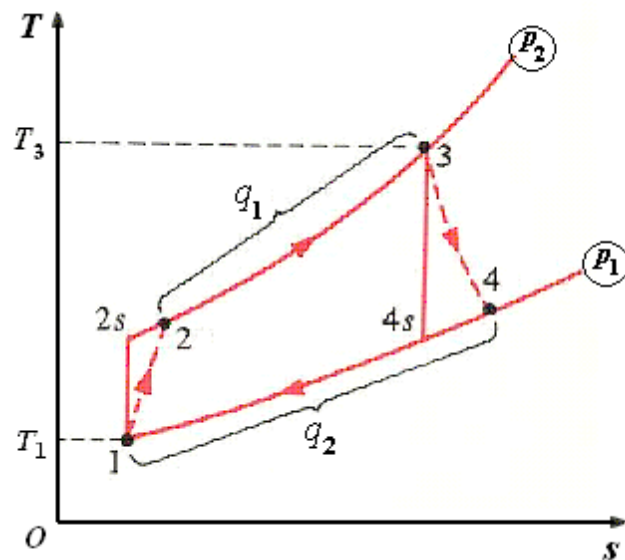
$$w'_C = (h_2 - h_1) = \frac{w_{C,s}}{\eta_{C,s}} = \frac{1}{\eta_{C,s}} (h_{2s} - h_1)$$

$$h_2 = h_1 + \frac{1}{\eta_{C,s}} (h_{2s} - h_1)$$

燃气轮机相对内效率:  $\eta_T = \frac{w'_{t,T}}{w_{t,T}} = \frac{h_3 - h_4}{h_3 - h_{4s}}$

$$w'_{t,T} = h_3 - h_4 = w_{t,T} \eta_T = \eta_T (h_3 - h_{4s})$$

$$h_4 = h_3 - \eta_T (h_3 - h_{4s})$$



### 三、燃气轮机装置的内部热效率

$$\eta_i = \frac{w'_{\text{net}}}{q'_1}$$

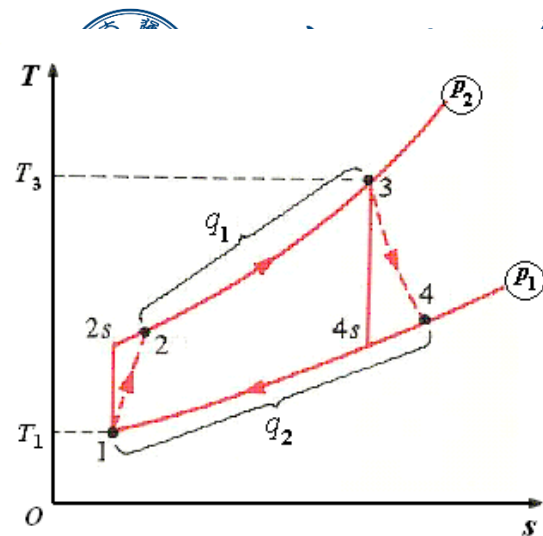
$$w'_{\text{net}} = w'_{t,T} - w'_C$$

$$= \eta_T (h_3 - h_{4_s}) - \frac{1}{\eta_{Cs}} (h_{2_s} - h_1)$$

$$q'_1 = h_3 - h_2 = h_3 - h_1 - \frac{1}{\eta_{Cs}} (h_{2_s} - h_1)$$

**整理**

$$\eta_i = \frac{\eta_T (h_3 - h_{4_s}) - \frac{1}{\eta_{Cs}} (h_{2_s} - h_1)}{h_3 - h_1 - \frac{1}{\eta_{Cs}} (h_{2_s} - h_1)} = \frac{\eta_T \frac{\tau}{\pi^{\frac{\kappa-1}{\kappa}}} - \frac{1}{\eta_{Cs}}}{\frac{\tau-1}{\pi^{\frac{\kappa-1}{\kappa}}} - \frac{1}{\eta_{Cs}}}$$







$$\eta_i = \frac{\eta_T (h_3 - h_{4_s}) - \frac{1}{\eta_{Cs}} (h_{2_s} - h_1)}{h_3 - h_1 - \frac{1}{\eta_{Cs}} (h_{2_s} - h_1)} = \frac{\eta_T \frac{\tau}{\pi^{\frac{\kappa-1}{\kappa}}} - \frac{1}{\eta_{Cs}}}{\frac{\tau-1}{\pi^{\frac{\kappa-1}{\kappa}}} - \frac{1}{\eta_{Cs}}}$$

## 讨论:

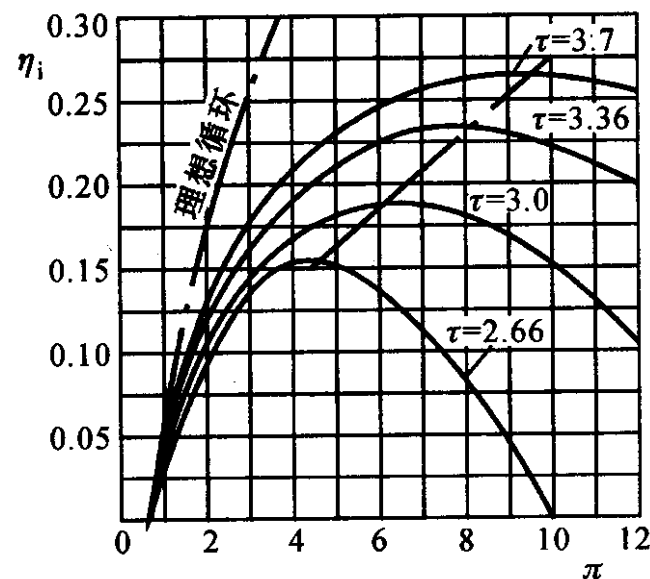
a) 除  $\pi$ 、 $\tau$  外,  $\eta_i$  还与  $\eta_{Cs}$ 、 $\eta_T$  有关

$$\eta_T \uparrow \eta_{Cs} \uparrow \Rightarrow \eta_i \uparrow$$

目前  $\eta_T = 0.85 \sim 0.92$ ,  $\eta_{Cs} = 0.85 \sim 0.90$

b)  $\pi$  一定时,  $\tau \uparrow, \eta_i \uparrow$

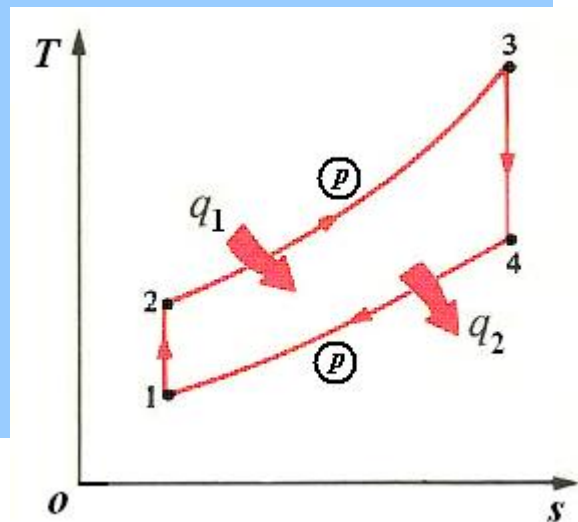
c)  $\pi \uparrow, \eta_i \uparrow$  但有极值



而且, 极值随循环增温比的增大而增大, 因此, 增大  $\tau$  是提高燃气轮机装置实际热效率的主要方向。

**例题2：**空气标准布雷顿循环，进入压气机的空气 $p_1=0.1\text{MPa}$ 、 $t_1=20^\circ\text{C}$ ，离开压气机的空气压力 $p_2=0.5\text{MPa}$ ，循环最高温度 $t_3=1000^\circ\text{C}$ 。试求：

- (1) 循环各点状态参数（压力、温度）
- (2) 压气机耗功 $w_c$ 和燃气轮机做功 $w_T$
- (3) 循环热效率
- (4) 若燃气轮机相对内效率为0.9，此时循环热效率



解 (1) 做出循环坐标图

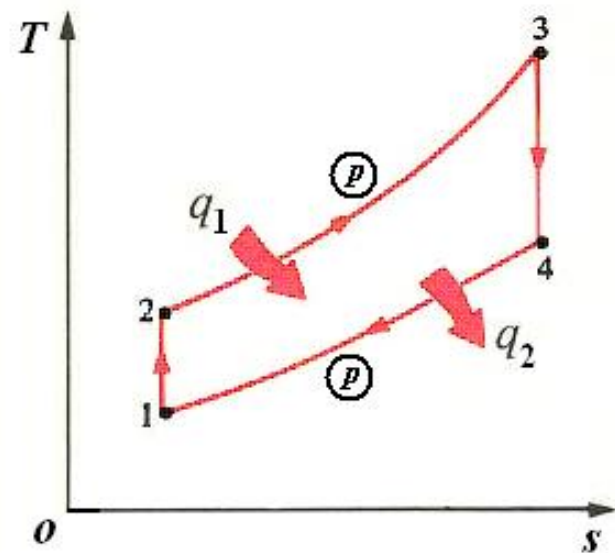
(2) 求循环各状态点的状态参数（压力和温度）

**状态点1**（压气机入口）： $p_1=0.1\text{MPa}$ 、 $t_1=20^\circ\text{C}$ ， $T=293\text{K}$ （已知）

**状态点2**（压气机出口）： $p_2=0.5\text{MPa}$ （已知），1-2定熵过程

由定熵过程的过程方程，得：

$$T_2 = T_1 \left( \frac{p_2}{p_1} \right)^{\frac{\kappa-1}{\kappa}} = 293 \times \left( \frac{0.5}{0.1} \right)^{\frac{1.4-1}{1.4}} = 464.5 \text{ K}$$



**状态点3**（气轮机进口）：

$T_3=1000+273=1273\text{K}$ （已知），2-3定压过程

$$p_3 = p_2 = 0.5 \text{ MPa}$$

**状态点4**（气轮机出口）：

4-1定压过程， $p_4=p_1=0.1\text{MPa}$ （已知），3-4 定熵过程

$$T_4 = T_3 \left( \frac{p_4}{p_3} \right)^{\frac{\kappa-1}{\kappa}} = 1273 \times \left( \frac{0.1}{0.5} \right)^{\frac{1.4-1}{1.4}} = 803.5 \text{ K}$$

**(2) 压气机耗功 $w_c$ 和燃气轮机做功 $w_T$**

$$w_c = h_2 - h_1 = c_p (T_2 - T_1) = 1.004 \times (464.5 - 293) = 172 \text{ kJ/kg}$$

$$w_T = h_3 - h_4 = c_p (T_3 - T_4) = 1.004 \times (1273 - 803.5) = 471.5 \text{ kJ/kg}$$

### (3) 循环热效率

$$\eta_t = \frac{w_{\text{net}}}{q_1} = \frac{q_1 - q_2}{q_1} = 1 - \frac{q_2}{q_1}$$



$$q_1 = h_3 - h_2 = c_p (T_3 - T_2) = 1.004 \times (1273 - 464.5) = 811.9 \text{ kJ/kg}$$

$$w_{\text{net}} = w_T - w_c = (471.5 - 172) \text{ kJ/kg} = 299.5 \text{ kJ/kg}$$

$$\eta_t = \frac{w_{\text{net}}}{q_1} = \frac{299.5}{811.9} = 37\%$$

### (4) 若燃气轮机相对内效率为0.9，此时循环热效率

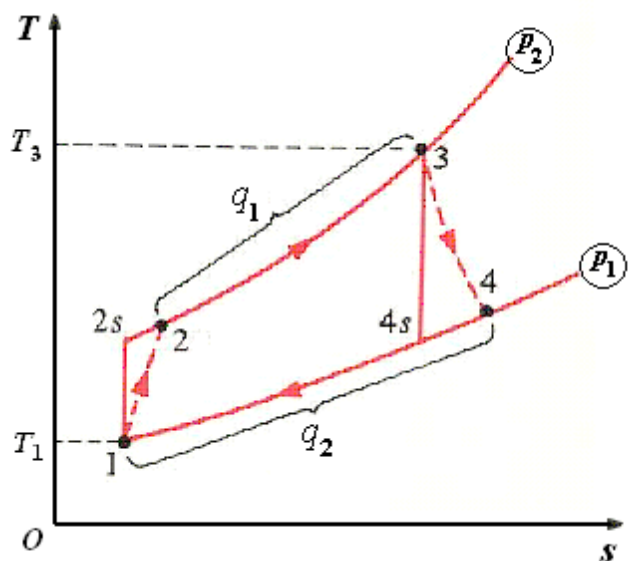
$$w'_T = \eta_T w_T = 0.9 \times 471.5 = 424.35 \text{ kJ/kg}$$

$$\eta'_t = \frac{w'_{\text{net}}}{q_1} = \frac{w'_T - w_c}{q_1} = \frac{424.35 - 172}{811.9} = 30.8\%$$



**例题3：**某燃气轮机装置定压加热循环，循环增压比 $\pi=7$ ，增温比 $\tau=4$ ，压气机吸入空气压力 $p_1=0.8\text{MPa}$ ， $t_1=17^\circ\text{C}$ 。压气机绝热效率 $\eta_{Cs}=0.90$ ，燃机轮机相对内效率 $\eta_T=0.92$ ，若空气取定比热，其 $c_p=1.03\text{ kJ/(kg K)}$ ， $R_g=0.287\text{ kJ/(kg K)}$ ， $\kappa=1.3863$ 。

求：循环吸热量 $q_1$ ，放热量 $q_2$ ，循环净功及装置内部热效率 $\eta_i$ ；



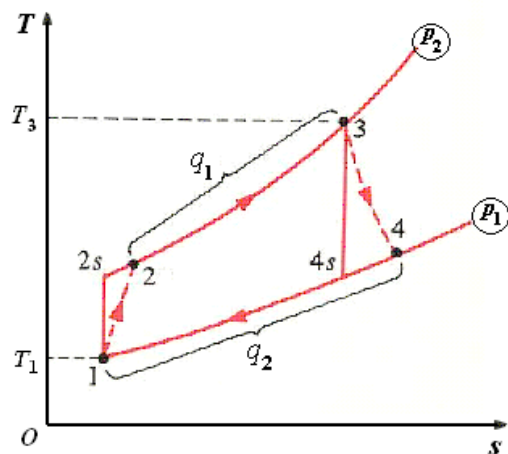
$$p_2 = \pi p_1 = 7 \times 0.8 \text{ MPa} = 5.6 \text{ MPa}$$

$$T_{2s} = T_1 \left( \frac{p_2}{p_1} \right)^{\frac{\kappa-1}{\kappa}} = T_1 \pi^{\frac{\kappa-1}{\kappa}}$$

$$= 290 \text{ K} \times 7^{\frac{1.3868-1}{1.3868}} = 498.76 \text{ K}$$

$$h_2 = h_1 + \frac{1}{\eta_{Cs}} (h_{2s} - h_1)$$

$$T_2 = T_1 + \frac{T_{2s} - T_1}{\eta_{Cs}} = 290 \text{ K} + \frac{(498.76 - 290) \text{ K}}{0.90} = 521.95 \text{ K}$$

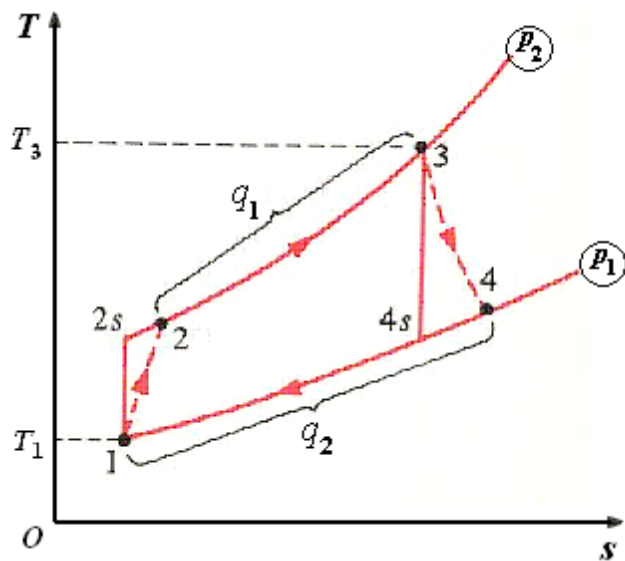


$$T_3 = \tau T_1 = 4 \times 290 \text{ K} = 1160 \text{ K}$$

$$T_{4s} = T_3 \left( \frac{p_4}{p_3} \right)^{\frac{\kappa-1}{\kappa}} = T_3 \left( \frac{1}{\pi} \right)^{\frac{\kappa-1}{\kappa}} = 1160 \text{ K} \times \left( \frac{1}{7} \right)^{\frac{1.3868-1}{1.3868}} = 674.48 \text{ K}$$

$$T_4 = T_3 - \eta_T (T_3 - T_{4s}) = 1160 \text{ K} - 0.92 \times (1160 - 674.48) \text{ K} = 713.32 \text{ K}$$

$$\begin{aligned} q_1 &= c_p (T_3 - T_2) \\ &= 1.03 \text{ J/(kg} \cdot \text{K)} \times (1160 - 521.95) \text{ K} \\ &= 657.19 \text{ kJ/kg} \end{aligned}$$



$$\begin{aligned} q_2 &= c_p (T_4 - T_1) \\ &= 1.03 \text{ kJ/(kg} \cdot \text{K)} \times (713.32 - 290) \text{ K} \\ &= 436.02 \text{ kJ/kg} \end{aligned}$$

$$\eta_i = 1 - \frac{q_2}{q_1} = 1 - \frac{436.02 \text{ kJ/kg}}{657.19 \text{ kJ/kg}} = 33.65\%$$

$$w_{\text{net}} = \eta_i q_1 = 0.3365 \times 657.19 \text{ kJ/kg} = 221.14 \text{ kJ/kg}$$

$$w_{\text{net}} = q_{\text{net}} = q_1 - q_2 = 657.19 - 436.02 \text{ kJ/kg} = 221.17 \text{ kJ/kg}$$

# 总结循环分析的步骤

- 1、画出循环过程图 $T-s$ 图、 $p-v$ 图、 $\log p-h$ 图。
- 2、根据过程特点，确定各状态点的状态参数

注意区分：工质的性质

理想气体：过程方程+状态方程

实际气体：查表或查图的方法

- 3、计算循环中的热量、功量、效率及实际过程的有效能损失





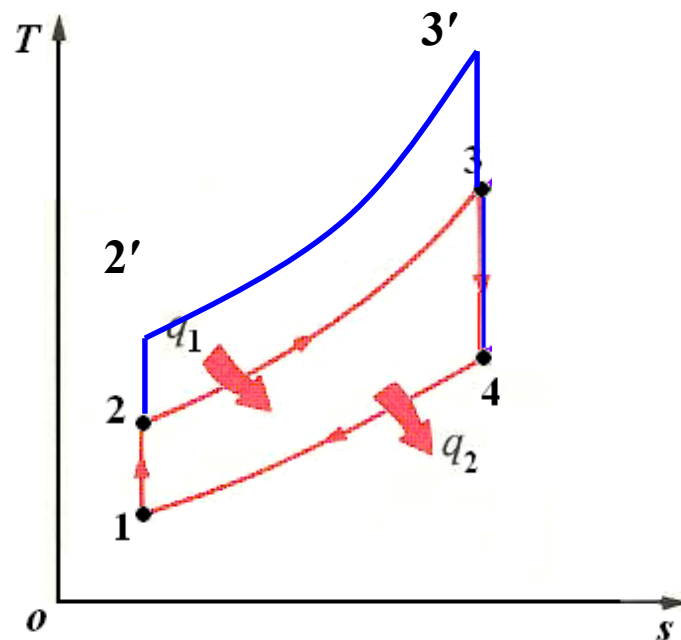
# 燃气轮机装置的定压加热理想循环



$$\eta_t = 1 - \frac{T_1}{T_2} = 1 - \frac{1}{\pi^{\frac{\kappa-1}{\kappa}}}$$

循环增压比  $\pi = \frac{p_2}{p_1}$

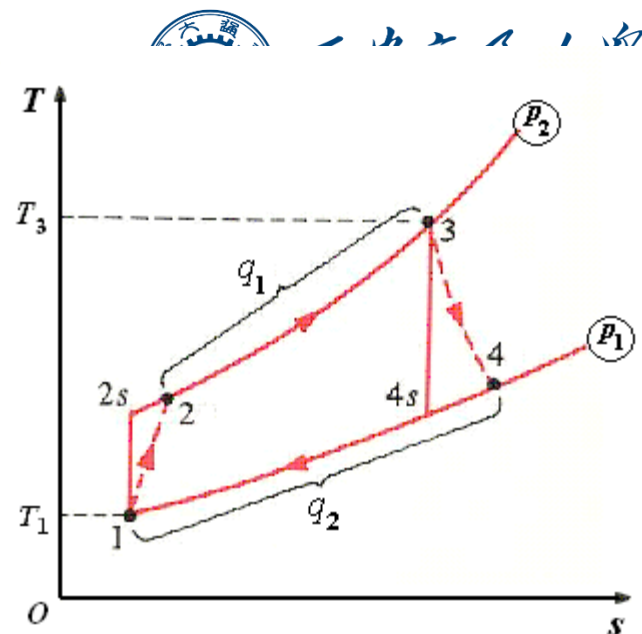
循环增压比越高，循环热效率越高



但是随着循环增压比的增加，燃气轮机的进口（3点）压力和温度均升高，对设备的耐压性和耐高温性提出了更高要求，因此，增压比的增加受到设备耐压和耐温性能的限制。

## 对于实际循环

$$\eta_i = \frac{\eta_T (h_3 - h_{4_s}) - \frac{1}{\eta_{Cs}} (h_{2_s} - h_1)}{h_3 - h_1 - \frac{1}{\eta_{Cs}} (h_{2_s} - h_1)} = \frac{\eta_T \frac{\tau}{\pi^{\frac{\kappa-1}{\kappa}}} - \frac{1}{\eta_{Cs}}}{\frac{\tau-1}{\pi^{\frac{\kappa-1}{\kappa}}} - \frac{1}{\eta_{Cs}}}$$



提高  $\eta_i$   $\left\{ \begin{array}{l} \tau \uparrow \text{ 受材料耐热限制} \\ \pi \text{ 取最佳} \end{array} \right.$

有无其它途径?

## 9-8 提高燃气轮机装置热效率的热力学措施

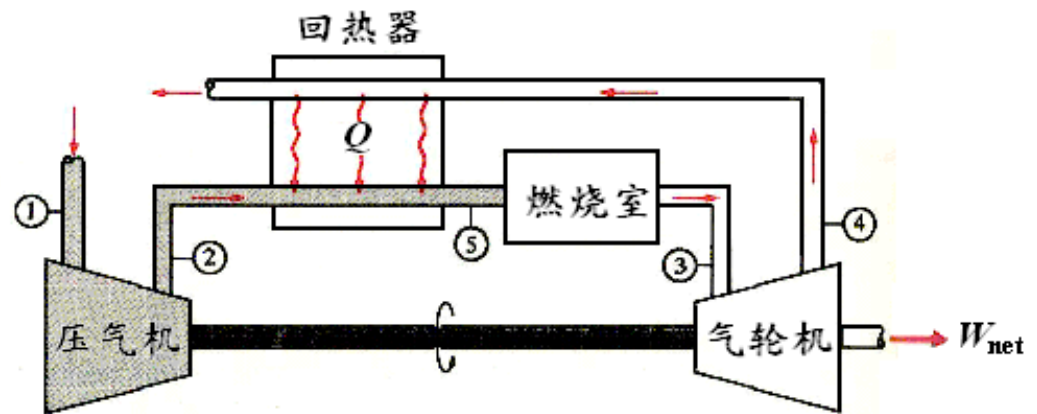
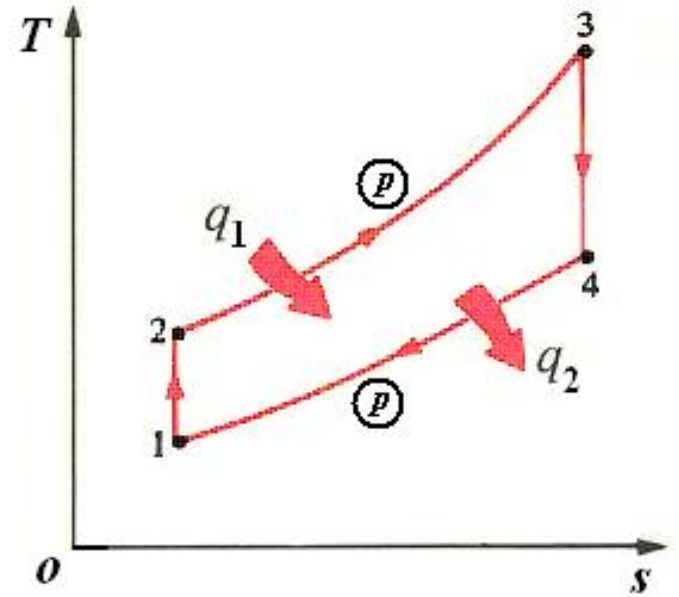
### 一、回热 (regeneration)

$T_4$  在  $500\text{ }^{\circ}\text{C}$  左右

若使  $T_4 \downarrow \rightarrow p_4 \downarrow$  不可能

如果  $T_4 > T_2$

预热空气，回热



## 理想回热： 5 6

**实际回热: 7 8**

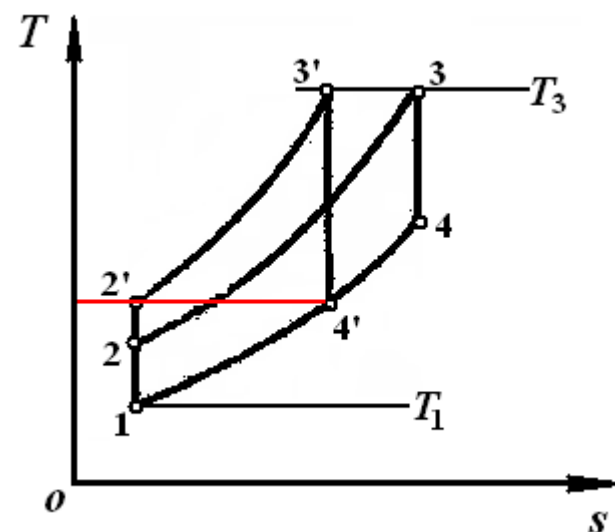
## 定义：回热度 Effectiveness

## 一般取0.6~0.9

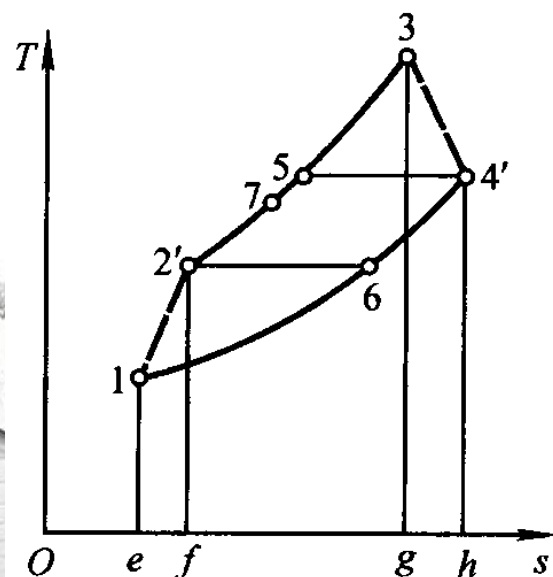
$$\eta_{\text{t回}} = \frac{w_{\text{淨}}}{q_1} > \eta_{\text{t簡}}$$



**注意：**  $\pi$  达一定值，回热不能进行。



**实际循环的回热**



$$\sigma' = \frac{h_7 - h_{2'}}{h_5 - h_{2'}} = \frac{h_7 - h_{2'}}{h_{4'} - h_6}$$

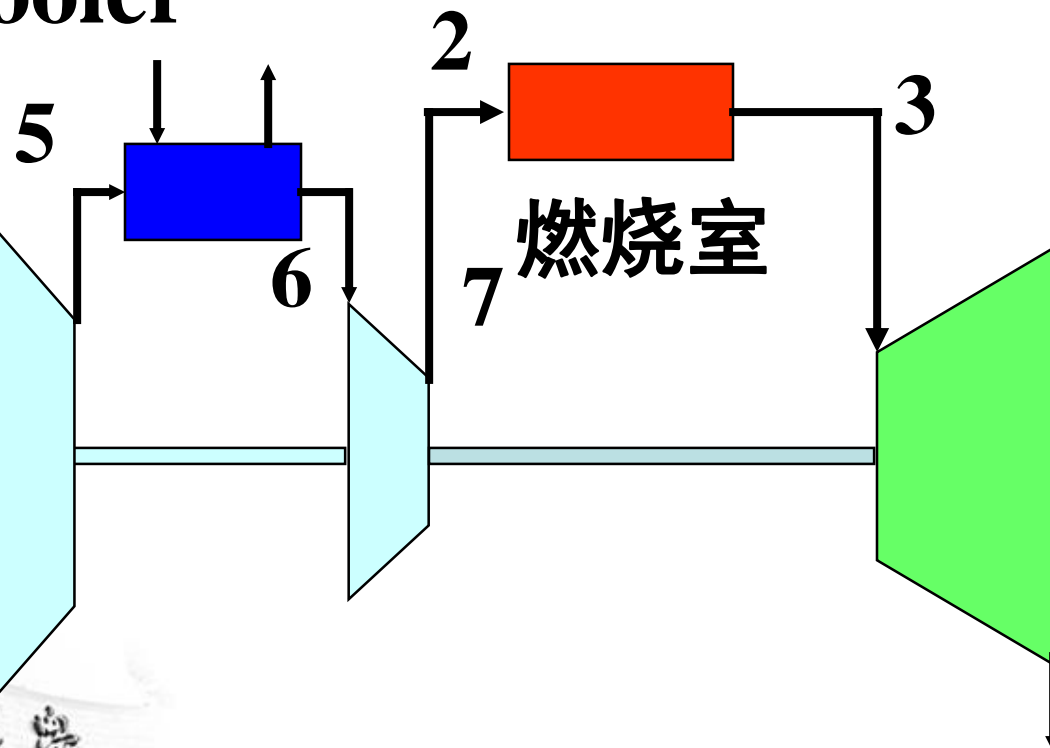
## 二、回热基础上分级压缩，中间冷却



### 分级压缩中间冷却的图示

Intercooler

间冷器

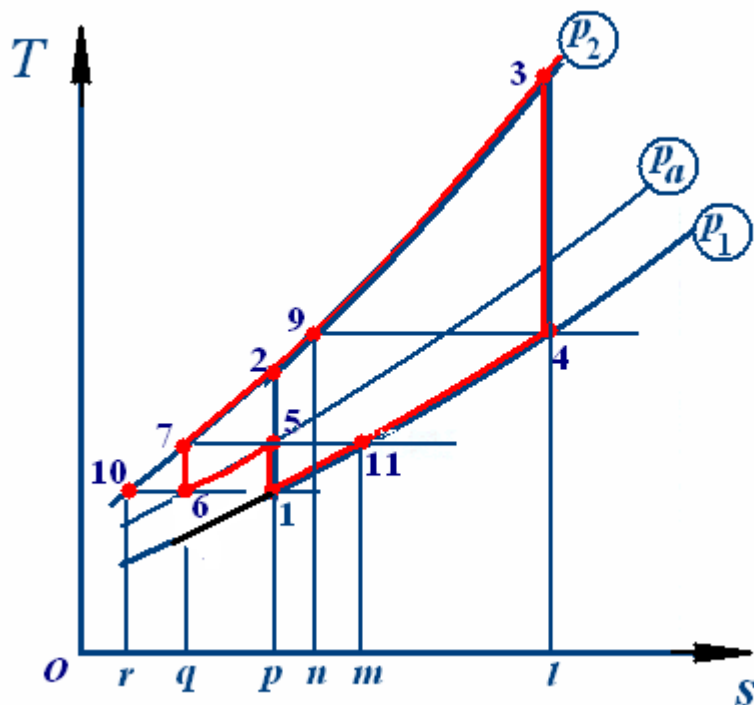


燃气轮机

4

压气机

如果没有回热，采用分级压缩，中间冷却后



$$\eta_{t, \text{中冷}} = \frac{w_{\text{净}}}{q_1}$$

$$\text{循环12341: } \eta_t = 1 - \frac{1}{\pi^{\frac{\kappa-1}{\kappa}}}$$

$$\text{循环1567341: } \left\{ \begin{array}{l} \text{循环12341} \\ + \\ \text{循环67256} \end{array} \right.$$

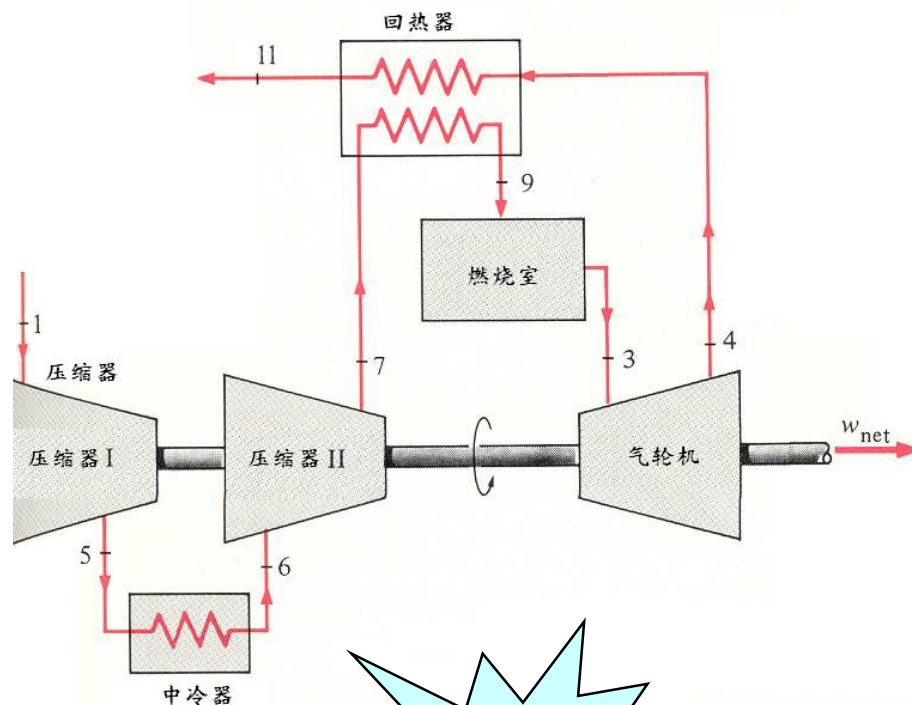
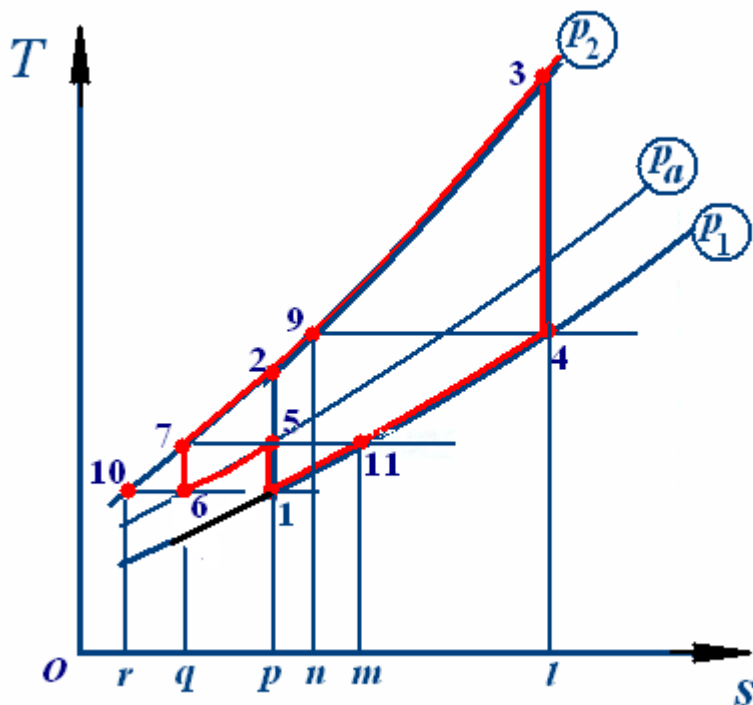
$$\text{循环67256: } \eta'_t = 1 - \frac{1}{\pi_1^{\frac{\kappa-1}{\kappa}}} < \eta_t$$

**结论:**

$$w_{\text{中冷}} > w_{\text{简}}$$

$$\eta_{t, \text{中冷}} < \eta_{t \text{简}}$$

# 回热基础上分级压缩中间冷却



**结论:**

$$w_{\text{net},1567341} > w_{\text{net},12341}$$

$$q_{1,1567341} = q_{1,12341}$$

$$\therefore \eta_{t,1567341} > \eta_{t,12341}$$

$$w_{\text{中冷}} > w_{\text{简}}$$

$$\eta_{t, \text{中冷}} > \eta_{t \text{简}}$$

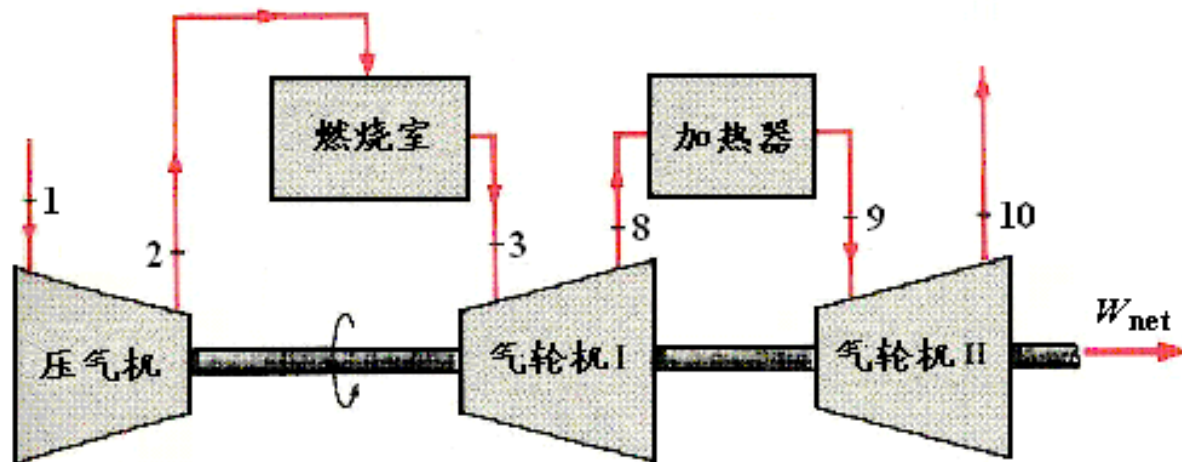


### 三、回热基础上分级膨胀，中间加热



若无回热

$$\left. \begin{aligned} \eta_{t,12341} &= \eta_{t,127101} \\ \eta_{t,1238910} &< \eta_{t,127101} \end{aligned} \right\}$$



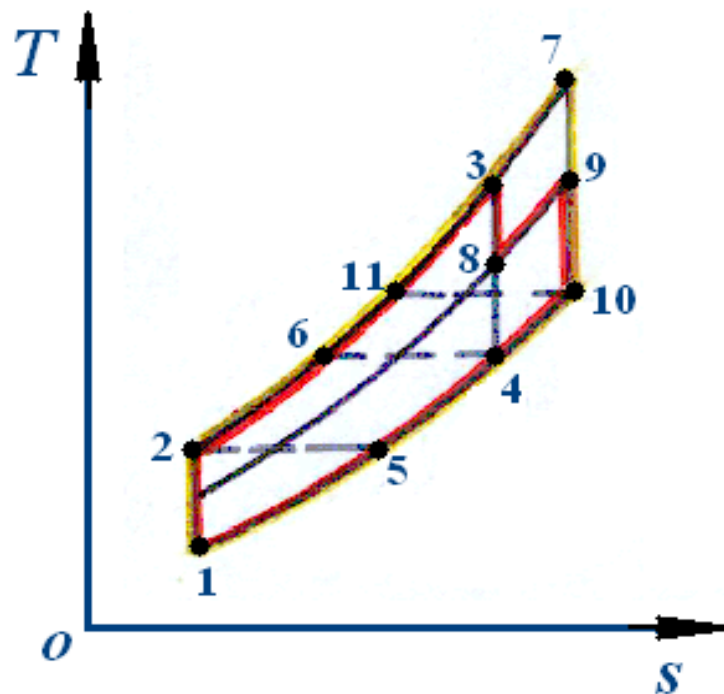
$$\eta_{t, \text{中热}} < \eta_{t, \text{简}}$$

若回热

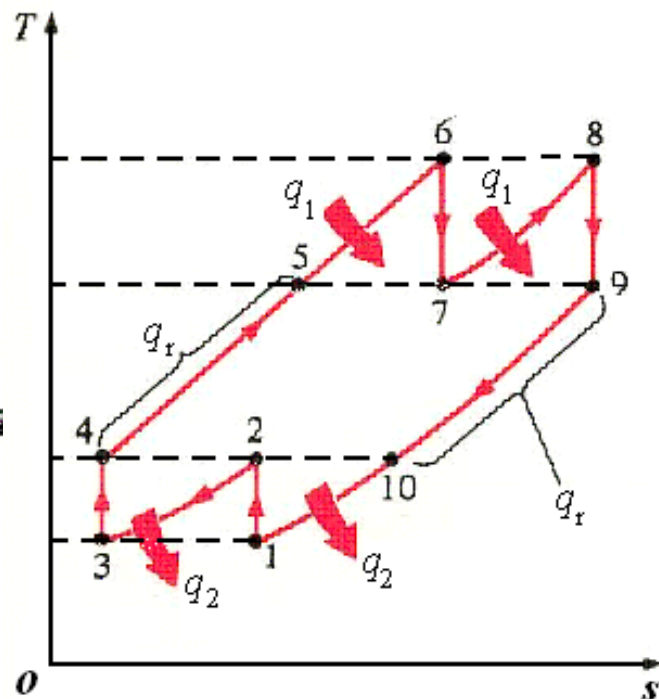
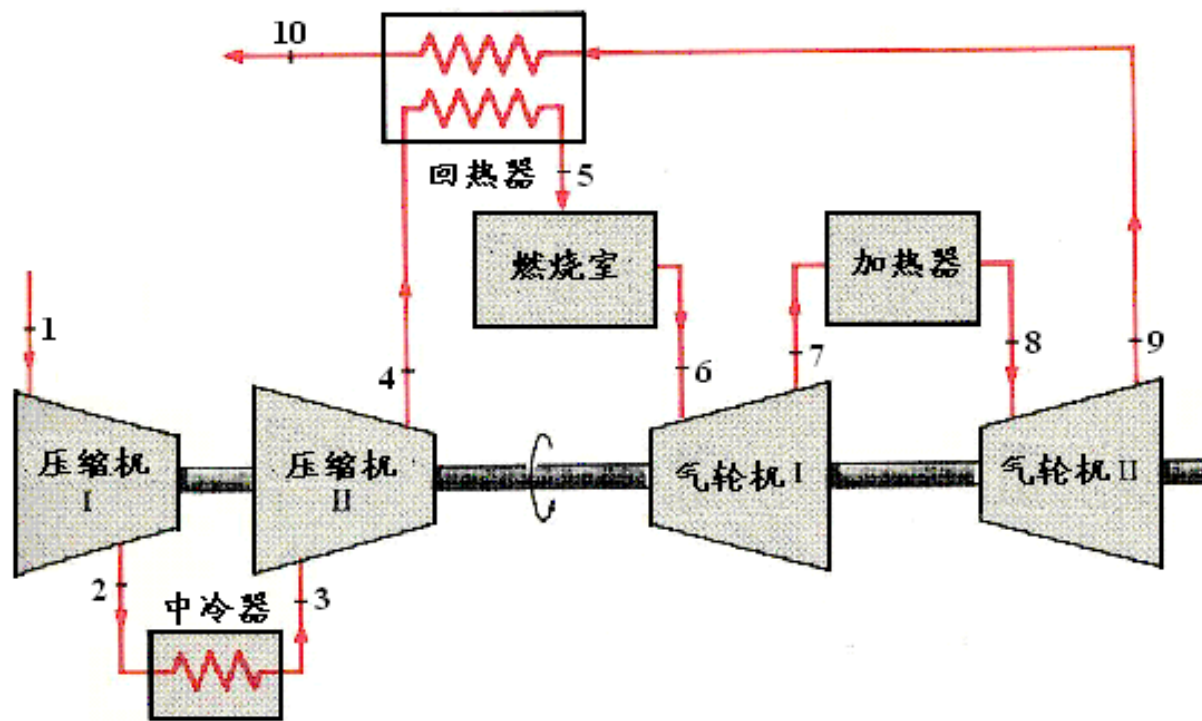
循环12389101与循环12341比较

$T_{1m}$  上升,  $T_{2m}$  不变

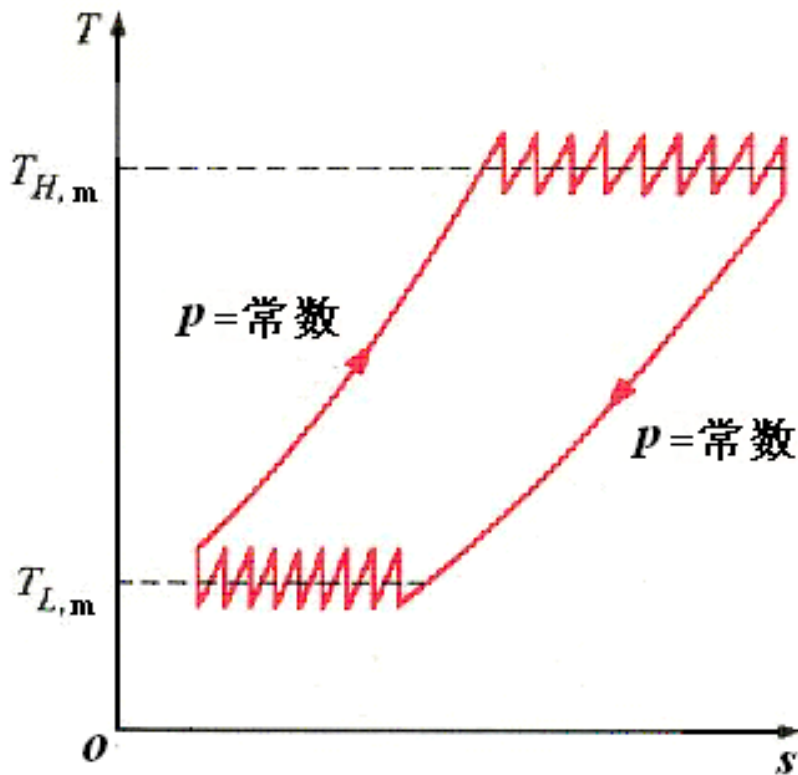
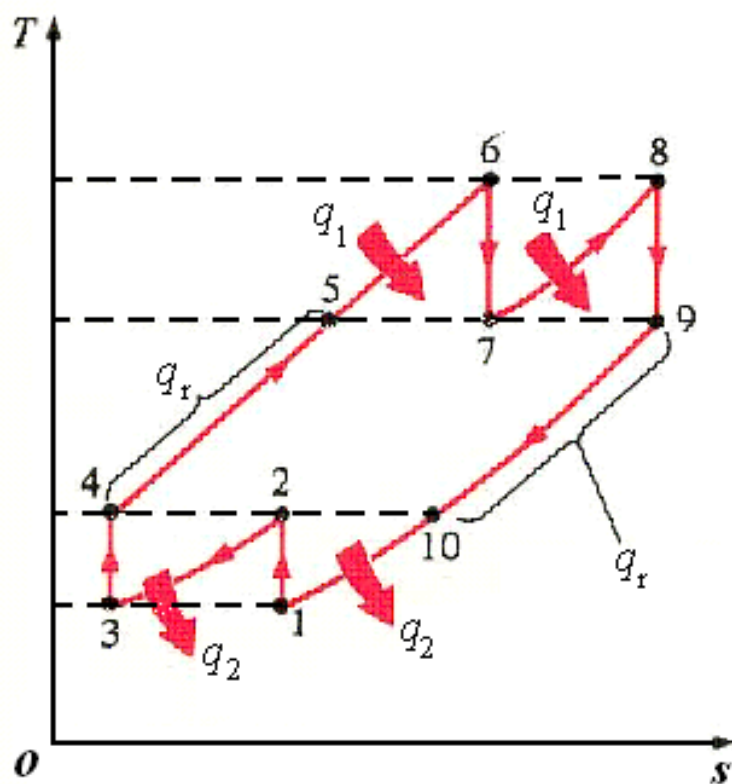
$$\eta_{t, \text{中热}} > \eta_{t, \text{简}}$$



## 四、回热基础上分级压缩，中间冷却； 分级膨胀，中间加热



当分级压缩中间冷却；分级膨胀中间再热，级数趋向无穷多时，定压加热理想循环趋于概括性卡诺循环。



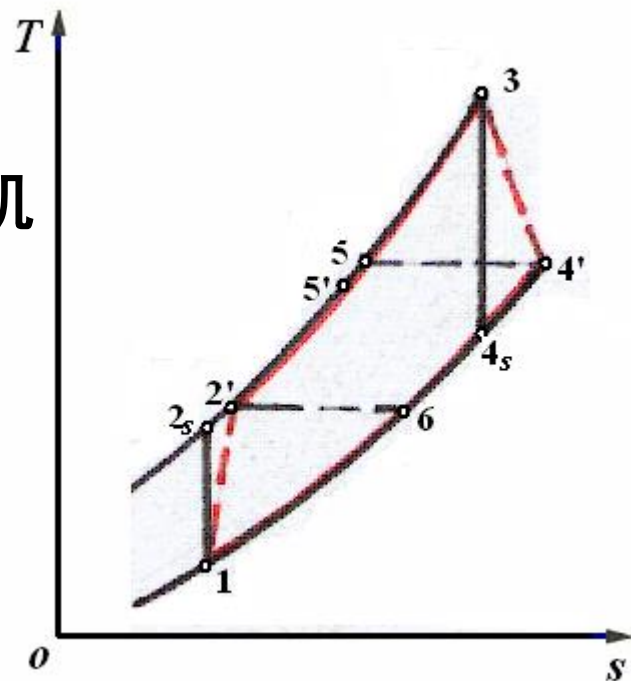
**注意：**分级压缩中间冷却，分级膨胀中间再热**只有在回热的基础上进行**，才能提高装置的热效率，如果没有回热，循环的热效率反而下降。

## 例题4



一燃气轮机装置，按等压加热循环工作。压缩机进口参数为  $t_1=27^\circ\text{C}$ ， $p_1=0.1\text{MPa}$ ，压缩机增压比  $\pi=6$ ，气轮机进口燃气温 度为  $t_3=800^\circ\text{C}$ ，压缩机绝热效  $\eta_{Cs}=0.88$ ，燃气轮机相对内效率  $\eta_T=0.85$ ，求：

- 1) 该装置的热效率；
  - 2) 试计算1kg燃气流经压气机、燃气轮机时的熵增；
  - 3) 若采用极限回热，计算其热效率；
  - 4) 指出提高装置热效率的热力学途径。
- 燃气  $R_g=0.287\text{kJ}/(\text{kg}\cdot\text{K})$ ，比热容取定值， $c_p=1.005\text{ kJ}/(\text{kg}\cdot\text{K})$



# 解：1) 求热效率



$$c_V = c_p - R_g$$

$$= 1005 \text{ J/(kg} \cdot \text{K)} - 287 \text{ J/(kg} \cdot \text{K)} = 718 \text{ J/(kg} \cdot \text{K)}$$

$$\kappa = \frac{c_p}{c_V} = 1.4$$

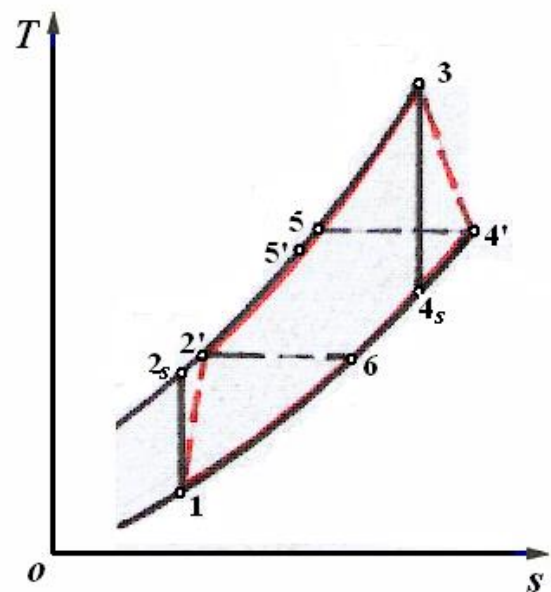
$$T_{2s} = T_1 \left( \frac{p_2}{p_1} \right)^{\frac{\kappa-1}{\kappa}} = T_1 \pi^{\frac{\kappa-1}{\kappa}}$$

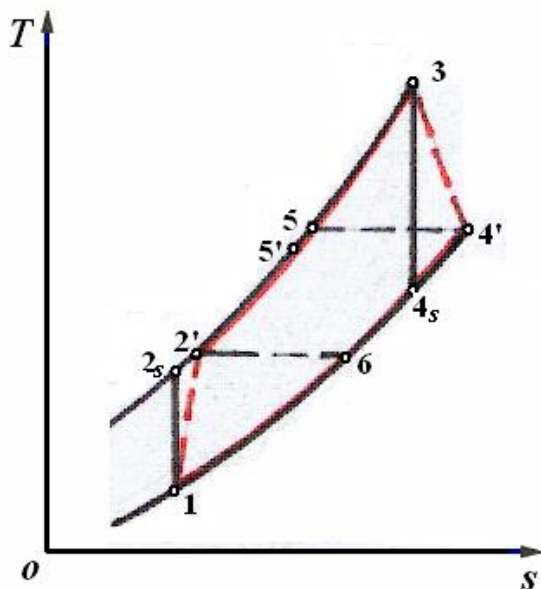
$$= (27 + 273) \text{ K} \times 6^{\frac{1.4-1}{1.4}} = 500.5 \text{ K}$$

$$T_2' = T_1 + \frac{T_{2s} - T_1}{\eta_{Cs}}$$

$$T_3 = (800 + 273) \text{ K} = 1073 \text{ K}$$
$$= 300 \text{ K} + \frac{(500.5 - 300) \text{ K}}{0.88} = 527.9 \text{ K}$$

$$T_{4s} = T_3 \left( \frac{p_{4s}}{p_3} \right)^{\frac{\kappa-1}{\kappa}} = T_3 \left( \frac{1}{\pi} \right)^{\frac{\kappa-1}{\kappa}} = 1073 \text{ K} \times \left( \frac{1}{6} \right)^{\frac{1.4-1}{1.4}} = 643.1 \text{ K}$$





$$\eta_T = \frac{h_3 - h_4'}{h_3 - h_{4s}} = \frac{T_3 - T_4'}{T_3 - T_{4s}}$$

$$T_{4'} = T_3 - \eta_T (T_3 - T_{4s})$$

$$= 1\,073\text{ K} - 0.58 \times (1\,073 - 643.1)\text{ K}$$

$$= 702.6\text{ K}$$

$$\eta_i = 1 - \frac{q_2}{q_1} = 1 - \frac{T_{4'} - T_1}{T_3 - T_{2'}} = 1 - \frac{(707.6 - 300)\text{ K}}{(1\,073 - 527.9)\text{ K}} = 0.252$$

## 2) 压气机和燃气轮机中的熵增

$$\Delta s_{12'} = \Delta s_{12s} + \Delta s_{2s2'} = \Delta s_{2s2'} = c_p \ln \frac{T_{2'}}{T_{2s}}$$

$$= 1.005\text{ kJ}/(\text{kg} \cdot \text{K}) \times \ln \frac{527.9\text{ K}}{500.5\text{ K}} = 0.053\,6\text{ kJ}/(\text{kg} \cdot \text{K})$$



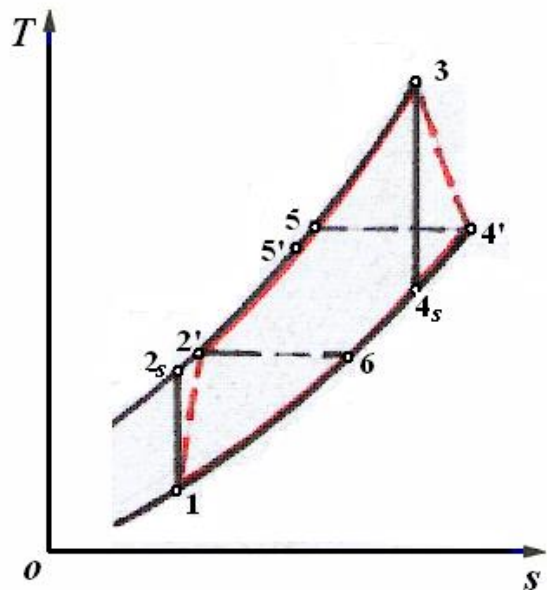
$$\Delta s_{34'} = \Delta s_{34s} + \Delta s_{4_s 4'} = \Delta s_{4_s 4'} = c_p \ln \frac{T_{4'}}{T_{4_s}}$$

$$= 1.005 \text{ kJ}/(\text{kg} \cdot \text{K}) \times \ln \frac{707.6 \text{ K}}{641.3 \text{ K}} = 0.096 \text{ kJ}/(\text{kg} \cdot \text{K})$$

### 3) 极限回热时的热效率:

$$q_1 = c_p (T_3 - T_5) \quad q_2 = c_p (T_6 - T_1)$$

$$\begin{aligned} \eta_{i, \text{回}} &= 1 - \frac{q_2}{q_1} = 1 - \frac{T_6 - T_1}{T_3 - T_5} \\ &= 1 - \frac{T_{2'} - T_1}{T_3 - T_{4'}} = 1 - \frac{(527.9 - 300) \text{ K}}{(1073 - 707.6) \text{ K}} = 0.376 \end{aligned}$$



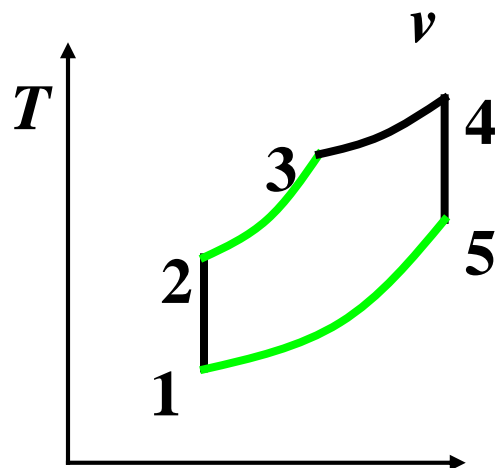
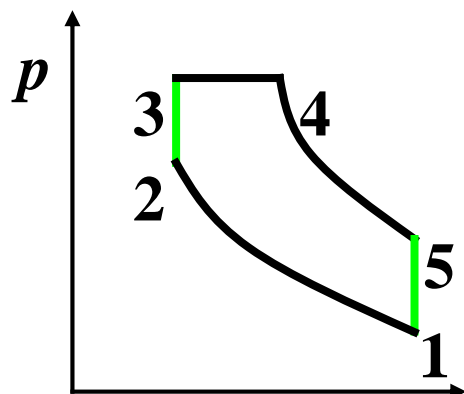
4) 提高装置热效率的热力学途径: **回热**, 在**回热基础**上分级压缩、中间冷却和在**回热基础**上分级膨胀、中间再热。



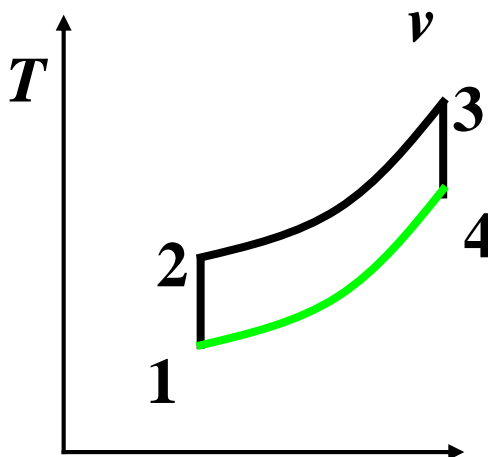
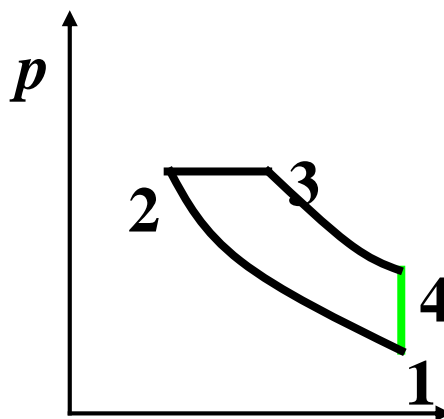


# 小结

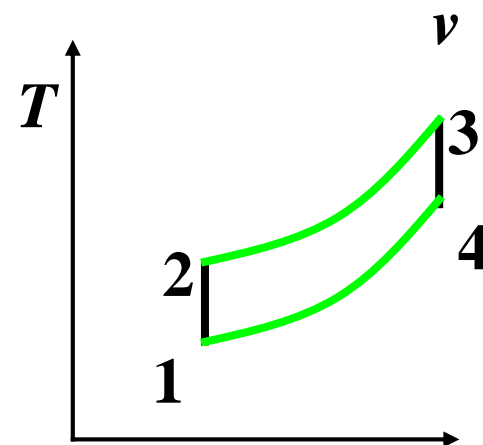
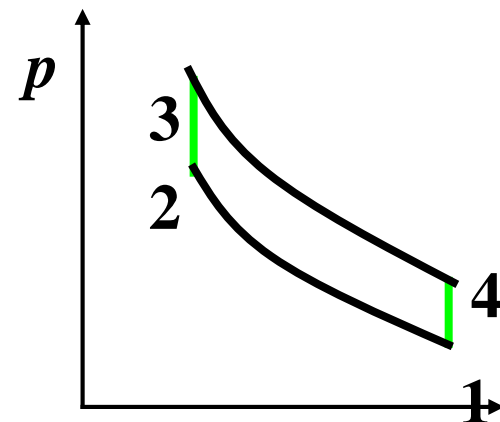
## 一、活塞式内燃机循环： 1. $p-v$ 图及 $T-s$ 图



混合加热循环  
萨巴德



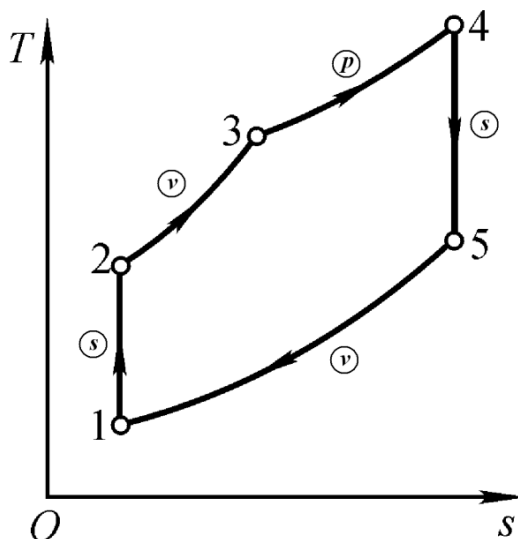
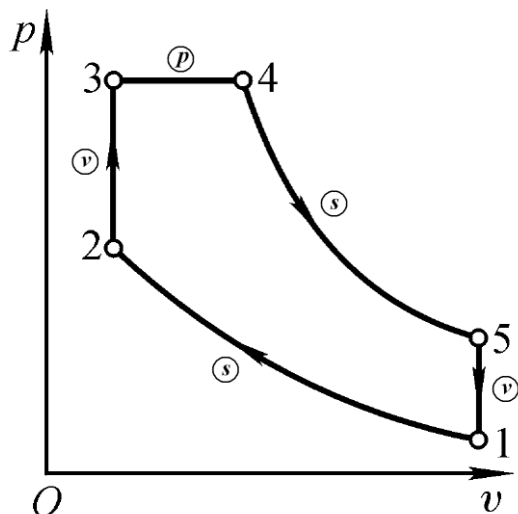
定压加热循环  
狄塞尔



定容加热循环  
奥托



## 2、循环计算



**压缩比** (compression ratio)

$$\varepsilon = \frac{v_1}{v_2}$$

**定容增压比** (pressure ratio)

$$\lambda = \frac{p_3}{p_2}$$

**定压预胀比** (cutoff ratio)

$$\rho = \frac{v_4}{v_3}$$

**吸热量**

$$q_1 = q_{2-3} + q_{3-4} = c_V(T_3 - T_2) + c_p(T_4 - T_3)$$

**放热量** (取绝对值)

$$q_2 = q_{5-1} = c_V(T_5 - T_1)$$

$$w_{\text{net}} = q_{\text{net}} = q_1 - q_2$$

$$\eta_t = \frac{w_{\text{net}}}{q_1} = 1 - \frac{q_2}{q_1}$$

### 3、循环比较



#### 1)、压缩比相同，吸热量相同时的比较

面积法（吸/放热量）  $\eta_t = 1 - \frac{q_2}{q_1}$

$$q_{2v} < q_{2m} < q_{2p}$$

$$q_{1v} = q_{1m} = q_{1p}$$

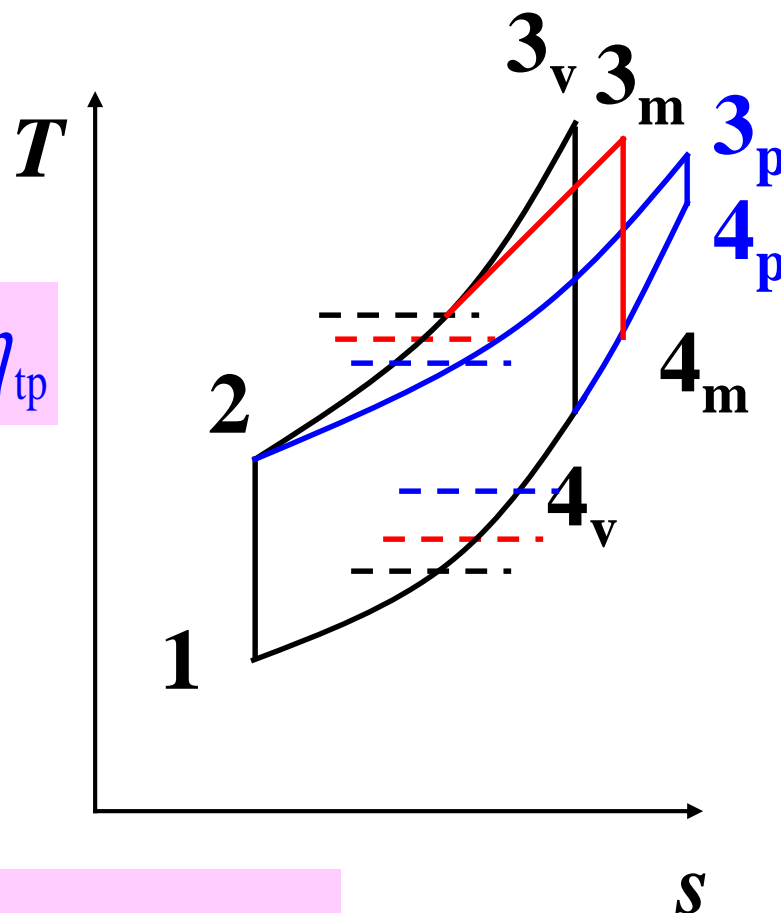
$$\eta_{tv} > \eta_{tm} > \eta_{tp}$$

平均温度法  $\eta_t = 1 - \frac{\bar{T}_2}{\bar{T}_1}$

$$\bar{T}_{2v} < \bar{T}_{2m} < \bar{T}_{2p}$$

$$\bar{T}_{1v} > \bar{T}_{1m} > \bar{T}_{1p}$$

$$\eta_{tv} > \eta_{tm} > \eta_{tp}$$



## 2)、循环 $p_{\max}$ 、 $T_{\max}$ 相同时的比较

面积法（吸/放热量）  $\eta_t = 1 - \frac{q_2}{q_1}$

Diagram illustrating the mapping from quality ( $q$ ) to efficiency ( $\eta$ ) for different scenarios:

- Scenario 1 (Top Row):  $q_{1p} > q_{1m} > q_{1v}$
- Scenario 2 (Bottom Row):  $q_{2p} = q_{2m} = q_{2v}$

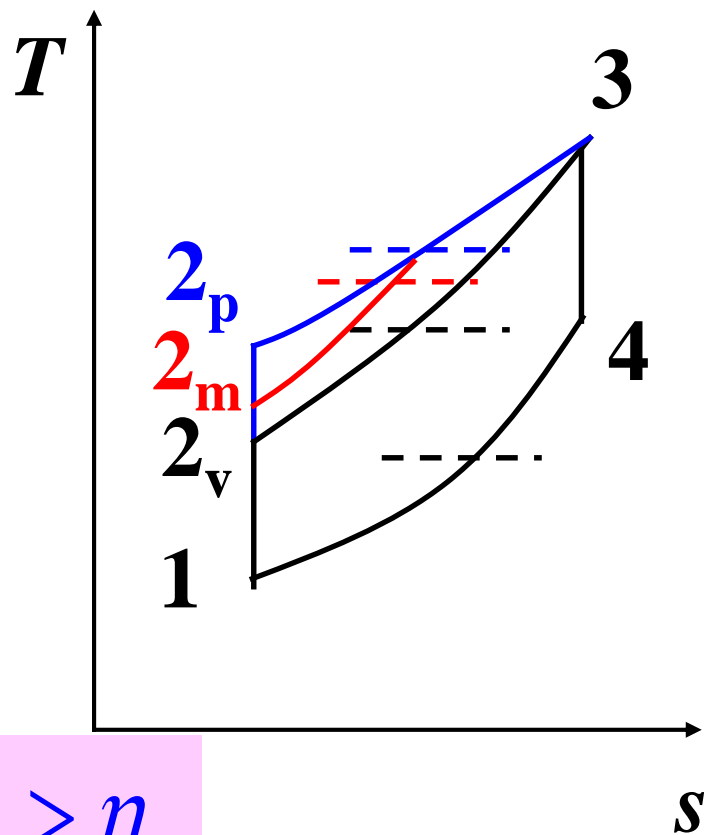
These scenarios are mapped to efficiency values ( $\eta$ ) via a transformation (indicated by the arrow):

- Scenario 1 (Top Row):  $\eta_{tp} > \eta_{tm} > \eta_{tv}$
- Scenario 2 (Bottom Row):  $\eta_{2p} = \eta_{2m} = \eta_{2v}$

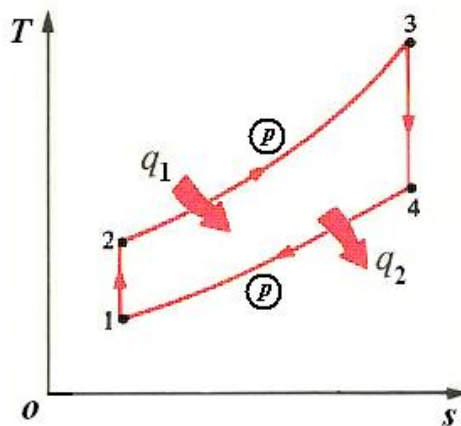
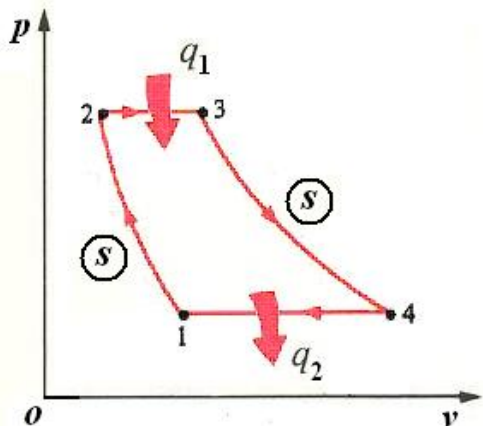
The efficiency values are labeled  $q_1$  above the top row and  $q_2$  above the bottom row.

平均温度法  $\eta_t = 1 - \frac{\overline{T_2}}{\overline{T_1}}$

$$\left. \begin{array}{l} \bar{T}_{2p} = \bar{T}_{2m} = \bar{T}_{2v} \\ \bar{T}_{1p} > \bar{T}_{1m} > \bar{T}_{1v} \end{array} \right\} \Rightarrow \eta_{tp} > \eta_{tm} > \eta_{tv}$$



## 二、燃气轮机定压加热理想循环——布雷顿循环



循环增压比

$$\pi = \frac{p_2}{p_1}$$

循环增温比

$$\tau = \frac{T_3}{T_1}$$

### 1. 热效率 $\eta_t$

$$q_1 = h_3 - h_2 = c_p (T_3 - T_2)$$

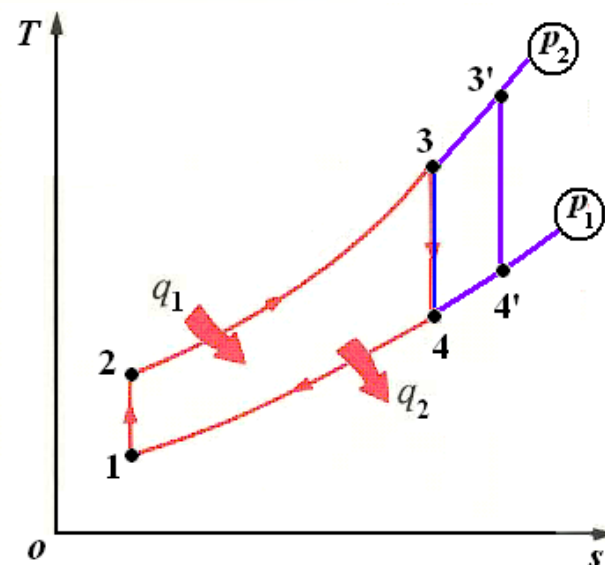
$$q_2 = h_4 - h_1 = c_p (T_4 - T_1)$$

$$\eta_t = 1 - \frac{q_2}{q_1} = 1 - \frac{T_4 - T_1}{T_3 - T_2}$$



$$\eta_t = 1 - \frac{T_1}{T_2} = 1 - \frac{1}{\pi^{\frac{\kappa-1}{\kappa}}}$$

注意：式中 $T_1$ 、 $T_2$ 并非指高温热源，低温热源。



## 2. 循环分析及优化

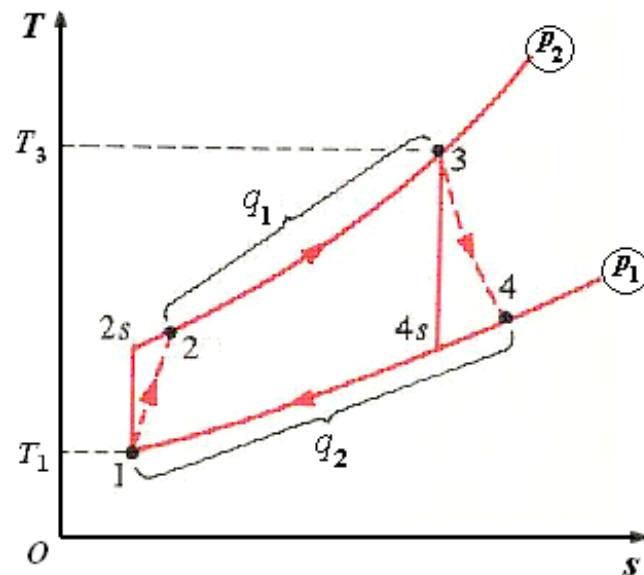
a)  $\pi \uparrow \quad \eta_t \uparrow \quad \eta_t$ 与 $T_3$ 无关

b)  $\pi$ 一定  $\tau \uparrow \quad q_1 \uparrow \quad w_{\text{net}} \uparrow \quad \eta_t$ 不变

### 三、燃气轮机定压加热的实际循环

**压气机绝热效率**  $\eta_{C,s} = \frac{w_{C,s}}{w'_C} = \frac{h_{2_s} - h_1}{h_2 - h_1}$

$$w'_C = \frac{w_{C,s}}{\eta_{C,s}} = \frac{1}{\eta_{C,s}} (h_{2_s} - h_1) \quad h_2 = h_1 + \frac{1}{\eta_{C,s}} (h_{2_s} - h_1)$$



**燃气轮机相对内效率**  $\eta_T = \frac{w'_{t,T}}{w_{t,T}} = \frac{h_3 - h_4}{h_3 - h_{4_s}}$

$$w'_{t,T} = \eta_T (h_3 - h_{4_s})$$

$$h_4 = h_3 - \eta_T (h_3 - h_{4_s})$$

**内部热效率**  $\eta_i = \frac{w'_{\text{net}}}{q'_1}$

$$w'_{\text{net}} = w'_{t,T} - w'_C = \eta_T (h_3 - h_{4_s}) - \frac{1}{\eta_{C,s}} (h_{2_s} - h_1)$$

$$q'_1 = h_3 - h_2 = h_3 - h_1 - \frac{1}{\eta_{C,s}} (h_{2_s} - h_1)$$

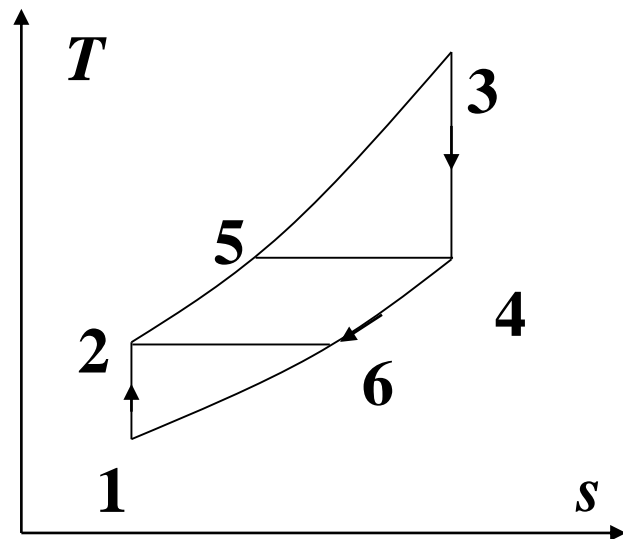
## 四、提高燃气轮机装置热效率的热力学措施



### 1、采用回热

平均吸热温度升高、平均放热温度降低

$$\Rightarrow \eta_{t, \text{回}} = 1 - \frac{\overline{T_{2\text{回}}}}{\overline{T_{1\text{回}}}} > \eta_t$$



### 2、回热基础上分级压缩、级间冷却

没有回热的分级压缩、级间冷却不能提高热效率

### 3、回热基础上多级膨胀、中间再热

没有回热的多级膨胀、中间再热不能提高热效率

# 作业



西安交通大学  
XI'AN JIAOTONG UNIVERSITY

- 9-4、
- 9-5、
- 9-15、
- 9-23

